



Вестник

Уральского
государственного
университета
путей сообщения

Научно-технический журнал

Herald
of the Ural State University
of Railway Transport

Scientific-technical journal



Научно-технический журнал
«Вестник Уральского государственного
университета путей сообщения»
№1(5), май, 2010 год

**Главный редактор,
научный редактор**
Василий Михайлович Сай

**Литературный
и выпускающий редактор**
Людмила Станиславовна Барышникова

**Техническое редактирование
и верстка**
Андрей Викторович Трубин

Дизайн обложки
Ольга Петровна Игнатьева

Учредитель и издатель:
Уральский государственный
университет путей сообщения

**Адрес редакции,
учредителя и издателя:**
620034, Екатеринбург,
ул. Колмогорова, 66, УрГУПС

Адрес для корреспонденции:
620034, Екатеринбург,
ул. Колмогорова, 66, УрГУПС,
редакция журнала
«Вестник УрГУПС.»

Телефон редакции: (342) 367-41-11.
Веб-сайт: www.vestnik.usurt.ru;
e-mail: vestnik@usurt.ru

Журнал издается по решению
ученого совета университета
© УрГУПС

Свидетельство о регистрации
средства массовой информации
Роскомнадзор ПИ № ФС77-38188
от 30 ноября 2009 г.

Отпечатано в издательстве
Уральского государственного
университета путей сообщения,
620034, Екатеринбург,
ул. Колмогорова, 66.

Подписано в печать 13.03.2010.

Тираж 300. 1-й з-д.: 1–100.
Формат 70×100/16.
Заказ № 440.

Редакционная коллегия

Бушуев Сергей Валентинович,
канд. тех. наук, доцент, УрГУПС, Екатеринбург

Вовк Алексей Александрович,
д-р эконом. наук, профессор, МГУПС, Москва

Воскресенская Тамара Петровна,
д-р техн. наук, профессор, СибГИУ, Новокузнецк

Воробьев Александр Алексеевич,
д-р техн. наук, профессор, МГУПС, Москва

Ефимов Александр Васильевич,
канд. техн. наук, профессор, УрГУПС, Екатеринбург

Ильясов Олег Рашидович,
д-р биол. наук, профессор, УрГУПС, Екатеринбург

Корнилов Сергей Николаевич,
д-р техн. наук, профессор, МГТУ, Магнитогорск

Нестеров Валерий Леонидович,
д-р техн. наук, профессор, УрГУПС, Екатеринбург

Паршина Валентина Сергеевна,
д-р эконом. наук, профессор, УрГУПС, Екатеринбург

Радченко Валерий Иванович,
д-р физ.-мат. наук, профессор, УрГУПС, Екатеринбург

Сапожников Валерий Владимирович,
д-р техн. наук, профессор, ПГУПС, С-Петербург

Цыганов Владимир Викторович,
д-р техн. наук, профессор, ИПУ РАН, Москва

Щурин Константин Владимирович,
д-р техн. наук, профессор, ОГУ, Оренбург

Содержание

3 Колонка главного редактора

ЭКОНОМИЧЕСКАЯ ТЕОРИЯ

- 4 **Т. В. Кошкарлова.** Основные вехи зарождения научно-технического прогресса как составной части исторического прогресса

ОРГАНИЗАЦИЯ И ЛОГИСТИКА

- 12 **С. В. Сизый.** Сетевая поддержка предприятий в градуированных организационных сетях
- 26 **О. Н. Ларин, А. А. Кажаяев.** Методы размещения сетевых узлов в авто-транспортных системах
- 33 **А. Л. Казаков, А. М. Маслов.** Имитационное моделирование при проектировании грузовых терминалов железнодорожного транспорта

МЕХАНИКА МАШИН И РОБОТОВ

- 40 **Р. Я. Сулейманов, Е. В. Пуговкин.** Динамика управления тяговым приводом постоянного тока с электронно-импульсным регулированием в режиме стабилизации скорости
- 49 **А. П. Буйносов.** Влияние шероховатости посадочных поверхностей на надежность соединения «бандаж–обод»

ОРГАНИЗАЦИЯ ОБРАЗОВАТЕЛЬНОГО ПРОЦЕССА

- 59 **E. Billiet, E. Smet.** E-questionnaires, a stimulus for improvement projects

ИССЛЕДОВАНИЯ МОЛОДЫХ УЧЕНЫХ

- 64 **Д. Л. Худояров.** Увеличение ресурса бандажей колесных пар с помощью наплавки
- 68 **И. Н. Крещенко, А. Н. Калабрудин, А. А. Санников.** Мобильный робот

ИНТЕЛЛЕКТУАЛЬНАЯ СОБСТВЕННОСТЬ

- 73 Способ неразрушающего контроля железобетонных опор контактной сети железнодорожного транспорта

75 В ДИССЕРТАЦИОННЫХ СОВЕТАХ

80 АННОТАЦИИ

Колонка редактора



Уважаемые авторы и читатели нашего журнала!

Приятно сообщить вам, что периодический научно-технический журнал «Вестник Уральского государственного университета путей сообщения» зарегистрирован в Федеральной службе по надзору в сфере связи, информационных технологий и массовых коммуникаций (Роскомнадзор). Свидетельство ПИ № ФС77–38188 от 30 ноября 2009 г.

Для нашего периодического издания из Международного центра в Париже получен международный стандартный серийный номер (International Standard Serial Number) – ISSN 2079–0393. Таким образом, журнал «Вестник УрГУПС» внесен в международный регистр.

ISSN является уникальным идентификатором издания, обязательным элементом выходных сведений серийных изданий. На основе цифрового ISSN для серийных изданий строится штриховой код.

ISSN позволяет издателям, книготорговцам, библиотекарям, а также научным сотрудникам, признанным во всем мире способом беспрепятственно осуществлять распространение серийных изданий в соответствии со спросом, усовершенствовать поиск и заказ изданий, а также весь цикл создания и доведения их до потребителя.

Система ISSN применяется более чем в 130 странах. Использование цифрового кода, отраженного на издании, дает возможность отказаться от локальных кодов, сократить количество сопроводительной документации, упростить взаимодействие издательств с полиграфическими предприятиями, распространителями и библиотеками, вести поиск информации об изданиях в автоматизированных системах на национальных и международных уровнях.

Фундаментальным критерием получения ISSN является периодичность, то есть составляющие части публикации издаются как открытый набор документов с одним и тем же заголовком, сроком и на время, не ограниченное заранее. ■

Главный редактор В. М. Сай

ЭКОНОМИЧЕСКАЯ ТЕОРИЯ

Т. В. Кошкарлова

Основные вехи зарождения научно-технического прогресса как составной части исторического прогресса

В экономической литературе имеется множество концепций эффективности производства. Читателю предлагается одна из них.

Задача любого государства — стимулировать рост производства, потому что в условиях научно-технической революции обеспечить соответствие спроса и предложения, производства и потребления товаров можно лишь при определенных темпах роста. Современную экономику иногда называют «велосипедной» — остановка в развитии грозит падением. Пока раскручиваем педали, набираем скорость — все хорошо: экономика держит равновесие, экономический рост набирает темпы, а развитие в экономике — это научно-технический прогресс, качественное преобразование всех сторон жизни современного общества, обновление материально-технической базы, совершенствование общественных отношений, в первую очередь, экономических. Это глубокие перемены в содержании и характере труда, матери-

альных и духовных условиях жизни людей [1]. Научно-технический прогресс обеспечивает высокие темпы роста производительности труда, интенсификацию общественного производства и повышения его эффективности.

Этого можно добиться посредством ускорения темпов обновления и замены устаревшей техники в отраслях, производящих высокопроизводительную технику, автоматические системы машин, робототехнику, гибкие производственные системы, позволяющие перейти к комплексной механизации работ и автоматизации технологических процессов.

Допустим, мы перестали «крутить педали», хотим снизить темп развития — экономика тут же потеряет равновесие.

Рассмотрим проблемы машинного производства, которое утвердилось только при капитализме. При капитализме появляется стимул технического прогресса — конкуренция. Если капиталист вводит новую технику,

он получает дополнительную прибыль. При этом техническая перестройка одного предприятия становится обязательной для других: кто отстает в техническом отношении, тот разоряется. При капитализме происходит обобществление производства, мелкие семейные хозяйственные ячейки заменяются крупными предприятиями. А крупное производство дает возможность применять машины. Капиталисту не надо заставлять работать на него. Рабочий умрет от голода, если не будет работать, он сам ищет себе работу и встает в очередь на бирже труда. Эти преимущества капиталистического способа производства не только обеспечивают ему победу, но и вызывают ускорение темпов технического и экономического прогресса.

Почему капитализм побеждает только со второй половины XVIII в.? Потому что только с этого времени начинается промышленный переворот. Но промышленный переворот — это не только переворот в технике, он сопровождается изменениями и в общественных отношениях. Растет производительность труда, то есть количество продукции труда на занятого работника, машины увеличивают величину лишь прибавочного продукта, а необходимый продукт остается прежним. При работе на машинах рабочий производит в десять раз больше продукции, чем производил прежде, но его зарплата, расходы на его содержание не увеличиваются в десять раз.

В разных странах промышленный переворот происходил в разное время, но раньше всего он произошел в Англии. Все началось с новой тогда промышленности — хлопчатобумажной. Из Индии хлопковые ткани везли в Англию, где они пользовались спросом, потому что были относительно дешевыми. Английские промышленники попытались наладить хлопчатобумажное производ-

ство в своей стране, но оказались не в состоянии конкурировать с индийскими ткачами, продукция которых была и лучше, и дешевле. Перед хозяевами английских хлопчатобумажных мануфактур встала задача: усовершенствовать производство, чтобы снизить стоимость продукции. Эта задача была выполнена в результате серии изобретений.

Как известно, текстильное производство, в том числе и хлопчатобумажное, состоит из двух операций: сначала прядильщики готовят пряжу, а потом ткачи ткут из этой пряжи ткань. В каждом из этих процессов были поочередно сделаны изобретения.

В 30-х гг. XVIII в. Кэй усовершенствовал ткацкий станок — изобрел «летучий челнок», который ударами ракеток перебрасывался с одной стороны станка на другую. Раньше это приходилось делать вручную, и ширина ткани ограничивалась размахом рук рабочего. Теперь можно было ткать более широкие ткани и делать это гораздо быстрее.

Изобретение Кэя значительно ускорило работу ткачей, но теперь им стало не хватать пряжи. Недостаток пряжи вызвал ее вздорожание. Возникла диспропорция между двумя операциями.

После этого в результате трех изобретений (Харгривса, Хайса и Кромптона) в 60–70-х гг. XVIII в. была создана прядильная машина, которая настолько повысила производительность труда прядильщиков, что вызвала обратное несоответствие — ткачи не успевали перерабатывать изготовленную пряжу.

Эта диспропорция была устранена в результате изобретения в 80-х гг. XVIII в. ткацкого станка Катрайта — производительность труда ткачей увеличилась в сорок раз.

Плоды изобретений оказывались горькими. Так, Кэю, изобретателю

«летучего челнока», промышленники отказались платить, а ткачи-ремесленники, которые из-за новшества боялись потерять работу, разгромили его дом. Харгревсу, изобретателю прялки «Дженни», также пришлось спасаться бегством — его дом тоже был разгромлен. «Мюль-машина» Кромптона вызвала у промышленников большой интерес. Они подсылали своих агентов, чтобы раскрыть секрет машины; один из них даже пробил стену, чтобы подглядывать. У Кромптона не было денег, чтобы получить патент. Он передал свое изобретение на общее пользование промышленникам, предполагая, что благодарные капиталисты его вознаградят. Те же собрали по подписке мизерную сумму. Через некоторое время Кромптон изобрел еще одну машину, но после некоторых колебаний ее уничтожил.

С изобретением прядильных и ткацких станков переворот хлопчатобумажной промышленности не закончился. Машина состоит из двух частей: рабочей машины (машины-орудия), которая непосредственно обрабатывает материал, и двигателя, который приводит в движение эту рабочую машину. Но человек — слишком несовершенный двигатель: он слаб, и требуются большие расходы на его содержание. Чтобы приводить в движение прядильные и ткацкие станки, требовалась более дешевая и мощная сила. Сначала прибегли к паллиативу, используя силу рабочего скота или падающей воды. Первые машины неслучайно назывались «мюль-машинами» (то есть приводимыми в движение мулами), «ватерными машинами» (действующими от водяного колеса). Но лошадь нуждается в отдыхе, водяное колесо может работать только часть года, причем его действие зависит от уровня воды в пруду, кроме того, для того чтобы оно работало, необходимо строить плотину на реке.

Полностью использовать преимущества машинного производства оказалось возможным только с появлением парового двигателя, и поэтому изобретение парового двигателя считается центральным событием промышленного переворота.

Первые паровые машины появились еще в XVII в., но их назначение было узким — это были, в сущности, паровые насосы для откачки воды из шахт. Универсальный паровой двигатель, который можно было применять в разных отраслях промышленности и на транспорте, сконструировал лондонский университетский механик Джеймс Уатт в 1782 г. Так как он не был членом цеховой корпорации механиков, городские власти не могли ему разрешить заниматься изобретательством. Свою работу он мог выполнить только в университетских лабораториях, потому что университеты пользовались автономией и были неподвластны городу.

История паровой машины лишний раз доказывает, что промышленный переворот не просто цепь изобретений. Русский механик Ползунов изобрел свою паровую машину раньше Уатта, но в России того времени она оказалась не нужна и о ней забыли, как забыли, очевидно, и о многих других «несвоевременных» изобретениях.

Нет необходимости проследивать промышленный переворот во всех отраслях промышленности. В металлургии, например, он отличался значительными особенностями. Некоторые процессы здесь были механизированы и до промышленного переворота (механические молоты, механическое дутье в домне), а другие и после переворота долго оставались ручными — засыпка шихты в печь, разливка чугуна или стали. Металлургия относится не к механическим, а к химическим производствам, и основные производственные

процессы здесь не зависят от скорости движений рабочего, то есть механических движений: пока плавка чугуна не закончена, он должен оставаться в печи. Поэтому механизация таких химических производств невозможна. Можно механизировать лишь вспомогательные работы, но их механизация не ускоряет производственный процесс. Промышленным переворотом в таких производствах считается изменение технологии, которая позволяет увеличить и удешевить выпуск продукции.

Для английской металлургии это означало переход от древесного угля к каменному. Ко времени промышленного переворота леса в Англии уже вырубili, угля не хватало, поэтому металлургия находилась в упадке; Англия была вынуждена ввозить металл из других стран, в основном, из России.

В 30-х гг. XVIII в. Дерби открыл способ выплавки чугуна на каменном угле, а в 80-х гг. другой английский металлург Корт — способ переплавки этого чугуна на железо также на каменном угле (пудлингование). Поскольку каменного угля в Англии было достаточно, английская металлургия быстро вышла на первое место в мире. Промышленная революция проходила как цепная реакция. Изобретения влекли за собой другие изобретения. Переворот начался с легкой промышленности, но в ходе него создавался рынок для тяжелой. Так, для изготовления массы машин для легкой промышленности требовалось много металла, а это вызвало переворот в металлургии. Спрос на машины нельзя было удовлетворить, изготавливая их в кустарных мастерских с ручным трудом, и это вызвало переворот в машиностроении — появление машиностроительных заводов. Но возросшую массу товаров уже невозможно было перевозить на лошадях и парусных судах,

поэтому произошли большие изменения на транспорте.

Первый в мире пароход был построен в Англии механиком Саймингтоном в 80-е гг. XVIII в. Однако власти запретили его использовать, заявляя, что волна от парохода разрушает берега. Вторично пароход «изобретен» Фултоном в Америке в 1807 г. И только после этого в Англии стали строить пароходы.

В 1825 г. пущена в ход первая железная дорога. Железные дороги не сразу завоевали признание. Сначала рельсы делали из чугуна, и они ломались под тяжелыми паровозами. Существовало мнение, что гладкие колеса будут скользить по гладким рельсам, и поэтому на колесах и рельсах делали зубья. Владельцы дилижансов, которые боялись конкуренции железных дорог, вели против них агитацию.

Английская промышленность развивалась быстрыми темпами. Причина этого ускорения заключалась не только в том, что машины позволяли производить больше продукции. Увеличение количества продукции без увеличения рынка сбыта привело бы только к кризису перепроизводства. Пришлось бы останавливать заводы и уничтожать лишнюю продукцию. Действительная причина ускорения роста производства заключалась в том, что благодаря машинам стоимость продукции понизилась, вследствие чего расширился рынок сбыта. Себестоимость хлопчатобумажной пряжи в ходе переворота упала в 12 раз. Хлопчатобумажные ткани стали настолько дешевыми, что даже беднейшие слои населения, наиболее многочисленные, могли их покупать. Таким образом, промышленный переворот, снизивший цены на товары широкого потребления, был выгоден трудящимся.

Но это лишь одно социальное последствие переворота. В то же время переворот в текстильной промышлен-

ности разорил ткачей-ремесленников в Англии. Это был мучительный процесс. Первое время рабочие мануфактур пытались конкурировать с техникой. Они были вынуждены соглашаться на удлинение рабочего дня и снижение зарплаты. Но со временем использование машин настолько удешевило производство, что дальнейшее сопротивление стало невозможным.

Английские фабрики обрекли на гибель также миллионы индийских ткачей, потому что английские ткани быстро завоевали и индийский рынок. Разоренный английский ткач мог стать фабричным рабочим, в Индии же англичане фабрик не строили. Но машинное производство уже не требовало мастерства от рабочего. Работа приобретала характер простейших движений. С ней могли справиться и женщины, и дети, труд которых стоил капиталисту гораздо дешевле. Поэтому теперь в промышленности стал широко применяться женский и детский труд.

Переход к машинам не привел к безработице, так как растущей промышленности требовалось все больше рабочей силы. Но конкуренция дешевого женского и детского труда и то обстоятельство, что работа на машине не требовала прежнего мастерства, вели к снижению заработной платы.

Промышленный переворот в Германии развернулся в 50–60-е гг. XIX в., ее индустриализация, то есть создание фабрично-заводской промышленности, имела свои особенности.

Первая особенность заключалась в том, что если в других странах переворот начинался с легкой промышленности, то в Германии в годы промышленного переворота развивалась, главным образом, тяжелая промышленность, а легкая отставала. С 1850-го по 1870-й г. промышленное производство Германии выросло на 49%, но добыча каменного угля —

в 5 раз, а выплавка чугуна — в 7 раз. Этот опережающий рост тяжелой промышленности объясняется тем, что главными стимулами развития промышленности в Германии были строительство железных дорог и военные потребности.

В середине XIX в. в Германии началось ускоренное строительство железных дорог, причем строило эти дороги, в основном, государство, а не частные предприниматели. Строительство железных дорог имело не только экономические, но и стратегические цели.

Германия к этому времени оказалась в стороне от мировых торговых путей. Но железные дороги изменили эту ситуацию: Германия, занимающая центральное положение в Европе, оказалась в центре европейской железнодорожной сети. Соседним государствам стало выгодно перевозить товары через ее территорию, и страна вновь оказалась в центре европейской торговли.

Строительство железных дорог к тому же сближало отдельные германские государства, способствовало развитию торговли между ними и ускоряло их объединение. Кроме того, оно создавало огромный спрос на металл, уголь, паровозы, вагоны, — стимулировало развитие главных отраслей тяжелой промышленности: металлургической, угольной, машиностроительной.

Стимулом для развития тяжелой промышленности были и военные устремления Пруссии, которая стремилась объединить Германию, присоединив остальные германские государства. Для этого нужна была передовая военная техника. Поэтому ведущее место в прусской промышленности заняли военные предприятия, прежде всего выдвинулись артиллерийские заводы Круппа. В деревне еще господствовали феодалы, в текстильной промышленности еще пре-

обладали ручные станки, а у Круппа изготовлением пушек занимались 7 тысяч рабочих. Его заводы занимали первое место среди военных заводов мира. Все страны заказывали себе пушки у Круппа.

Второй особенностью индустриализации Германии было то обстоятельство, что Германия была страной молодого капитализма. Германские заводы строились на полвека позже английских и, естественно, оборудовались новейшей по тому времени техникой, приобретенной в Англии. Техническое оснащение английских заводов к этому времени уже морально устарело. Но обновить его было сложно, так как сначала нужно было избавиться от старого оборудования. В Германии было немало и своих изобретений. Были открыты методы производства анилиновых красок, изобрели динамо-машину, а в результате этих открытий химическая и электротехническая промышленность Германии быстро вышли на первое место в мире.

Таким образом, по техническому уровню своей промышленности Германия вырвалась вперед, причем этому теперь способствовала и иностранная конкуренция. Если на начальном этапе развития капитализма иностранная конкуренция заглушала промышленность, то, когда промышленный переворот вступил в полную силу, та же иностранная конкуренция делала доброе дело. Она позволяла выживать только передовым, наиболее совершенным предприятиям. И немецкие заводы строились на базе новейшей техники: они должны были выпускать продукцию лучше и дешевле, чем в Англии.

Третья особенность индустриализации Германии определялась тем, что значительная часть необходимых для развития промышленности капиталов находилась не у буржуазии, а у помещиков. Чтобы мобилизовать

эти капиталы для развития промышленности, в Германии разворачивается усиленное акционерное предпринимательство (грюндерство). Новые промышленные фирмы и банки создавались как акционерные и, продавая акции юнкерам, получали их капиталы. Но в результате оказалось, что юнкеры заняли сильные позиции не только в сельском хозяйстве, но и в промышленности.

По объему промышленного производства Германия занимала третье место в мире. Впереди были Англия и США. С ростом промышленности изменилась и внешняя торговля. Если за первую половину XIX в. внешняя торговля выросла в два раза, то за 50–60-е гг. — в три.

В США главным занятием колонистов XVIII века было сельское хозяйство. Но довольно скоро рождается здесь и промышленность.

Сначала развивается рыболовство. Прибрежные воды Америки были еще не истощены, а Европа нуждалась в рыбе. Ловили, в основном, треску. Добыча делилась на три части: крупную и жирную рыбу, которую труднее солить и вялить, съедали сами американцы, рыбу средних размеров везли в Европу, а мелкая и испорченная рыба сбывалась на юг Америки, в пищу рабам.

Развивалось судостроение. В Англии уже не хватало леса для строительства судов, а здесь были нетронутые лесные массивы. Так как везти лес через океан на парусных судах было дорого и сложно, суда строили в Америке. К тому же, Америке не хватало денег, поэтому английские купцы привозили сюда промышленные товары, а плату за них вывозили натурой: на вырученные деньги строили суда и загружали их местными товарами для Европы. Третей судов английского флота к концу XVIII в. была построена в Америке, но для судостроения были нужны и металли-

ческие изделия: гвозди, скобы, цепи, якоря. Это послужило развитию металлургии и металлообработки. Англия запрещала в английских колониях в Америке некоторые производства — металлообработку в том числе. Шерстяные ткани запрещалось вывозить из колоний, чтобы эта продукция не конкурировала с английской. Главное: вывозить американские товары разрешалось только в Англию на английских судах и ввозить европейские товары разрешалось только из Англии и на английских судах.

Эти противоречия вызвали войну американских колоний за независимость против Англии. Война продолжалась с 1775 г. по 1783 г. и закончилась образованием независимого государства — Соединенных Штатов Америки.

Промышленный переворот в Америке начался в конце XVIII в., но происходил в особых условиях: одним из условий был приток эмигрантов из разных стран Европы. Эмигранты приносили сюда технический опыт своих стран, американцы быстро перенимали европейскую технику, но многие изобретения родились здесь (это и косилка, и жатка, и револьверный станок, и ротационная машина, и бессемеровский процесс, и трактор, и швейная машина, и пневматическая шина, и турбина, и вулканизация каучука и т. д.).

Промышленный переворот начался в США также с хлопчатобумажной промышленности. В 90-е гг. XVIII в. английский рабочий Слейтер, приехав в Америку, по памяти восстановил чертеж ватерной машины, одной из первых прядильных машин. В эти же годы американский учитель Уитни изобрел хлопкоочистительную машину — хлопчатобумажная промышленность США получила особенно дешевое сырье. Успешно в США развивалось и машиностроение. Особое место принадлежало

сельскохозяйственному машиностроению. Фермерские хозяйства представляли обширный рынок сбыта для этой отрасли. Американские жатки и молотилки в два-три раза производительнее европейских.

Особенно важным для США был переворот на транспорте. Связать отдельные части огромной территории, хозяйственно освоить земли Дальнего Запада стало возможным только с помощью железных дорог и пароходов. В 1807 г. начал ходить по реке Гудзон пароход Роберта Фултона. К середине XIX в. промышленный переворот на транспорте был завершен: все грузы водным путем перевозились пароходами, а по длине железных дорог США заняли первое место в мире.

В XX веке появляется новый фактор, который стал определяющим в развитии современного хозяйства: государство стало управлять ходом этого развития, планировать его. Капитал, овеященный в средствах производства, в машинах, перестал играть решающую роль в экономике, обеспечивая господство его владельцам. Уже не владельцы капитала, не акционеры решают судьбу хозяйства, а менеджеры, управляющие. Главную роль стали играть отнюдь не машины. Собственность на средства производства теперь у миллионов акционеров, где роль главных акционеров играют банки (а у них свои акционеры). Государственная собственность охватывает больше половины экономического потенциала развитых стран.

В 1920–1921 гг. американская экономика пережила небольшой спад, после которого начался промышленный подъем 20-х годов, получивший название эпохи «просперити» (процветания). Особенно высокими темпами в эти годы развивалась автомобильная промышленность, которая давала работу и другим отраслям, так как для автомобилей нужны металл, резина, бензин. Росли новые отрас-

ли — авиационная, радиоэлектронная промышленность, резиновая, алюминиевая. Старые отрасли — металлургическая, угольная, текстильная — испытывали застой. Однако этот подъем имел и существенные недостатки. В период подъема сохранялась недогрузка производственных мощностей и массовая безработица. Каменный уголь как вид топлива уходил в прошлое вместе с паровыми двигателями. Двигатели внутреннего сгорания требовали жидкого топлива, много черного металла требовалось для массивных паровых двигателей, для строительства железных дорог, новая техника требовала больше цветных сплавов.

В 1929 г. начался самый сильный в истории капитализма мировой экономический кризис. В это время рождаются новые экономические теории — рецепты спасения и перестройки хозяйства. Одна из них стала теория английского экономиста Д. М. Кейнса: государство начинает регулировать хозяйственное развитие, управлять им, организует программирование экономики, то есть приобретает функции, которых прежде не имело. Выход из кризиса был связан с началом второй мировой войны.

Экономика США в 1939–1945 гг. обеспечила новый скачок в экономическом развитии. В условиях научно-технической революции от абсолютных размеров прибыли зависит успех дела. Решающим фактором развития стали научные исследования, а со-

держать собственные научно-исследовательские институты за счет отчислений от прибыли может только очень крупная фирма. Американские корпорации за счет прибыли могут вести собственные исследования, европейские — редко. Около 60 % всех научных исследований в США проводится на средства государства. Характер и методы государственного регулирования со времени «нового курса» Рузвельта существенно изменились. Тогда государство сдерживало рост производства, ставило его в определенные рамки, чтобы не производить товаров больше, чем может поглотить рынок сбыта, чтобы не было кризиса.

Теперь наоборот: государство стимулирует рост производства, потому что в условиях научно-технической революции обеспечить соответствие спроса и предложения, производства и потребления товаров можно лишь при определенных темпах роста. Благодаря научно-технической революции, которая родилась в Англии, все страны включились в некое соревнование в развитии научно-технического прогресса и экономического роста.

Необходимость постоянного развития, научно-технического прогресса, все увеличивающиеся инвестиции в науку, модернизация производства, инновационная экономика, экономический рост как цель, как панацея, остановка в развитии смерти подобна. ■

Продолжение следует

Источники

1. Бор М. З. История мировой экономики. — М. : Изд-во «Дело и сервис», 1998.
2. История мировой экономики/Под ред. акад. Г. Б. Поляка, проф. А. Н. Макаровой. — М. : ЮНИТИ, 1999.
3. Кошкарлова Т. В. Инновационная политика в транспортных отраслях: прогноз, развитие // Транспорт Урала, № 1, 2009. ISSN 1845–9400.
4. Самуйлов В. М. Социально-экономические проблемы развития автоматической системы машин в условиях ускорения научно-технического прогресса. — Свердловск : Изд-во УрГУ, 1987.

Статья сдана в редакцию 5. 02. 2010 г.

ОРГАНИЗАЦИЯ И ЛОГИСТИКА

С.В. Сизый

Сетевая поддержка предприятий в градуированных организационных сетях

Устойчивость и стабильность предприятий — важнейшие факторы, определяющие силы экономического притяжения (и/или отталкивания). Эти силы служат условием объединения предприятий в организационные сети и определяют дальнейшие траектории развития этих организационных сетей [1].

Введем важное понятие: «коэффициент сетевой поддержки предприятия»; этот коэффициент определяет повышение стабильности и устойчивости предприятия при включении его в структуру организационной сети. Он покажет, насколько предприятию выгодно находиться в рассматриваемой организационной сети в смысле повышения своей стабильности и устойчивости. С его помощью будут сформулированы условия, отвечающие на вопросы: какие предприятия необходимо в первую очередь выделять из сетевой структуры при реорганизации и реструктуризации сети? какие предприятия больше всего нуждаются в данной сетевой структуре, а какие меньше всего заинтересованы в ее функционировании с точки зрения своей стабильности и устойчивости?

В работах [2, 3] введено понятие «градуированная организационная сеть». Градуированная организационная сеть G — это сеть, имеющая гомоморфизм $\varphi: G \rightarrow \{1, 2, \dots, N\}$ на естественным образом упорядоченный начальный отрезок натурального ряда $\{1, 2, \dots, N\}$. Содержательно отображение φ присваивает элементам (предприятиям) сети G некоторое натуральное число — приоритет, или ранг, означающий важность и значимость предприятия в сети с точки зрения его производственных функций. Чем важнее предприятие P_j сети G с точки зрения стоящих перед сетью производственных задач, тем больше его ранг (приоритет) $\varphi(P_j)$.

Примерами градуированных (ранжированных) сетей могут служить сети территориальных подразделений железной дороги (станции, депо, дистанции, крупные узловые станции, отделения и т. д.), финансовые структуры (сетевые объединения нескольких банков и их территориальных подразделений, страховых компаний, инвестиционных фондов), Интернет.

В градуированных сетях соответствии с рангом предприятий происходит перераспределение ресурсов.

Сведения об авторе: **Сергей Викторович Сизый** — канд. физ.-мат. наук, доцент Уральского государственного университета. E-mail: sergey.siziy@r66.ru.

При повышении потребности узла в некотором виде ресурсов (например, в случае форс-мажорной ситуации), кроме оговоренного в контрактах с поставщиками увеличения поставок ресурсов, в сети происходит передача ресурсов от узлов с меньшим приоритетом в сторону узлов большего ранга (узлы сети меньшего ранга становятся поставщиками узлов большего ранга). Возможность перераспределения ресурсов составляет суть сетевой поддержки предприятий в градуированных организационных сетях и во многих случаях является причиной вступления узла в сетевую структуру.

В работах [4, 5] рассматривались понятия «производственная ситуация» и «внешняя устойчивость элемента, функционирующего в сети». Под «устойчивостью предприятия» в [4] понимается вероятность отсутствия нештатных ситуаций на предприятии, требующих для своего устранения оперативного управленческого воздействия, то есть математическое ожидание вероятности возникновения критической ситуации на предприятии.

Для нужд настоящей работы несколько изменим столь широкое и многофакторное понятие устойчивости и ограничимся пониманием устойчивости как стабильности предприятия в обеспеченности некоторым фиксированным видом ресурсов (материальных, информационных, финансовых и т. п.). Таким образом, стабильность предприятия — это частный случай внешней устойчивости, означающий вероятность (относительную частоту) полной обеспеченности предприятия данным видом ресурсов при всевозможных производственных ситуациях.

Для определения основного понятия — «коэффициент сетевой поддержки предприятия» — рассмотрим две характеристики: коэффициент

обособленной устойчивости и коэффициент сетевой устойчивости. Они представляют и самостоятельный интерес, так как характеризуют стабильность предприятия в обеспеченности некоторым типом ресурсов в различных ситуациях.

Определим сначала коэффициент обособленной устойчивости предприятия. Выделим рассматриваемый узел P_0 из структуры градуированной сети G и рассмотрим его только в совокупности с его поставщиками (рис. 1).

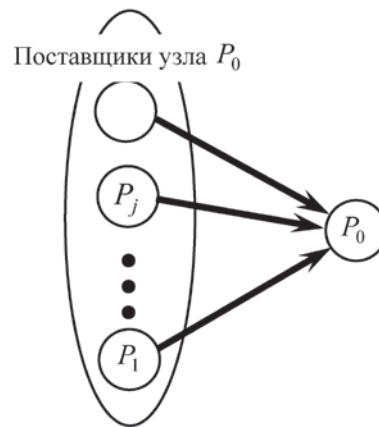


Рис. 1. Узел P_0 в совокупности с поставщиками, выделенный из структуры градуированной сети

Устойчивость (стабильность) предприятия P_0 в обеспеченности ресурсами типа A будем определять аналогично тому, как это сделано в [5, 6], однако для наших целей придется модернизировать и обобщить рассматривавшиеся понятия производственной ситуации и критического события.

Рассмотрим фрагмент сети:

$$\underbrace{(P_1, P_2, \dots, P_j, \dots; P_0)}_{\text{Поставщики}} \text{ (рис. 1).}$$

Запланированные по контрактам объемы поставок продукции типа A в узел P_0 со стороны поставщиков $P_1, P_2, \dots, P_j, \dots$ для удобства, договоримся обозначать теми же буквами:

$P_1, P_2, \dots, P_j, \dots$, а оговоренные в контрактах возможные объемы увеличения поставок (на случай возможного увеличения потребности узла P_0) — символами $\Delta P_1, \Delta P_2, \dots, \Delta P_j, \dots$ соответственно.

Для описания и формализации производственных ситуаций на выделенном фрагменте сети введем в рассмотрение скалярные случайные величины: $0 \leq \xi_j \leq 1$ и $1 \leq \eta_j < +\infty$.

Случайная величина $0 \leq \xi_j \leq 1$ будет интерпретироваться в дальнейшем как коэффициент выполнения договорных обязательств со стороны поставщика P_j продукции типа A в сторону узла P_0 . Это означает, что в рассматриваемом состоянии сети на данный момент времени в силу каких-то причин производственного или иного характера поставщик P_j исполнил свои договорные обязательства на величину ξ_j , то есть поставил в сторону узла P_0 продукции типа A в лишь объеме $\xi_j P_j$ вместо оговоренного по контракту объема P_j , и уж точно (из-за произошедшего сбоя в работе) не в состоянии увеличить объем своих поставок на оговоренную в контракте дополнительную величину ΔP_j .

Практика ведения взаимодействия между предприятиями показывает, что случайная величина $0 \leq \xi_j \leq 1$ —

коэффициент выполнения контракта — является скалярной случайной величиной смешанного типа с функцией плотности распределения, вид которой показан на рис. 2, а.

Рис. 2, а: коэффициент ξ_j выполнения контракта со стороны поставщика P_j принимает значение $\xi_j = 1$ (то есть контракт выполнен полностью) с вероятностью v_j . На практике, за величину v_j разумно принимать относительную частоту полного и своевременного исполнения контрактов предприятием P_j за достаточно долгий период статистических наблюдений. Оставшаяся доля вероятности $1 - v_j$ (то есть частота сбоев на предприятии P_j) непрерывно распределена на значения случайной величины $0 \leq \xi_j \leq 1$ строго меньшие единицы, то есть значение коэффициента ξ_j выполнения контракта попадает в интервал $[a, b] \subseteq [0, 1]$ с вероятностью

$$P\{\xi_j \in [a, b]\} = \int_a^b p(\xi_j) dx.$$

Случайная величина $1 \leq \eta_j < +\infty$ будет интерпретироваться в дальнейшем как коэффициент возрастания потребности некоторого j -го узла сети в продукции типа A в силу сложившихся на нем производственных или форс-мажорных обстоятельств.

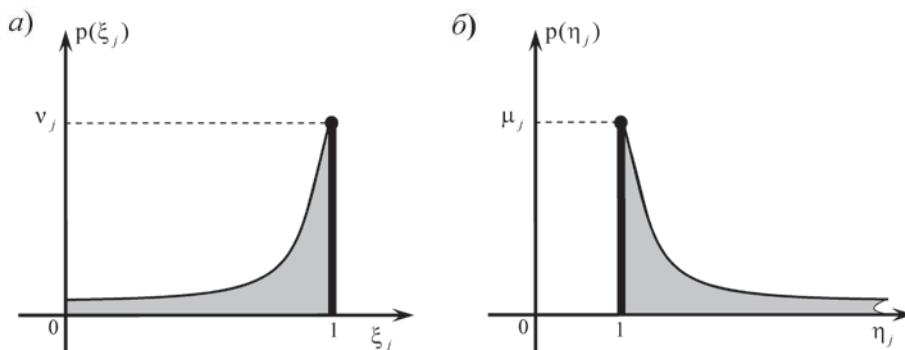


Рис. 2. Функции распределения случайных величин

а — коэффициент выполнения контракта ξ_j ;

б — коэффициент возрастания потребности η_j

Случайная величина $1 \leq \eta_j < +\infty$ — коэффициент возрастания потребности — является скалярной случайной величиной смешанного типа с функцией плотности распределения (рис. 2, б).

Рис. 2, б: коэффициент η_j возрастания потребности j -го узла принимает значение $\eta_j = 1$ (то есть на j -м узле наблюдается стабильная производственная ситуация с плановым потреблением продукции типа A , без форс-мажорных обстоятельств и без возрастания потребности в ресурсах) с вероятностью μ_j . На практике, за величину μ_j разумно принимать относительную частоту стабильных производственных циклов на j -м предприятии за достаточно долгий период статистических наблюдений. Оставшаяся доля вероятности $1 - \mu_j$ (то есть частота возникновения неплановых производственных ситуаций или форс-мажорных обстоятельств, приводящих к возрастанию потребности j -го узла в продукции типа A) непрерывно распределена на значения случайной величины $1 \leq \eta_j < +\infty$ строго большие единицы, то есть значение коэффициента η_j возрастания потребности в продукции типа A попадает в интервал $(a, b) \subseteq (1, +\infty)$ с вероятностью

$$P\{\eta_j \in (a, b)\} = \int_a^b p(\eta_j) dx.$$

Используя введенные случайные величины, можем представить любую производственную ситуацию на предприятиях рассматриваемого фрагмента сети как последовательность значений соответствующих случайных величин. Пусть на выделенном фрагменте сети произошла производственная ситуация:

$$(\underbrace{\xi_1, \xi_2, \dots, \xi_j, \dots;}_{\text{Поставщики}} \eta_0), \quad (1)$$

то есть задана последовательность значений случайных величин, характеризующих возникшее состояние каждого предприятия. Эта последовательность означает, что в рассматриваемый момент времени поставщик P_j исполнил договорные обязательства на величину ξ_j , то есть P_j поставил в сторону узла P_0 продукции типа A в объеме $\xi_j P_j$ (и при $0 \leq \xi_j < 1$ не может увеличить свои поставки). Потребность узла P_0 в продукции типа A в данной производственной ситуации возросла в η_0 раз и составила объем $\eta_0 P_0$ вместо запланированной величины P_0 .

В ситуации (1) поставщики $P_1, P_2, \dots, P_j, \dots$ смогут поставить в сторону узла P_0 следующий объем Q продукции типа A :

$$Q = \sum_{\substack{\text{По всем узлам } P_j, \\ \text{для которых } \xi_j = 1}} (P_j + \Delta P_j) + \sum_{\substack{\text{По всем узлам } P_j, \\ \text{для которых } \xi_j < 1}} (\xi_j P_j),$$

где ΔP_j — предусмотренное контрактом возможное увеличение объемов поставок продукции типа A в сторону узла P_0 со стороны поставщика P_j на случай возникновения в узле P_0 внепланового увеличения потребности или форс-мажорной ситуации.

Производственную ситуацию (1) назовем стабильной для предприятия P_0 , если выполняется неравенство

$$Q \geq \eta_0 P_0,$$

то есть поставщики $P_1, P_2, \dots, P_j, \dots$ в данной ситуации обеспечили предприятие P_0 необходимым объемом продукции типа A . В противном случае, когда объемы поставок продукции типа A оказались меньше сложившейся потребности узла P_0 , будем, как и в [5], называть производственную ситуацию (1) критической.

Очевидно, что некоторые производственные ситуации вида (1) на предприятии P_0 могут оказаться стабильными (например, если все

поставщики выполнили свои контрактные обязательства, а потребность предприятия P_0 в данной ситуации не увеличилась или увеличилась незначительно), а некоторые производственные ситуации могут оказаться критическими (например, в случае резкого увеличения потребности предприятия P_0 в поставках продукции типа A и большом числе сбоев в поставках со стороны поставщиков).

Коэффициентом обособленной устойчивости предприятия P_0 в обеспеченности ресурсами типа A назовем вероятность p_0 возникновения стабильной производственной ситуации вида (1).

Очевидно, что коэффициент обособленной устойчивости предприятия P_0 в обеспеченности ресурсами типа A зависит от многих факторов: от количества поставщиков $P_1, P_2, \dots, P_j, \dots$, их надежности (то есть от вида функций распределения случайных величин $0 \leq \xi_j \leq 1$), контрактной политики самого предприятия P_0 (то есть от оговоренных в контрактах объемах возможных дополнительных поставок ΔP_j), внутренней устойчивости самого предприятия P_0 (то есть от вида функции распределения случайной величины $1 \leq \eta_0 < +\infty$) и т. д. Изучение и анализ факторов, влияющих на величину обособленной устойчивости предприятия, представляется актуальной исследовательской задачей.

Поскольку коэффициент обособленной устойчивости предприятия P_0 является вероятностной характеристикой, то для его практического вычисления необходимо многократно (например, на компьютере) генерировать производственные ситуации вида (1) случайным образом, то есть генерировать (с помощью датчика случайных чисел) последовательность значений случайных величин $\xi_1, \xi_2, \dots, \xi_j, \dots; \eta_0$. Каждый раз после генерации случайной производствен-

ной ситуации $(\xi_1, \xi_2, \dots, \xi_j, \dots; \eta_0)$ необходимо проверять полученную ситуацию на стабильность, то есть проверять выполнение для данной ситуации неравенства $Q \geq \eta_0 P_0$.

Если в серии из N компьютерных экспериментов появилось $N_0 \leq N$ стабильных производственных ситуаций, то за коэффициент обособленной устойчивости предприятия P_0 можно принять относительную частоту

$$p_0 \approx \frac{N_0}{N}$$

возникновения стабильной производственной ситуации. При этом, согласно закону больших чисел,

$$p_0 \approx \frac{N_0}{N}$$

будет тем точнее, чем больше число проведенных экспериментов N .

Серии компьютерных экспериментов для определения коэффициента обособленной устойчивости предприятий проводятся с помощью компьютерной системы [6].

Определим теперь понятие сетевой устойчивости предприятия, находящегося в структуре градуированной организационной сети. Для этого рассмотрим тот же самый узел P_0 , не выделяя его из структуры всей градуированной организационной сети G .

Учет принудительного перераспределения ресурсов внутри сети в случае возникновения экстренной или форс-мажорной ситуации на одном или нескольких предприятиях сети существенно усложняет анализ обеспеченности ресурсами (по сравнению с описанной выше методикой определения обособленной устойчивости узла). Кроме того, ресурсы в сети могут быть перераспределены по каким-либо иным причинам (экономическим или политическим). Тем не менее предполагается, что в реальной ситуации принудительное перераспределение происходит не произвольно, а с учетом ранга конкретного узла, то есть отбор ресурсов и их перенаправление в сторону

данного узла может производиться только у предприятий сети равного или меньшего ранга.

Будем считать, что к настоящему моменту вычислены коэффициенты $0 < p_j \leq 1$ обособленной устойчивости каждого узла h_j сети **G**. Эти коэффициенты, фактически, отражают устойчивость и надежность совокупности поставщиков каждого узла сети. То есть можно упростить вид сети **G**, абстрагироваться от рассмотрения структуры поставщиков каждого узла h_j в сети **G** и не рассматривать детально механизм их влияния на потребителя, ограничившись лишь рассмотрением самих узлов h_j . Другими словами, условимся, что в рассматриваемой производственной ситуации каждый узел h_j сети **G** получил требуемый ему объем H_j продукции типа *A* не полностью, а лишь в объеме $p_j H_j$, то есть соответственно значению его обособленной устойчивости (то есть надежности его поставщиков).

Решение о перераспределении ресурсов в сети **G** — объявление ситуации на некотором предприятии h_j чрезвычайной и критической и оказание ему помощи ресурсами типа *A* со стороны других предприятий принимается вышестоящими управленческими структурами при возникновении на этом предприятии экстренной производственной ситуации или форс-мажорных обстоятельств.

Математически наступление критической ситуации для каждого предприятия h_j сети **G** можно формализовать, например, как соглашение о фиксации некоторого критического значения $\eta_j^{\text{кр.}}$ ($1 < \eta_j^{\text{кр.}} < \infty$) случайной величины η_j — коэффициента возрастания потребности предприятия h_j . Условимся, что на предприятии h_j ситуация объявляется критической и требующей перераспределения ресурсов в сторону узла h_j всякий раз, как только коэффициент возраста-

ния потребности предприятия h_j превысил установлено критическое значение $\eta_j^{\text{кр.}}$. Если $\eta_j \leq \eta_j^{\text{кр.}}$, то перераспределения ресурсов в сторону предприятия h_j не происходит, и узел h_j продолжает функционировать в сети на общих основаниях, справляясь (в случае $1 < \eta_j \leq \eta_j^{\text{кр.}}$) со своими производственными осложнениями самостоятельно и продолжая выполнять все свои сетевые обязательства перед другими узлами.

В наших рассуждениях мы не накладываем никаких ограничений на количество узлов сети **G**, объявленных критическими. Количество возникших критических узлов и их расположение в сети **G** (то есть их ранги) считаем случайными величинами.

При реализации вычислений будем учитывать, что при возникновении критической ситуации на конкретном узле $h_i \in H$ отбор ресурсов в его пользу может осуществляться только от узлов ранга меньшего или равного рангу h_i (то есть у менее важных или равнозначных узлов), и не допускается изъятие ресурсов в пользу узла h_i от узлов, имеющих более высокий ранг. С формальной точки зрения, это означает, что в случае возникновения критической ситуации на узле h_i все узлы меньшего или равного приоритета в сети **H** вследствие директивно-распорядительного воздействия становятся «поставщиками» пострадавшего узла h_i .

Будем считать, что отбор ресурсов от некоторого не критического узла сети h_k в пользу пострадавшего узла h_i осуществляется в объеме, пропорциональном объему ресурсов $p_k H_k$, поступивших на «обитаемый» узел h_k . Таким образом, если потребность критического узла h_i возросла на величину $\Delta H_i = \eta_i H_i - p_i H_i$ (здесь H_i — плановая потребность узла h_i), то покрытие этой дополнительной потребности возьмет на себя совокупность узлов $\{h_j\}$ с меньшим или равным

приоритетом и распределится между ними пропорционально объемам реально поступивших им ресурсов $p_j H_j$ (то есть, фактически, пропорционально их возможностям отдать эти ресурсы):

$$-\Delta H_k = \frac{\Delta H_i}{V_{\text{общ}}} (p_k H_k),$$

где $V_{\text{общ}} = \sum p_j H_j$ — суммарный фактически полученный объем ресурсов всех узлов h_j с приоритетом, меньшим или равным приоритету пострадавшего узла h_i ; знак «-» (минус) в левой части формулы означает, что у конкретного узла h_k объем ресурсов ΔH_k отнимается, причем у него отнимается соответствующая (обусловленная «объемом разрушений» ΔH_i) доля $\frac{\Delta H_i}{V_{\text{общ}}}$ от фактически полученного им объема $p_k H_k$.

В случае возникновения экстренной или форс-мажорной ситуации, например, на железной дороге, с ближайших участков дороги «забирается все» и направляется на восстановление поврежденного узла.

Факторы инертности системы, временной протяженности исследуемых процессов и равномерности (в среднем) распределения поставок ресурсов во времени со стороны предприятий поставщиков позволяют считать нашу точку зрения правильной.

Пусть в случае, скажем, размытия железнодорожного пути от наводнения, в течение недели все ресурсы, находящиеся на железной дороге, направляются на восстановление разрушенного участка. Отчетный же период, принятый для определения коэффициентов устойчивости, составляет месяц, что как раз и означает, что четверть объема поставок ресурсов каждого «обираемого» узла будет направлена на ликвидацию аварии (неделя — четверть месяца, а на предприятие со стороны поставщи-

ков ресурсы в течение месяца поступают равномерно).

Для анализа производственных ситуаций, возникающих в градуированной организационной сети **G**, и определения объемов перераспределенных ресурсов между предприятиями сети разобьем узлы сети **G** на группы узлов с одинаковым рангом (приоритетом) и представим группы узлов, имеющих одинаковый ранг, лежащими в соответствующих обособленных плоскостях (рис. 3).

Перейдем к описанию методики определения коэффициента сетевой устойчивости узла градуированной организационной сети.

Зафиксируем интересующий нас узел P_0 , функционирующий в сети **G** (см. рис. 3). Упорядочим элементы сети **G** следующим образом:

$$\{P_1, P_2, \dots, P_j, \dots; P_0; b_1, b_2, \dots; r_1, r_2, \dots; m_1, m_2, \dots\}.$$

В этом упорядоченном списке сначала сгруппированы все поставщики узла P_0 , затем расположен сам узел P_0 , после этого идут группы узлов большего b_1, b_2, \dots , равного r_1, r_2, \dots и меньшего m_1, m_2, \dots приоритетов.

Условимся обозначать объемы собственных плановых потребностей узлов сети **G** в продукции типа *A* заглавными буквами латинского алфавита, соответствующими наименованию узлов: B_j — потребность узла b_j , R_j — потребность узла r_j , M_j — потребность узла m_j .

Пусть в сети **G** на данный момент сложилась некоторая производственная ситуация. С математической точки зрения, это означает, что мы имеем упорядоченную последовательность значений соответствующих случайных величин — коэффициентов выполнения контрактов со стороны прямых поставщиков предприятия P_0 и коэффициентов возрастания потребностей у всех предприятий сети **G**:

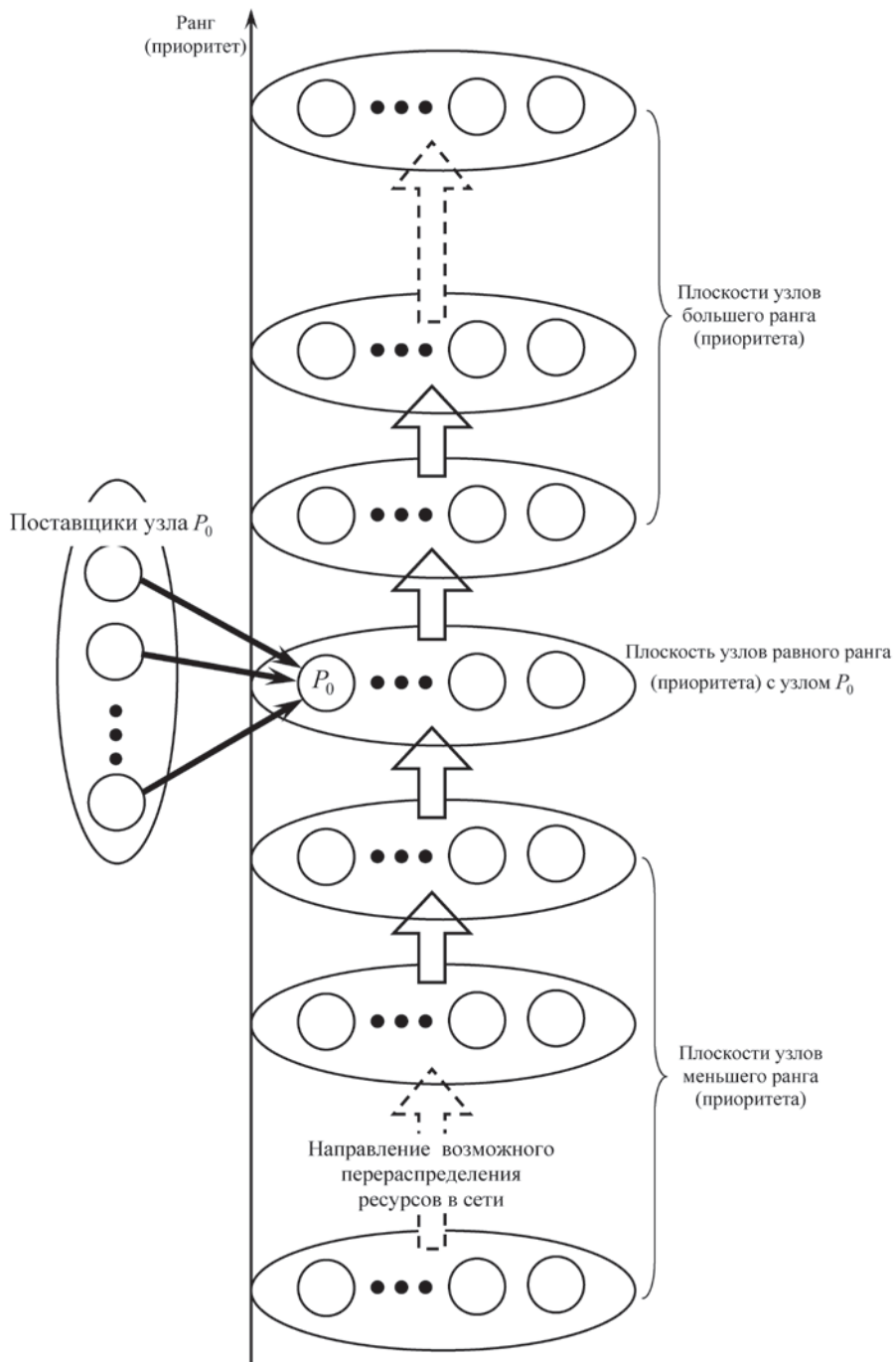


Рис. 3. Разбиение множества узлов градуированной сети на плоскости узлов с одинаковым рангом

$$(\xi_1, \xi_2, \dots, \xi_j, \dots; \eta_0; \eta_1^b, \eta_2^b, \dots; \eta_1^r, \eta_2^r, \dots; \eta_1^m, \eta_2^m, \dots). \quad (2)$$

При этом какие-то $k \geq 0$ единиц узлов в сети **G** объявлены критическими и в их сторону перераспределяются ресурсы типа *A*.

В сложившейся производственной ситуации (2) априори возможны два взаимоисключающих случая.

Случай 1. Узел P_0 не объявлен критическим (то есть $\eta_0 \leq \eta_0^{\text{кр}}$, на P_0 нет форс-мажорной ситуации). Помощь ресурсами типа *A* со стороны сети узлу P_0 не оказывается и узел P_0 функционирует в сети на общих основаниях — от узла P_0 возможен отбор ресурсов в сторону критических узлов (если таковые имеются).

Рассмотрим, что произойдет в этой ситуации. Вычислим объемы поступающих и забираемых у узла P_0 ресурсов типа *A*.

Непосредственные поставщики узла P_0 поставят ему следующий объем Q продукции типа *A*:

$$Q = \sum_{\substack{\text{По всем целым} \\ \text{поставщикам} \\ (\text{у которых } \xi_j=1)}} (P_j + \Delta P_j) + \sum_{\substack{\text{По всем сбившимся} \\ \text{поставщикам} \\ (\text{у которых } \xi_j < 1)}} (\xi_j P_j).$$

Узел P_0 отдаст в сторону критических сетевых узлов r_j равного ранга следующий объем R ресурсов типа *A*:

$$R = \frac{\sum_{\substack{\text{По всем критическим} \\ \text{узлам равного ранга}}} (\eta_j R_j - p_j R_j)}{\sum_{\substack{\text{По всем узлам} \\ \text{равного ранга} \\ (\text{включая } P_0)}} p_j R_j + \sum_{\substack{\text{По всем узлам} \\ \text{ранга меньшего,} \\ \text{чем } P_0}}} p_j M_j} (p_0 P_0).$$

В знаменателе дроби приведенного выражения стоит общий объем ресурсов типа *A*, получаемый сетевыми узлами ранга равного или меньшего, чем ранг узла P_0 , то есть общий объем ресурсов, которым разрешено воспользоваться (по правилам перераспределения ресурсов в градуированных сетях) для оказания помощи критическим узлам r_j ранга, рав-

ного рангу узла P_0 . В числителе — суммарная потребность всех критических узлов на плоскости узла P_0 (см. рис. 3). Поскольку отбор ресурсов происходит в объеме, пропорциональном получаемому узлом P_0 объему $p_0 P_0$, именно такая доля ресурсов типа *A* будет взята от узла P_0 в пользу критических узлов равного ранга.

Узел P_0 отдаст в сторону критических сетевых узлов $b_j^{(k)}$ ранга k , большего чем ранг P_0 (то есть отдаст в сторону критических узлов k -й верхней плоскости; рис. 3), следующий объем $B^{(k)}$ ресурсов типа *A*:

$$B^{(k)} = \frac{\sum_{\substack{\text{По всем критическим} \\ \text{узлам ранга } k}} (\eta_j B_j^{(k)} - p_j B_j^{(k)})}{\sum_{\substack{\text{По всем узлам} \\ \text{равного ранга} \\ (\text{включая } P_0)}} p_j R_j + \sum_{\substack{\text{По всем узлам} \\ \text{ранга меньшего,} \\ \text{чем } P_0}}} p_j M_j + \sum_{\substack{\text{По всем узлам} \\ \text{ранга большего, чем } P_0, \\ \text{до ранга } k \text{ включительно}}} p_j B_j} (p_0 P_0).$$

В знаменателе дроби приведенного выражения стоит общий объем ресурсов типа *A*, полученный сетевыми узлами ранга не больше k , — это общий объем ресурсов всех узлов, от которых происходит перераспределение ресурсов в сторону критических узлов ранга k . В числителе — суммарная потребность критических узлов ранга k . Поскольку отбор ресурсов происходит в объеме, пропорциональном получаемому узлом P_0 объему $p_0 P_0$, именно такая доля ресурсов типа *A* перейдет от узла P_0 в сторону критических узлов ранга k .

Всего же в сторону всех критических сетевых узлов большего ранга от узла P_0 будет отобран следующий объем B ресурсов типа *A*:

$$B = \sum_{\substack{\text{По всем рангам } k, \\ \text{большим ранга } P_0}} B^{(k)}.$$

Легко понять, что в случае 1, когда узел P_0 сети **G** не объявлен критиче-

ским, производственную ситуацию (2) следует считать стабильной для узла P_0 , если выполняется неравенство:

$$Q - R - B \geq \eta_0 P_0,$$

то есть объема ресурсов, поступивших от поставщиков, за вычетом отнятого объема в сторону критических сетевых узлов, хватает, чтобы удовлетворить потребность узла P_0 в ресурсах типа A .

Случай 2. Узел P_0 объявлен критическим, его коэффициент возрастания потребности оказался велик ($\eta_0^{\text{кр.}} < \eta_0$), то есть его реальная потребность $\eta_0 P_0$ в ресурсах типа A оказалась значительно выше плановой потребности P_0 , и ресурсы типа A поставляются ему со стороны узлов сети с равным или меньшим рангом. При этом от самого узла P_0 ресурсы типа A в сторону критических узлов большего или равного ранга уже не отнимаются.

Прямые поставщики узла P_0 поставят ему следующий объем Q продукции типа A :

$$Q = \sum_{\substack{\text{По всем целым} \\ \text{поставщикам} \\ (\text{у которых } \xi_j = 1)}} (P_j + \Delta P_j) + \sum_{\substack{\text{По всем сбиившимся} \\ \text{поставщикам} \\ (\text{у которых } \xi_j < 1)}} (\xi_j P_j).$$

Со стороны узлов r_j равного ранга в узел P_0 поступит следующий объем \bar{R} продукции типа A :

$$\bar{R} = \frac{\sum_{\substack{\text{По всем не критическим} \\ \text{узлам } r_j \text{ равного ранга}}} p_j R_j}{\sum_{\substack{\text{По всем критическим} \\ \text{узлам } r_j \text{ равного ранга,} \\ \text{включая } P_0}} (\eta_j R_j - p_j R_j) + \sum_{\substack{\text{По всем критическим} \\ \text{узлам } b_j \text{ большего ранга}}} (\eta_j B_j - p_j B_j)} (\eta_0 P_0 - Q).$$

В приведенном выражении в знаменателе дроби стоит суммарная дополнительная потребность критических узлов сети, в сторону которых перераспределяются ресурсы типа A с плоскости узлов ранга, равного рангу узла P_0 . В числителе — общий объем ресурсов типа A , который можно забрать у узлов этой же плоскости равноранговых узлов. Выписанная дробь представляет собой долю ресурсов, которая будет перераспределена в сторону узла P_0 от объема $\eta_0 P_0 - Q$ ресурсов типа A , требуемого узлу P_0 , где Q — объем ресурсов типа A , поставленный в узел P_0 со стороны его прямых поставщиков.

Со стороны фиксированной плоскости (см. рис. 3) узлов $m_j^{(k)}$ ранга k , строго меньшего, чем ранг узла P_0 , в сторону узла P_0 поступит следующий объем $M^{(k)}$ продукции типа A :

$$M^{(k)} = (\eta_0 P_0 - Q) \times \frac{\sum_{\substack{\text{Абсолютно по всем} \\ \text{узлам } m_j^{(k)} \text{ ранга } k}} p_j M_j^{(k)}}{\sum_{\substack{\text{По всем критическим} \\ \text{узлам } r_j \text{ равного} \\ \text{ранга, включая } P_0}} (\eta_j R_j - p_j R_j) + \sum_{\substack{\text{По всем критическим} \\ \text{узлам } b_j \\ \text{большого ранга}}} (\eta_j B_j - p_j B_j) + \sum_{\substack{\text{По всем критическим} \\ \text{узлам } m_j \text{ ранга} \\ \text{меньшего } P_0, \text{ но} \\ \text{большого или равного } k}} (\eta_j R_j - p_j R_j)}.$$

В приведенном выражении в знаменателе дроби стоит суммарная дополнительная потребность критических узлов сети, в сторону которых может производиться перераспределение ресурсов типа A с плоскости узлов ранга k . В числителе — общий объем ресурсов типа A , который можно забрать у узлов этой же плоскости. Выписанная дробь представляет собой долю ресурсов, которая будет перераспределена в сторону узла P_0 от требующегося ему дополнительно объема $\eta_0 P_0 - Q$ ресурсов типа A .

Таким образом, всего в узел P_0 со стороны всех узлов меньшего ранга поступит следующий объем M продукции типа A :

$$M = \sum_{\substack{\text{По всем рангам } k, \\ \text{меньшим ранга } P_0}} M^{(k)}.$$

Легко понять, что в случае 2, когда узел P_0 сети G объявлен критическим, производственную ситуацию (2) следует считать стабильной для узла P_0 , если выполняется неравенство

$$Q + \bar{R} + M \geq \eta_0 P_0,$$

то есть ресурсов, поставленных поставщиками в совокупности с дополнительными ресурсами, полученными из сети от узлов с меньшим или равным рангом, оказывается достаточно, чтобы покрыть резко возросшую потребность $\eta_0 P_0$ узла P_0 .

Очевидно, что каждая производственная ситуация вида (2) для предприятия P_0 является либо стабильной, либо нестабильной. Например, ситуация (2) стабильна, если все поставщики выполнили свои контрактные обязательства, потребность предприятия P_0 не увеличилась и при этом в сети G форс-мажорные критические ситуации объявлены только на предприятиях ранга меньшего, чем ранг P_0 — им не требуется отдавать свои ресурсы. Напротив, ситуа-

ция (2) окажется нестабильной в случае резкого увеличения потребности предприятия P_0 в поставках продукции типа A и большом числе критических форс-мажорных ситуациях на узлах сети G большего ранга, чем ранг P_0 — им требуется отдавать свои ресурсы.

Коэффициентом сетевой устойчивости предприятия P_0 (в обеспеченности ресурсами типа A) назовем вероятность p_0^* возникновения стабильной для предприятия P_0 производственной ситуации вида (2) в сети G .

Поскольку коэффициент сетевой устойчивости предприятия P_0 является вероятностной характеристикой, то для его практического вычисления необходимо многократно (например, на компьютере) генерировать производственные ситуации вида (2) случайным образом, то есть генерировать (с помощью датчика случайных чисел) последовательность значений случайных величин:

$$\left(\xi_1, \xi_2, \dots, \xi_j, \dots; \eta_0; \eta_1^b, \eta_2^b, \dots; \right. \\ \left. \eta_1^r, \eta_2^r, \dots; \eta_1^m, \eta_2^m, \dots \right).$$

Каждый раз после генерации случайной производственной ситуации (2) необходимо проверять полученную ситуацию на стабильность, то есть проверять, какой из двух возможных случаев имеется (предприятие P_0 объявлено критическим или нет) и, в зависимости случая, проверять выполнение соответствующего неравенства:

$Q - R - B \geq \eta_0 P_0$, если P_0 не объявлен критическим (случай 1);

$Q + \bar{R} + M \geq \eta_0 P_0$, если P_0 объявлен критическим (случай 2).

Если в серии из N компьютерных экспериментов появилось $N_0 \leq N$ стабильных производственных ситуаций вида (2), то за коэффициент p_0^* сетевой устойчивости предприятия P_0 (как и в случае компьютерного опре-

деления коэффициента обособленности устойчивости предприятия) можно принять относительную частоту $P_0^* \approx \frac{N_0}{N}$ возникновения стабильной производственной ситуации. При этом, согласно закону больших чисел, равенство $P_0^* \approx \frac{N_0}{N}$ будет тем точнее, чем больше количество проведенных экспериментов N .

Серии компьютерных экспериментов для определения коэффициента P_0^* сетевой устойчивости узлов сети возможно проводить с помощью компьютерной системы [6].

Аналогичный анализ вариантов перераспределения ресурсов внутри организационной сети при возникновении на ее предприятиях не более чем двух форс-мажорных ситуаций проведен в [6]; рассмотрение этой работы приводят к частному случаю полученных нами условий стабильности предприятия P_0 . Предлагаемая методика не ограничивает количество критических предприятий в сети G , учитывает произвольное количество случайных сбоях у поставщиков продукции и произвольное количество не только критических ситуаций (резкое увеличение коэффициентов возрастания потребности η_j), но и текущих производственных осложнений (незначительное возрастание потребности в ресурсах, соответствующее относительно небольшому возрастанию коэффициентов η_j) на предприятиях организационной сети G .

Важнейший вопрос для каждого предприятия при его вступлении в структуру организационной сети: на сколько (например, процентов) сетевая устойчивость этого предприятия окажется выше его обособленной устойчивости? как участие данного предприятия в организационной сети повысит его стабильность и устойчивость в обеспеченности ресурсами, необходимыми ему для реа-

лизации своей производственной деятельности?

Для количественной характеристики увеличения стабильности предприятия при его вхождении в организационную сеть введем коэффициент $\sigma(P_0)$ сетевой поддержки предприятия P_0 :

$$\sigma(P_0) = \frac{P_0^* - P_0}{P_0} \cdot 100\%.$$

Таким образом, коэффициент сетевой поддержки $\sigma(P_0)$ показывает, на сколько процентов сетевая устойчивость P_0^* предприятия P_0 выше его обособленной устойчивости P_0 , то есть насколько предприятие P_0 становится стабильнее за счет включения его в организационную сеть G .

Для сетей различных конфигураций сети G и различных типов предприятий в разных производственных отраслях коэффициент сетевой поддержки $\sigma(P_0)$ может быть принципиально разным по своим значениям и моде (то есть по наиболее предпочтительным значениям). Задача определения наиболее предпочтительных диапазонов значений коэффициентов сетевой поддержки предприятий в организационных сетях различного типа представляется важной и актуальной исследовательской задачей.

Для определения диапазона значений коэффициента сетевой поддержки предприятий сети G необходимо вычислить значение $\sigma(P_j)$ для каждого предприятия P_j рассматриваемой сети G . В свою очередь, знание коэффициента сетевой поддержки $\sigma(P_j)$ каждого предприятия P_j сети G дает возможность упорядочить все предприятия по значениям их коэффициента сетевой поддержки, то есть ранжировать предприятия по степени получаемой поддержки со стороны сети.

Ясно, что если коэффициент сетевой поддержки $\sigma(P_j)$ некоторого предприятия $P_j \in G$ невелик (или, хуже

того, отрицательный), то предприятие P_j получает от сети малую добавку к своей устойчивости и стабильности (или даже теряет). В этом случае нахождение такого предприятия в структуре организационной сети может быть расценено как невыгодное. В случае малости $\sigma(P_j)$ участие предприятия в сетевой структуре может быть обусловлено разве лишь какими-то другими причинами экономического или конъюнктурного характера (функционал силы сетевого экономического притяжения многофакторный и многогранный [7]). Однако ясно, что при прочих равных условиях предприятие P_j с низким коэффициентом $\sigma(P_j)$ сетевой поддержки менее всего заинтересовано в своем пребывании в рамках организационной структуры сети \mathbf{G} — оно становится первым кандидатом на отсоединение от сети и выход из сетевой структуры. При решении задач преобразования и реформирования организационных сетей подобные предприятия первыми должны получать самостоятельность и выходить в свободное экономическое пространство.

Очевидно также, что неравенство $\sigma(P_j) > 0$ — неотрицательность коэффициента сетевой поддержки является критерием целесообразности участия предприятия P_j в организационной сети \mathbf{G} с точки зрения его стабильности и устойчивости в обеспеченности ресурсами типа A .

Неравенство $p_j^*(A) > p_{\text{доп.}}(A)$ — коэффициент $p_j^*(A)$ сетевой устойчивости предприятия P_j в обеспеченности ресурсами типа A больше некоторого принятого и зафиксированного минимально допустимого (для рассматриваемой отрасли) значения $p_{\text{доп.}}(A)$ — является критерием стабильности предприятия P_j организационной сети \mathbf{G} в обеспеченности ресурсами типа A .

Проведенные рассуждения и описанные методики относятся к стабиль-

ности и устойчивости предприятия в обеспеченности ресурсами только одного типа — A . В реальной ситуации, практически любое предприятие нуждается в продукции нескольких (и даже весьма большого числа) различных типов $A_1, A_2, \dots, A_k, \dots$. Легко понять, что с помощью предложенных методик мы можем определить коэффициенты $\sigma_{A_k}(P_j)$ сетевой поддержки предприятия P_j в организационной сети \mathbf{G} по каждому типу продукции A_k в отдельности. Каким образом, имея набор коэффициентов $\sigma_{A_k}(P_j)$ сетевой поддержки по каждому типу потребляемой продукции, определить стабильность и устойчивость данного предприятия P_j в организационной сети \mathbf{G} ? Ясно, что ответ на этот вопрос зависит от особенностей функционирования предприятий в рассматриваемой отрасли.

Особенностью отрасли железнодорожного транспорта является императив отрасли: безопасность движения. Это означает, что стабильность в обеспечении предприятий железнодорожной отрасли ресурсами каждого требуемого типа $A_1, A_2, \dots, A_k, \dots$ одинаково важна (в особенности, если речь идет о предприятиях, обеспечивающих перевозочный процесс). При сбоях в обеспечении каким-то одним типом ресурсов (его недопоставках или неполучении), даже несмотря на обеспеченность ресурсами остальных видов, нормальный режим перевозочного процесса может оказаться невозможным.

Таким образом, при формулировке условия стабильности предприятия, находящегося в структуре организационных сетей железнодорожной отрасли и обеспечивающего перевозочный процесс, указанная производственная особенность железнодорожного транспорта порождает необходимость брать логическую конъюнкцию условий стабильности предприятия в обеспеченности ресурсами

по всем типам необходимых ресурсов $A_1, A_2, \dots, A_k, \dots, A_N$:

$$A = \bigwedge_{k=1}^N (p_j^*(A_k) > p_{\text{доп.}}(A_k)).$$

Истинность конъюнкции A и есть необходимое условие стабильности предприятия P_j железнодорожной отрасли в обеспеченности ресурсами для организации перевозочного процесса.

Отмеченная особенность, приводящая к возникновению конъюнкций условий стабильности предприятий по отдельным типам ресурсов, — это специфика железнодорожного

транспорта. В других отраслях экономики возможно использование и каких-то иных логических композиций условий стабильности по различным типам ресурсов. Например, дизъюнкция условий обеспеченности ресурсами разных типов может использоваться в том случае, когда некоторое предприятие (например, завод бытовой химии) продолжает производить лишь отдельные виды продукции и остается загруженным (считается стабильным) даже если производство какого-то другого вида продукции приостановлено из-за срыва в поставках необходимого сырья. ■

Литература

1. Сизый С. В. Модель образования и распада организационных сетей в экономико-правовом пространстве. ВИНИТИ РАН: Транспорт, наука, техника, управление. — 2010. — № 3. — С. 17–30.
2. Сай В. М., Сизый С. В. Математическая модель региональной планетарной структуры управления железнодорожным транспортом. В сб. тр.: Фундаментальные и прикладные исследования — транспорту // Екатеринбург : УрГУПС, 2002. Вып. 20 (102). — С. 372–391.
3. Сай В. М., Сизый С. В. Организационные структуры как мультиоператорные сети. Задачи прочности и устойчивости // Транспорт Урала, 2009, № 2 (21). — С. 5–9. ISSN 1815–9400.
4. Сай В. М. Критические элементарные события при вычислении устойчивости узлов планетарной структуры Деп. в ВИНИТИ 30.01.03. № 188. — В2003. — 24 с.
5. Сай В. М. Математическая формализация устойчивости узлов корпоративной сети в структуре «сеть–корпорация» // Проблемы организации производства и труда в условиях реформирования транспорта: сб. науч. тр. — Екатеринбург : УрГУПС, 2002. — Вып. 21 (103). — С. 47–92.
6. Свидетельство о гос. регистрации программы для ЭВМ № 2009616769. 07.12.2009.
7. Сай В. М. Планетарная структура: корпоративные варианты // Мир транспорта. — М., 2003. — № 1. — С. 96–102. ISSN 1992–3252.

Статья сдана в редакцию 6.02.2010 г.

О. Н. Ларин, А. А. Кажаяев

Методы размещения сетевых узлов в автотранспортных системах

Неразвитость автотранспортных систем негативно отражается на характеристиках движения транспортного потока, увеличивает его плотность, снижает среднюю скорость движения и, как следствие, эффективность дорожных сообщений. Влияние расположения сетевых узлов на загрузку сети исследуется отечественными и зарубежными учеными [1–3].

В теории транспортных систем выделяют различные принципы расположения терминалов на сети: в удобных для доставки грузов местах; вблизи мест концентрации грузовых потоков (населенных пунктов, промышленных объектов) и др. Для решения задачи выбора места расположения транзитного терминала может быть использован так называемый метод центра тяжести, основанный на аналогии определения координат центра тяжести физической системы.

Метод учитывает расположение уже существующих i -х отправителей ($i \in I$) и j -х получателей ($j \in J$), задается в декартовой системе координат Oxy ; расстояние между ними — l_{ij} , объемы перевозимых грузов от i -го отправителя j -му получателю — Q_{ij} . Для определения места расположения транзитного терминала отправителям и получателям присваивают координаты (x_i, y_i) и (x_j, y_j) соответственно. Координаты транзитного терминала B_x и B_y находят как центр

тяжести физической системы «отправители–получатели» по формулам

$$B_x = \frac{\sum_{i=1}^n Q_i x_i + \sum_{j=1}^m Q_j x_j}{\sum_{i=1}^n Q_i + \sum_{j=1}^m Q_j},$$

$$B_y = \frac{\sum_{i=1}^n Q_i y_i + \sum_{j=1}^m Q_j y_j}{\sum_{i=1}^n Q_i + \sum_{j=1}^m Q_j} \quad (1)$$

при $i \in I, i = 1, \dots, n, j \in J, j = 1, \dots, m$,

$$\sum_{i=1}^n Q_i = \sum_{j=1}^m Q_j, \quad (2)$$

где B_x — координата по оси Ox месторасположения транзитного терминала; B_y — координата по оси Oy месторасположения транзитного терминала; x_i и y_i — координаты месторасположения i -го отправителя; x_j и y_j — координаты месторасположения j -го получателя; Q_i и Q_j — соответственно объемы отправления i -го отправителя и объемы получения j -го получателя:

$$Q_i = \sum_{j=1}^m Q_{ij}, \quad Q_j = \sum_{i=1}^n Q_{ij}.$$

Выражение (2) описывает условия баланса объемов отправления и получения в системе. Теоретико-методологической основой метода «центр тяжести» является концепция

транспортного районирования и процедура нахождения предельных точек в топологических пространствах. С этих позиций метод «центр тяжести» рассматривается в качестве наиболее приемлемого способа решения задачи определения местоположения транзитного терминала в границах автотранспортной системы региона.

Размещение терминала в точке с координатами (B_x, B_y) обеспечивает своеобразный баланс объемов транспортной работы P , выполняемой при доставке грузов от всех пунктов отправления к транзитному терминалу и от транзитного терминала ко всем пунктам назначения:

$$\sum_i P_i = \sum_j P_j.$$

Решение по (1) имеет смысл для системы доставки с большим количеством отправителей и получателей грузов, когда проектируется терминал трансформационного типа для выполнения накопительно-распределительных функций при доставке широкого ассортимента отгружаемой продукции при высокой неравномерности спроса по времени и объему. Но данный метод малоэффективен для межрегиональной системы доставки с одним отправителем или одним получателем продукции в регионе, когда для большей эффективности транспортировки грузы перевозятся крупными партиями на большие расстояния.

В первом случае (один отправитель) терминал B^t выступает в качестве распределительного звена, расположенного в регионе обслуживания получателей, а технология доставки предполагает перевозку крупных партий грузов между отправителем и терминалом. Во втором случае (один получатель) терминал B_0^t создается в регионе нахождения отправителей для консолидации грузов в укрупненные партии и их отправки получателю.

И в том и в другом случае месторасположение терминала определяется как центр тяжести для однородной системы, включающей только объемы отправителей Q_j или только объемы получателей Q_i . В противном случае, решение с экономической точки зрения не будет оптимальным.

Для системы «один отправитель — несколько получателей» координаты местоположения транзитного терминала, выполняющего распределительные функции, рассчитываются по формулам

$$B_x^t = \frac{\sum_{j=1}^m Q_j x_j}{\sum_{j=1}^m Q_j}, \quad B_y^t = \frac{\sum_{j=1}^m Q_j y_j}{\sum_{j=1}^m Q_j} \quad (3)$$

при $j \in J, j = 1, \dots, m, Q_i = \sum_{j=1}^m Q_j$.

Для системы «несколько отправителей — один получатель» координаты местоположения транзитного терминала, выполняющего накопительные функции, рассчитываются по формулам

$$B_{0x}^t = \frac{\sum_{i=1}^n Q_i x_i}{\sum_{i=1}^n Q_i}, \quad B_{0y}^t = \frac{\sum_{i=1}^n Q_i y_i}{\sum_{i=1}^n Q_i} \quad (4)$$

при $i \in I, i = 1, \dots, n, \sum_{i=1}^n Q_i = Q_j$.

Метод «центр тяжести» в упрощенном виде основан на допущениях о равенстве всех транспортных расходов в прямом и обратном направлениях и об отсутствии потерь при неполной загрузке транспорта. Преимущество этого метода — простота его использования, так как для поиска оптимального решения не требуется сложных вычислительных процедур. Но данный метод не позволяет учитывать дополнительные факторы,

которые не всегда напрямую связаны с положением объектов в системе координат (например, землепользование и др.), но могут оказывать существенное влияние на расположение транзитных терминалов. Поэтому на практике полученное решение по методу «центр тяжести» рассматривается в качестве первоначального варианта размещения транзитного терминала, которое может быть скорректировано с учетом существующих ограничений различной природы (геологических, экологических и пр.). Например, в работе [4] содержится ряд дополнительных рекомендаций эвристического характера для выбора месторасположения распределительного центра в регионе.

В работе [5] в качестве альтернативы методу «центр тяжести» на примере задачи определения оптимального местонахождения базового контейнерного терминала рассматриваются методы «пробная точка» и «подвижная точка». По данным методам решение задачи является оптимальным при условии баланса объемов завоза (вывоза) грузов потребителям, расположенным по разные стороны относительно места расположения терминала. Однако данный подход не учитывает топологию размещения объектов транспортных связей (потребителей), расстояния между ними и терминалом, что важно с точки зрения сокращения объемов транспортной работы (если не учитывать удаленность объекта с большим объемом завоза (вывоза) от терминала, то возможно, что результаты функционирования транспортной системы будут не оптимальными по общей величине грузооборота).

Основное достоинство метода «центр тяжести» как раз состоит в том, что он позволяет найти оптимальное место расположения терминала по критерию грузооборота. Данный подход также целесообразно исполь-

зовать при размещении дорожных узлов на сети автодорог регионального значения, чтобы обеспечить снижение загрузки федеральных дорог внутрирегиональными сообщениями.

В отечественной практике при развитии сети автодорог применяется метод экономического трассирования. Критерий оптимальности при экономическом трассировании — затраты на строительство и содержание дорог и на перемещение по ним пассажиров и грузов. Метод экономического трассирования предполагает улучшение кратчайшей связывающей автодорожной сети, которая соединяет все без исключения корреспондирующие точки при минимальном суммарном весе всех звеньев сети. В простейшем случае весом звена является расстояние между корреспондирующими пунктами. Оптимизация кратчайшей связывающей сети предполагает включение дополнительных ребер (соединительных дорог).

Данный метод может достаточно успешно применяться при проектировании сетей в «нормативных» (централизованных) транспортных системах, в которых распределение транспортных потоков по сети регулируется [6].

Существуют различные модификации метода экономического трассирования сети автомобильных дорог: метод перебора, эвристический подход, метод статистических испытаний и др.

Приведенные и подобные методы при существующих различиях имеют общую методологическую основу: решение типичной оптимизационной задачи по критерию суммарных затрат на строительство дорог и выполнение транспортной работы. Затраты на строительство дорог $Z_{\text{ст.}}$ функционально зависят от общей протяженности дорожной сети региона: $Z_{\text{ст.}} = f(L)$, а затраты на транспортную работу $Z_{\text{пер.}}$ зависят от протяженности маршрутов

перевозок: $Z_{\text{пер.}} = f(l_m)$. Величина l_m , в свою очередь, также зависит от общей протяженности дорожной сети региона: $l_m = f(L)$, так как чем гуще дорожная сеть, тем короче может быть выбран маршрут для передвижений. Графическая интерпретация зависимости перечисленных и общих $Z_{\text{об.}}$ затрат от общей протяженности сети дорог L показана на рис. 1.

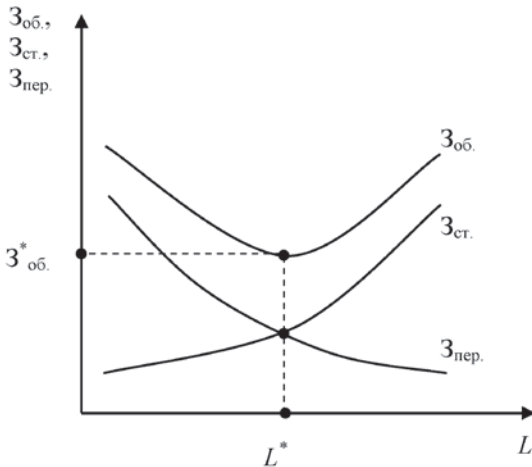


Рис. 1. Зависимость затрат на строительство и транспортную работу от протяженности сети

Минимум функции общих затрат $F(Z_{\text{об.}}^*) \xrightarrow{L} \min$ достигается при $L = L^*$. Соответствующая задача оптимизации решается дифференцированием функций затрат на строительство и транспортную работу по длине сети и приравниванием их к нулю:

$$\left(\frac{dZ_{\text{ст.}}}{dL} + \frac{dZ_{\text{пер.}}}{dL} \right)_{L=L^*} = 0.$$

В то же время методология экономического трассирования как способ построения оптимальной сети дорог несвободна от некоторых качественных недостатков. Экономическое трассирование не отвечает принципам построения функционально структурированной сети автодорог, так как не учитывается влияния транзитной функции на условия движения по до-

рогам и не обеспечивается снижение загрузки федеральных дорог внутрирегиональными сообщениями. В методах экономического трассирования целевая функция принимает оптимальное значение при минимальной общей протяженности и максимальной связанности сети дорог. Однако это условие может быть достигнуто при большом числе примыканий дорог местного значения к дорогам федерального значения, в результате чего федеральные автодороги будут дополнительно выполнять транзитную функцию при обслуживании внутрирегиональных транспортных сообщений, что увеличивает степень их загрузки и снижает скорость движения по ним.

При высоком уровне нагрузки внутрирегиональных сообщений на федеральную дорогу решается вопрос о создании дорожного узла b^s автотранспортной системы местного или регионального уровня (в зависимости от статуса объекта), используемого для интеграции внутрирайонных (внутрирегиональных) сообщений по местным (региональным) дорогам r^s между объектами транспортных связей h^s , входящими в состав транспортного района A^s , а также межрайонного (межрегионального) дорожного узла b^y автотранспортной системы регионального (федерального) уровня, используемого для интеграции межрайонных (межрегиональных) сообщений, осуществляемых по региональной (федеральной) дороге r^f . Для расчета координат таких узлов (b_x, b_y) предлагается также использовать метод «центр тяжести».

Рассмотрим пример определения местоположения внутрирайонного дорожного узла для муниципального района. Местоположение внутрирегионального дорожного узла для межмуниципальных сообщений определяется аналогичным образом. Обозначим g_{ij}^s объем транспортных сообщений

между объектами h_i^s и h_j^s , которые выступают в качестве i -го пункта отправления ($i \in I$) и j -го пункта назначения ($j \in J$) транспортного района A^s соответственно. Для количественной оценки объемов g_{ij}^s , как правило, используется величина интенсивности движения автомобильного транспорта между корреспондирующими пунктами h_i^s и h_j^s , которые имеют соответствующие координаты: $h_i^s = (x_i^s, y_i^s)$ и $h_j^s = (x_j^s, y_j^s)$.

Структурирование транспортных систем по функциональным уровням предполагает разделение сообщений на внутрирайонные g^s и межрайонные g^y . Для реализации внутрирайонных сообщений используются дороги местного значения, которые для большей связанности корреспондирующих пунктов при меньшей протяженности дорог l_{ij}^s соединяются между собой в дорожных узлах b^s (линейная конфигурация). Кратчайшее расстояние между пунктами h_i^s и h_j^s рассчитывается по их координатам:

$$l_{ij}^s = \sqrt{(x_j^s - x_i^s)^2 + (y_j^s - y_i^s)^2}. \quad (5)$$

Расположение внутрирайонных дорожных узлов на сети дорог должно обеспечивать связанность корреспондирующих пунктов с наибольшими объемами транспортных сообщений по минимальным расстояниям между ними. При этом условии достигается минимум транспортной работы при минимальной протяженности дорог:

$$\sum_{i=1}^n \sum_{j=1}^m g_{ij}^s l_{ij}^s \longrightarrow \min. \quad (6)$$

Содержательная интерпретация критерия (6) применительно к расположению внутрирайонных дорожных узлов на сети дорог предполагает их расположение на наиболее напряженных направлениях транспортных сообщений. Данное условие помога-

ет сократить не только транспортно-эксплуатационные затраты, но и расходы на дорожное строительство — по напряженным направлениям предполагается строительство дорог более высоких технических категорий.

Координаты внутрирайонного дорожного узла b^s как «центр тяжести» внутрирайонных сообщений g_{ij}^s :

$$b_x^s = \frac{\sum_{j=1}^m \sum_{i=1}^n g_{ij}^s x_i^s}{\sum_{j=1}^m \sum_{i=1}^n g_{ij}^s}, \quad b_y^s = \frac{\sum_{j=1}^m \sum_{i=1}^n g_{ij}^s y_i^s}{\sum_{j=1}^m \sum_{i=1}^n g_{ij}^s}. \quad (7)$$

В числителе выражений (7) для объемов сообщений g_{ij}^s стоят координаты соответствующих пунктов отправления x_i^s и y_i^s , что отражает стремление расположить внутрирайонный дорожный узел b^s между объектами h^s с наиболее мощными объемами транспортных связей, что исключить перепробег подвижного состава (рис. 2).

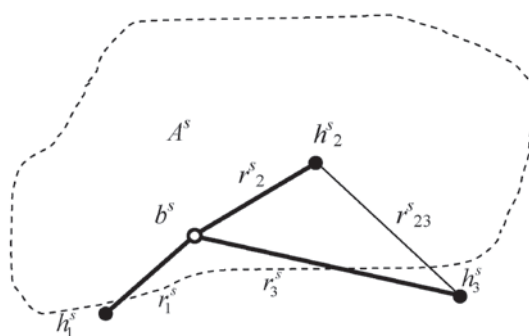


Рис. 2. Схема расположения внутрирайонного дорожного узла b^s

Определенное в результате расчетов по формуле (7) месторасположение внутрирайонного дорожного узла b^s рассматривается как ориентировочное, так как некоторые корреспондирующие пункты уже могут быть связаны существующей дорожной сетью, например, дорогой r_{23}^s (см. рис. 2). В этом случае сравниваются расстояния между указанными пунктами: по существующей доро-

ге r_{23}^s протяженностью l_{23}^s , а также по смежным участкам сети дорог r_{2-3}^s через дорожный узел b^s , протяженность которых

$$l_{2-3}^s = l_2^s + l_3^s.$$

Если существующая дорога r_{23}^s обеспечивает более эффективные условия движения по значимому критерию оценки (расстояние маршрута, скорость движения и др.), то производится перерасчет координат b^s , при этом в выражении (7) не учитываются объемы сообщений g_{23}^s , так как они будут реализовываться по дороге r_{23}^s .

Особенности определения межрайонных дорожных узлов рассмотрим на примере межрегиональных сообщений. В межрегиональных дорожных узлах b^y соединяется сеть автодорог регионального или местного значения R^s с автодорогой регионального значения r^y , которая примыкает к федеральной дороге r^f для реализации внешних транспортных сообщений G^f , осуществляемых объектами h^f . Объекты h^f , располагающиеся в границах каждого транспортного района A^s ($A^s \subseteq A^f$), могут одновременно участвовать и во внутрирайонных сообщениях g_{ij}^s , то есть $h_s^f \in A^s$. Величина межрегиональных сообщений G_s^f с участием объектов h_s^f :

$$G_s^f = \sum_{i=1}^p g_{si}^f + \sum_{j=1}^q g_{sj}^f, \quad (8)$$

где g_s^f и g_{sj}^f — исходящие и входящие внешние транспортные сообщения объектов h_s^f ; $i = 1, \dots, p$; $j = 1, \dots, q$.

Корреспондирующие пункты для объектов h_s^f находятся за границами системы A^s , а для сообщений с ними используется дорога r^f . Поэтому потенциальное направление для транспортных сообщений g_s^f определяется топологией объектов h_s^f и точек v_s^f на автодороге r^f , расположенных на кратчайшем расстоянии от h_s^f .

Каждая такая точка (v_{si}^f и v_{sj}^f) представляет собой потенциальный дорожный узел, образуемый пересечением топологических множеств: дороги r^f и примыканий к ней (r_{si}^f и r_{sj}^f) от объектов h_{si}^f и h_{sj}^f , с координатами:

$$v_{si}^f(x_{vi}; y_{vi}) = \{r_v^f\} \cap \{r_{si}^f\}, v_s^f \in V_s^f \quad (9)$$

при

$$l_{si}^f = \sqrt{(x_{si} - x_{vi})^2 + (y_{si} - y_{vi})^2} \longrightarrow \min;$$

$$v_{sj}^f(x_{vj}; y_{vj}) = \{r_v^f\} \cap \{r_{sj}^f\}, v_s^f \in V_s^f \quad (10)$$

при

$$l_{sj}^f = \sqrt{(x_{vj} - x_{sj})^2 + (y_{vj} - y_{sj})^2} \longrightarrow \min,$$

где x_s и y_s — координаты объектов h_s^f ; x_v и y_v — координаты точек v_v^f и v_v^f на федеральной дороге; V_s^f — множество точек v_s^f на федеральной дороге r^f .

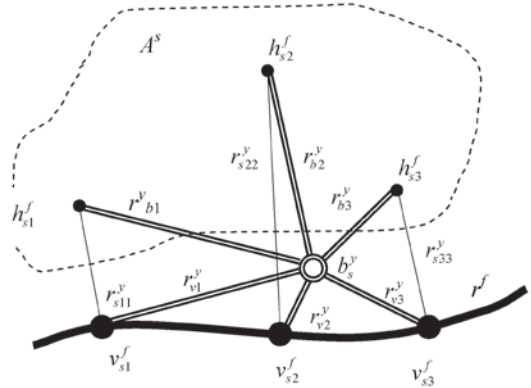


Рис. 3. Схема расположения межрегионального дорожного узла b_s^y

Местоположение дорожного узла b_s^y ограничивается расположением объектов h_s^f и дороги r^f (рис. 3) и аналогично условию (6) должно обеспечивать связанность корреспондирующих пунктов (в рассматриваемом случае h_s^f и v_s^f) при минимальном пробеге всего подвижного состава:

$$\sum_{i=1}^p g_{si}^f l_{si}^f + \sum_{j=1}^q g_{sj}^f l_{sj}^f \longrightarrow \min. \quad (11)$$

Минимум по выражению (11) при заданном значении G_s^f обеспечивается при условии, что кратчайшие маршруты организуются по направлениям с наибольшим объемом транспортных сообщений. Местоположение межрегионального дорожного узла b_s^y как «центра тяжести» межрегиональных сообщений g_s^f :

$$b_{sx}^y = \frac{\sum_{i=1}^p g_{si}^f x_{si} + \sum_{j=1}^q g_{sj}^f x_{vj}}{G_s^f},$$

$$b_{sy}^y = \frac{\sum_{i=1}^p g_{si}^f y_{si} + \sum_{j=1}^q g_{sj}^f y_{vj}}{G_s^f}. \quad (12)$$

От дорожного узла b_s^y к федеральной дороге r^f по кратчайшему пути между ними организуется дорога ре-

гионального значения r^y . Объекты транспортных связей h_s^f соединяются с межрегиональным дорожным узлом b_s^y , как правило, через внутрирайонный (внутрирегиональный) дорожный узел b_s^y либо напрямую. Все расположенные в регионе дорожные узлы (b^s и b^y) соединяются друг с другом, а при наличии — и с транспортными узлами B^y дорог регионального значения r^y по кратчайшему пути между ними.

Использование рассмотренных методов при размещении сетевых узлов в автотранспортных системах регионов позволит снизить нагрузку внутрирегиональных сообщений на федеральные дороги, сформировать конфигурацию сети дорог с учетом топологии объектов транспортных связей и интенсивности движения между корреспондирующими пунктами, сократить объемы транспортной работы при внутрирегиональных перевозках. ■

Литература

1. Хомяк Я. В. Проектирование сетей автомобильных дорог / Я. В. Хомяк. — М. : Транспорт, 1983. — 207 с.
2. Kaakai Fateh. A hybrid Petri nets-based simulation model for evaluating the design of railway transit stations / Fateh Kaakai, Said Hayat, Abdellah El Moudni // Simulation Modeling Practice and Theory. — 2007. — V. 15. — P. 935–969.
3. Lo Hong K. Modeling competitive multi-modal transit services: a nested logit approach / Hong K. Lo, Chun-Wing Yip, Quentin K. Wan // Transportation Research. — Part C. — 2004. — V. 12. — P. 251–272.
4. Thomas M. Carroll. A Bayesian Approach to Plant-Location Decisions / M. Thomas Carroll, Robert D. Dean // Decision Sciences. — 1980. — January. — P. 87.
5. Казаков А. Л. Определение оптимального местонахождения базового контейнерного терминала / А. Л. Казаков, А. М. Поспелов. — Транспорт Урала. — 2008. — № 2. — С. 57–64. ISSN 1815–9400.
6. Стенбринк П. А. Оптимизация транспортных сетей / П. А. Стенбринк; Под ред. В. Н. Лившица / Пер. с англ. Е. М. Васильевой, В. В. Космина. — М. : Транспорт, 1981. — 320 с.

Статья сдана в редакцию 15.01.2010 г.

А. Л. Казаков, А. М. Маслов

Имитационное моделирование при проектировании грузовых терминалов железнодорожного транспорта

В настоящее время универсальным подходом для исследования сложных технических объектов, в том числе грузовых железнодорожных станций, является системный анализ. Декомпозиция и агрегирование — методы системного анализа — позволяют не только полно учитывать все аспекты функционирования железнодорожных грузовых станций и их взаимное влияние, но и применять эффективные сочетания различных методов для их исследования [1, 2]. Наиболее эффективным представляется исследование грузовых станций с помощью двухуровневой модели, состоящей из оптимизационной и имитационной моделей станции и блока их стыковки [3, 4]. Появляется возможность проводить оценку функционирования станции на микроуровне, для которого много значат флуктуации на макроуровне, где производится оптимизация работы и применяются детерминированные зависимости [4].

Применение системного подхода позволило внедрить автоматизированные системы проектирования железнодорожных станций. В них с помощью иерархической структурной декомпозиции появляется возможность оптимизировать отдельные параметры функционирования.

В свою очередь, заложенные в ЭВМ формализованные связи и взаимодействия подсистем обеспечивают синтез технико-технологических параметров всей системы [4, 5].

Рассмотрим случай, когда система терминала включает в себя подсистемы железнодорожной грузовой станции общего пользования и подсистеме складского хозяйства.

Первые работы с применением имитационного моделирования использовали графический метод имитации [6]. Однако в таком случае имеются ограничения, связанные с тем, что выполнение экспериментальных графиков требует больших затрат времени, и поэтому количество полученных таким образом экспериментальных данных может оказаться недостаточным для рассмотрения необходимого количества реализаций функционирования станции. Поэтому имитационное моделирование целесообразно производить с использованием ЭВМ.

Преимущество имитационного моделирования заключается в том, что отпадает необходимость в многочисленных допущениях, вводимых при аналитических методах решения. Применение имитационного моделирования дает возможность оценить параметры функционирования любых

Сведения об авторах: **Александр Леонидович Казаков**, д-р физ.-мат. наук, ведущий научный сотрудник Института динамики систем и теории управления Сибирского отделения РАН (ИДСТУ СО РАН). E-mail: kazakov@icc.ru.

Александр Михайлович Маслов, инженер кафедры «Станции, узлы и грузовая работа» (УрГУПС). E-mail: a.m.maslov@gmail.com.

периодов времени, а формулы и уравнения аналитического метода справедливы лишь для моментов, когда процесс обслуживания установился, и не всегда удовлетворительно описывают динамические процессы. Имитационное моделирование позволяет учитывать связь между параметрами функционирования станции с ее структурой, а также влияние на станционную систему управления [3]. Появляется возможность создавать модели систем массового обслуживания с немарковскими случайными процессами [7].

В настоящее время актуальны формализация эвристического опыта по проектированию и эксплуатации железнодорожных станций и создание систем автоматизированного проектирования [8]. Автоматизированные системы позволяют применить как формализованные экспертные знания, так и строгие научные методы системного анализа — математическое и имитационное моделирование.

Предлагается подход автоматизированного проектирования («А-проектирование») [8]. В процессе разработки схемы путевого развития и генерального плана станции проектировщик оперирует «модулями проектирования», «техническими макрообъектами проектирования» и др., которые являются абстракциями отдельных элементов станции. Из них составляется абстрактная масштабная схема станции, где каждый элемент хранит зашифрованную информацию о технико-технологических свойствах. Комбинация этих шифров составляет код, хранящий информацию о технико-технологических свойствах станции в целом.

Рассмотрим далее, как может быть использована компьютерная имитационная модель при проектировании грузового терминала на железнодорожном транспорте.

В первую очередь, необходимо разработать схему путевого развития и технического оснащения железнодорожной грузовой станции. Схему путевого развития можно принять по альбомам типовых схем, но лучших результатов можно достичь, если разработать схему, например, с помощью САПР ЖС [8].

Далее необходимо определить технико-технологические параметры станции. Одни из главных параметров — наличные пропускная и перерабатывающая способности (они должны быть не меньше потребных). Недостаточный уровень наличных значений приводит к формированию очередей и возникновению дополнительных расходов, связанных с непроизводительными простоями подвижного состава, а также к снижению качества транспортной продукции. Создание неоправданно больших резервов наличных пропускной и перерабатывающей способностей технологических линий, как правило, достигается за счет введения в эксплуатацию дополнительных механизмов, что повышает себестоимость единицы транспортной продукции.

Режим работы грузовых фронтов обычно составляет 8 или 12 часов. Чем ближе момент прибытия перерывного поезда на станцию к концу смены, тем меньше рабочих циклов грузовых фронтов, в которые могут попасть в переработку вагоны из данного поезда. Это означает, что фактически перерабатывающая способность станции в данные сутки также будет снижена из-за недоиспользования производительных мощностей. Вагоны, поступившие на станцию в данные сутки и не попавшие в производительные циклы грузовых фронтов, простаивают до начала новой рабочей смены грузовых фронтов. И чем большее значение принимает в таком случае количество

передаточных поездов X , прибывших к концу смены, тем больше вагонов будет простаивать.

В результате указанных процессов возникают непроизводительные простои подвижного состава, увеличивается фактическая переработка на следующие сутки — за счет остатка с предыдущих суток. Особенно сильно это влияет на режим работы станции в том случае, когда после суток с большим остатком вагонов под выгрузку, наступают сутки с большим объемом прибытия. В таком случае объем суточной переработки может превысить наличную перерабатывающую способность станции. Пока станция работает в перегруженном режиме, она не может принимать и перерабатывать сформированные на сортировочной станции поезда. Возникают очереди на входе в станционную систему, ухудшаются условия производства маневров, снижается перерабатывающая способность из-за возникающих в условиях перегрузки отказов и аварий.

Решить проблему определения оптимальной наличной перерабатывающей способности терминала можно с помощью адекватной и точной модели входящего на грузовую станцию вагонопотока.

Пусть основной входящий поток, который считаем управляющим параметром для терминала, поступает с железнодорожного транспорта [9–13]. Остальные потоки, оперируемые на терминале, являются управляемыми. Генерацию входящего потока осуществим с помощью модели входящего вагонопотока [9, 10, 13].

Указанная модель, представляет собой совокупность семи случайных величин:

$$\begin{cases} X = X(x), \\ S = S(s), \\ L_i = L_i(l), (i = 1, \dots, 4), \\ \tau = \tau(t), \end{cases} \quad (1)$$

где X — количество вагонов в передаточном поезде, S — количество передаточных поездов, прибывающих за сутки на железнодорожную грузовую станцию общего пользования; L_i ($i = 1, \dots, 4$) показывает, в какой период суток прибывает очередной передаточный поезд; τ — время прибытия поезда на станцию. Законы распределения случайных величин X , S , L_i , τ установлены авторами ранее [9, 10, 13] и здесь не приводятся. На основе модели (1) разработана имитационная модель входящего вагонопотока [12].

В модели предполагается, что влияние ритмов работы железнодорожного транспорта, выражающееся в совокупности факторов: работа сортировочной станции, внутриузловой график движения, работа примыкающих к железнодорожному узлу направлений и др., при их сложении формирует стохастический процесс. Это позволяет избежать недостатков аналитического способа расчета наличной перерабатывающей способности по стандартной формуле [8]:

$$N_{\text{гр.}} = \sum_{i=1}^{N_{\text{г.}}} \frac{T_i - t_{\text{пост.}i}^{\Phi}}{T_{\text{ц.}}^{\Phi} (1 + \rho_{\Phi,i})} K_{\text{ц.}i} b_i, \quad (2)$$

где часть

$$\frac{T_i - t_{\text{пост.}i}^{\Phi}}{T_{\text{ц.}}^{\Phi} (1 + \rho_{\Phi,i})} = n_{\text{цикл.}}$$

показывает, сколько рабочих циклов $n_{\text{цикл.}}$ совершает грузовой фронт за сутки. Произведение $k_{\text{ц.}}$ и b_i формулы (2) показывает, какое количество вагонов готово к переработке к моменту начала следующего производственного цикла грузовых фронтов. Оно напрямую зависит от того, в какой момент времени τ прибывают передаточные поезда на станцию и сколько вагонов X они содержат. Ранее данное обстоятельство учитывалось не в полной мере или не учитывалось вообще [6, 8].

Предложенная модель вагонопотока и ее реализация в виде имитационной модели позволяют воспроизводить распределение моментов прибытия поездов на станцию с учетом особенностей работы железнодорожного узла и влияния ритмов железнодорожного транспорта на работу грузовой станции.

В основу построения имитационной модели работы станции положена схема последовательных логистических транспортных сетей [14, 15]. Она воспроизводит принцип моделирования грузовых железнодорожных станций, по которому системы станции представляются в виде последовательно расположенных элементов: накопителей (бункеров) и обслуживающих аппаратов [16].

При моделировании станции делаются следующие допущения: автомобильный поток, циркулирующий на станции, считается полностью управляемым и его случайный характер не учитывается; вагонопоток, поступающий на подъездные пути предприятий, примыкающих к станции, вычленяется из общего на стадии сортировки вагонов и в дальнейшем не рассматривается. То есть оптимизация технико-технологических параметров станции ведется, в основном, по тем транспортным и грузовым потокам, которые перерабатываются на исследуемом терминале.

Имитационная модель работает следующим образом. Блок имитации входящего вагонопотока моделирует поток на каждые сутки исследуемого периода. Далее производятся технологические операции в парке приема. Время операции на каждый состав можно принять детерминированным и определить согласно типовому технологическому процессу. Далее состав поступает в сортировку, производится декомпозиция состава

на группы вагонов. Выделяются вагоны на подъездные пути необщего пользования (далее они не учитываются) и порожний подвижной состав. Порожние вагоны получают соответствующий атрибут, который определяет, что с ними будет производиться только погрузка. Остальные вагоны распределяются по фронтам погрузки в соответствии с законом распределения. Перевод вагонопотока в грузопоток производится с помощью норм статической нагрузки каждой категории подвижного состава и грузов. Далее вагоны поступают на пункты погрузки и выгрузки. Количество вагонов, попадающих под сдвоенные операции, устанавливается согласно коэффициенту. После выгрузки грузы попадают на вывоз или в склад для длительного хранения.

В случае, когда обслуживающий элемент еще не освободился или требование обслуживания поступило в нерабочее время, пополняется очередь. После начала рабочей смены или окончания обслуживания предыдущей партии проверяется состояние очереди. После чего (в случае необходимости) начинается ее обслуживание. Максимальная длина очереди и частота случаев ее появления позволяют определить размер накопителя.

Модель работает со счетчиком дискретного времени. Частота дискретизации задается в зависимости от желаемой точности моделирования. В качестве единицы времени мы приняли одну минуту.

Имитационная модель работы станции содержит блоки моделирования входящего вагонопотока и обслуживающих элементов. В каждом блоке обслуживающих элементов присутствует сам элемент и предшествующий ему «накопитель», на котором формируется очередь (рис. 1).

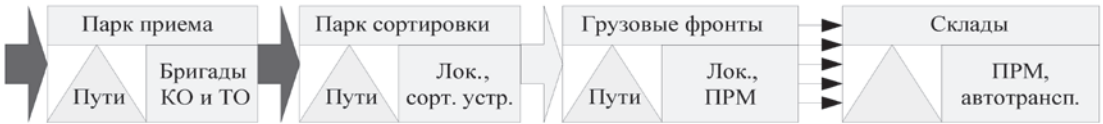


Рис. 1. Схема имитационной модели работы грузовой станции по выгрузке
→ — входящий вагонопоток (в составе поездов); — «бункерные элементы»;
 — обслуживающие устройства; ⇨ — вагонопоток; ⇨ — грузопоток

Время нахождения груза в переработке с момента поступления вагонов с грузом на станцию до момента выгрузки в склад или напрямую в автотранспорт будет в этом случае определяться по формуле

$$\sum_i^n (t_{\text{техн.}} + t_{\text{ож.}}) = T_{\text{пер.}}, \tag{3}$$

где $t_{\text{техн.}}$ — время нахождения грузов в переработке на каждом i -м обслуживающем аппарате; $t_{\text{ож.}}$ — время нахождения грузов в ожидании на каждом i -м бункерном элементе.

Для подтверждения работоспособности и адекватности предложенной имитационной модели необходима ее проверка на примере конкретной грузовой железнодорожной станции

общего пользования. В нашем случае — для станции С-Т.

Для построения модели производится условное укрупнение технологических линий станции. Аналогичные грузовые фронты представляются как один с суммарной производительностью — это позволяет установить необходимое количество механизмов на грузовых фронтах, а проектирование плана станции произвести с учетом местных особенностей. При объединении технологических линий соединяются только склады, выполняющие одинаковые технологические операции. Разбиение на технологические линии (в результате объединения) для исследуемой станции представлено в таблице 1.

Таблица 1

Специализация технологических линий имитационной модели

№	Назначение	Номер грузового фронта на реальной схеме станции
1	Погрузочно-выгрузочный (опасные грузы)	1
2	Выгрузочный (повагонные отправки)	3
3	Для сортировки мелких отправок в крытых вагонах, погрузочно-выгрузочный повагонных отправок таможенных и опасных грузов	4
4	Выгрузочный (тарно-штучные грузы, повагонные отправки)	5, 9, 14, 17
5	Погрузо-выгрузочный (колесная и тракторная техника)	6, 16, 26
6	Погрузочно-выгрузочный (таможенные грузы)	7, 10, 15, 18, 30
7	Весовой	11
8	Погрузочно-выгрузочный (тарно-штучные грузы, повагонные отправки)	8, 20, 21, 25
9	Погрузочно-выгрузочный тяжеловесных, таможенных грузов	22, 24, 37
10	Для накопления вагонов и выгрузки спецвагонов Банка России, погрузочно-выгрузочный (повагонные отправки)	31

После разыгрывания модели вагонопотока получается матрица, которая содержит моменты времени прибытия поездов и общее количество вагонов в составе поезда. В момент прибытия в накопитель приемо-отправочного парка PutiPOPVhod (рис. 2) добавляется количество вагонов, содержащееся в каждом поезде.

Оптимизация функционирования станции в рассмотренной модели производится за счет регулирования статических резервов (без учета оперативного управления работой). Структура станции представляется в виде укрупненных блоков и технологических линий, без жесткой привязки к схеме станции на плане.

Итак, предложенная в настоящей работе имитационная модель работы грузовых терминалов железнодорожного транспорта формирует для складского хозяйства входящий поток и позволяет: 1) исследовать

довать транспортно-складские объекты сколь угодно сложной структуры; 2) моделировать связи между структурными элементами объекта; 3) формализовать в грузовых терминалах потоковые процессы и регулировать их; 4) изучать процессы, происходящие на грузовой станции в динамике; 5) анализировать различные варианты функционирования и на их основе вырабатывать эффективные управленческие решения.

Таким образом, можно с определенностью утверждать: имитационное моделирование — это очень эффективный инструмент для исследования железнодорожного транспорта вообще и грузовых станций в частности, и его необходимо шире внедрять в практику, в том числе, и для того, чтобы успешно реализовать действующую Транспортную стратегию России на период до 2020 года. ■

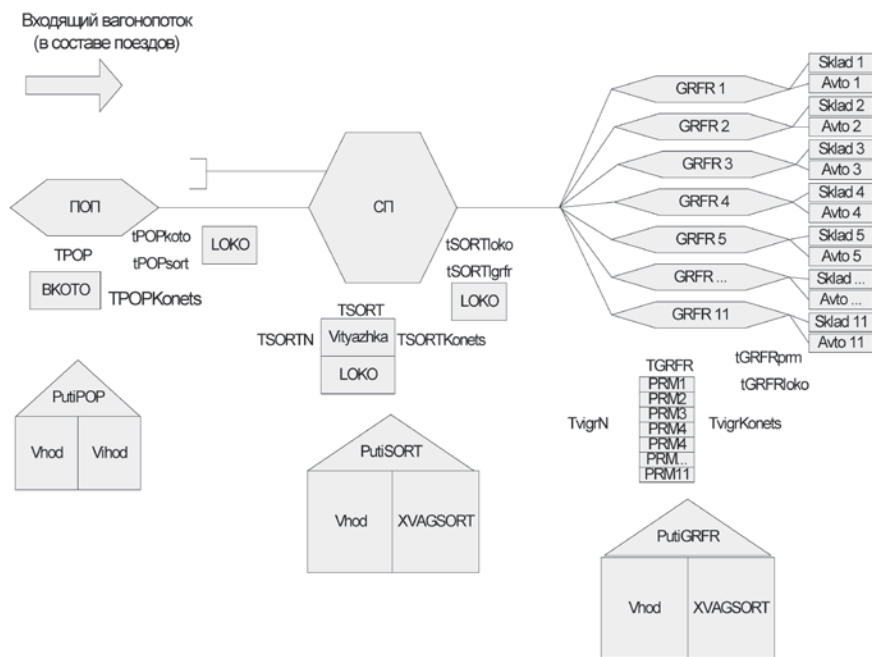


Рис. 2. Схема имитационной модели станции с указанием основных переменных программы

Работа выполнена при частичной поддержке РФФИ, проект 10-07-00264.

Литература

1. Алибеков Б. И., Жуков В. П. Моделирование логистической системы управления транспортным комплексом региона. М. : ВНИТИ РАН, 2007. 276 с.
2. Антонов А. В. Системный анализ / Изд. 2-е, стер. М. : Высш. шк., 2006. 54 с.
3. Александров А. Э. Расчет и оптимизация транспортных систем с использованием моделей (теоретические основы, методология): автореф. дисс. ... на соиск. научн. ст. д-ра техн. наук. — Екатеринбург, 2008. 285 с.
4. Жардемев Б. Б. Теоретические основы развития железнодорожных станций и узлов: дисс. ... на соиск. научн. ст. д-ра техн. наук. — М., 1999. 48 с.
5. Основы автоматизации проектирования железнодорожных станций / Под общ. ред. Н. В. Правдина. — М. : Маршрут, 2004. 400 с.
6. Логинов С. И. Исследование вопросов технического оснащения грузовых станций общего пользования: автореф. дисс. ... на соиск. научн. ст. канд. техн. наук. — Л., 1972. 20 с.
7. Маслов А. М. Техничко-технологические параметры функционирования грузовых станций железнодорожного транспорта в условиях стохастического характера вагонопотока: дисс. ... на соиск. научн. ст. канд. техн. наук. — Екатеринбург, 2009. 196 с.
8. Железнодорожные станции и узлы / Под. ред. д-ра техн. наук В. Г. Шубко, засл. деятеля науки и техники, д-ра техн. наук, проф. Н. В. Правдина. — М. : УМК МПС России, 2002. 368 с.
9. Казаков А. Л., Маслов А. М. Моделирование входящего транспортного потока на грузовую станцию с учетом его суточной неравномерности // Транспорт Урала, 2008, № 2. — С. 65–72. ISSN 1815–9400.
10. Маслов А. М., Казаков А. Л. Математическая модель входящего вагонопотока для определения уровня загрузки грузовой станции Вычислительные технологии / Вестник КазНУ им. Аль-Фараби (совместный выпуск), 2008. Т. 13, № 3 (58), Ч. II. — С. 419–424.
11. Казаков А. Л., Маслов А. М. Построение модели неравномерного транспортного потока на примере железнодорожной грузовой станции. // Современные технологии. Системный анализ. Моделирование. 2009. № 3 (23). С. 27–32.
12. Казаков А. Л., Маслов А. М. Построение имитационной модели входящего на грузовую станцию вагонопотока // Транспорт Урала, 2009. № 2. С. 17–22. ISSN 1815–9400.
13. Казаков А. Л., Маслов А. М. Математическая модель вагонопотока на грузовой железнодорожной станции Информационные и математические технологии в науке и управлении / Труды XIV Байкальской Всероссийской конференции. Ч. I. Иркутск: ИСЭМ СО РАН, 2009. С. 27–33.
14. Логистические транспортно-грузовые системы: учебник для студ. высш. учеб. заведений / Под ред. В. М. Николашина. — М. : Изд. центр «Академия», 2003. 304 с.
15. Николашин В. М. Модель оптимизации взаимодействия смежных подсистем транспортно-грузового комплекса. Проблемы совершенствования технологии и технического оснащения грузовых станций: сб. науч. тр. МИИТа. — М., 1985. Вып. 767.
16. Козлов П. А. Алгоритм и программа моделирования работы транспорта крупных промышленных предприятий. Вопросы развития транспортных узлов: сб. научн. тр. Института комплексных транспортных проблем при Госплане СССР // Вып. 44. М.: ИКТП при Госплане СССР, 1974. С. 70–89.

Статья сдана в редакцию 15.02.2010.

МЕХАНИКА МАШИН И РОБОТОВ

Р. Я. Сулейманов, Е. В. Пуговкин

Динамика управления тяговым приводом постоянного тока с электронно-импульсным регулированием в режиме стабилизации скорости

Появление в 60-х годах мощных полупроводниковых приборов — тиристоров открыло широкие возможности для экономичного регулирования силового оборудования и, в частности, тягового привода. Но работы по приводу постоянного тока постепенно заглохли. Основной причиной этого, возможно, является некоторое усложнение всего устройства и понижение надежности на этом этапе, что в условиях подвижного состава особенно нежелательно. На начальных этапах разработки тиристорных регуляторов основное внимание уделяли силовым схемам, а вот системы управления остались в тени. Но опыт показал, что именно система управления крайне важна в реализации всех возможностей тягового двигателя постоянного тока при импульсном регулировании [1].

На подвижном составе все оборудование, в том числе и система управ-

ления работает в сложных условиях. Здесь и сильная тряска, непостоянство температуры, значительные помехи, отсутствие привычного питающего напряжения 220 В и др.

Чтобы получить устройство управления, способное противодействовать всем дестабилизирующим факторам и обеспечивающее надлежащее качество процессов регулирования, целесообразно рассматривать систему управления, разложив ее на отличающиеся по функциональным признакам части. Это позволяет применить в каждой части элементную базу (или программный блок), наиболее приспособленную для выполнения соответствующего рода функций. С этой точки зрения сам процесс управления целесообразно разделить: на а) формирование в необходимой последовательности импульсов для управления тиристорами преобразователя; б) регулирование средних

Сведения об авторах: **Рашит Яхьевич Сулейманов** — канд. техн. наук, доцент кафедры «Теоретические основы электротехники» (УрГУПС), rasul2@e1.ru.

Евгений Васильевич Пуговкин — аспирант кафедры «Теоретические основы электротехники» (УрГУПС), E_Pugovkin@olympus.ru.

значений токов, скорости или других выходных параметров; в) управление взаимодействием всех устройств.

Такое разделение сразу облегчает задачу анализа и синтеза системы управления и выбора необходимой элементной базы. Например, становится очевидным, что для формирования импульсов необходимо применение элементов дискретной логики, для регулирования выходных параметров требуются решающие устройства (операционные усилители или микропроцессорные устройства). Из-за однократности процессов управление взаимодействием всей аппаратуры возможно на базе электромеханических реле или программируемой логики.

Рассмотрим вопросы регулирования выходных параметров. Система регулирования выходных параметров должна обладать устойчивостью и надлежащим качеством процессов регулирования [2]. Структуру и параметры системы регулирования в соответствии с требованиями качества можно выбирать различными способами. В данном случае мы использовали так называемый метод компенсации регулятором больших постоянных времени объекта регулирования [3]. Передаточная функция регулятора определяется как

$$G_{\text{рег.}}(p) = \frac{1}{pb\sigma G_0(p)}, \quad (1)$$

где $G_0(p)$ — передаточная функция объекта регулирования; b — коэффициент демпфирования ($b \cong 2$); σ — сумма малых постоянных времени.

В этом случае обеспечивается регулирование по так называемому оптимуму по модулю. Это значит, что обеспечивается достаточный запас по устойчивости, а перерегулирование составляет всего 5–7 %, что наиболее благоприятно для тягово-

го привода, подверженного срывам сцепления колес с рельсами.

Главным регулируемым параметром у тягового привода является ток якоря, так как он напрямую связан с силой тяги. Наиболее приемлем алгоритм поддержания его заданного значения — обеспечивается реализация наибольшего значения силы тяги и торможения.

С точки зрения авторегулирования, тиристорный преобразователь с формирователем импульсов служит непрерывным усилительным звеном. В данном случае это усилительное звено имеет линейную регулировочную характеристику. Непрерывность же обусловлена высокой частотой импульсного цикла (400 Гц) и низкой частотой процессов регулирования. Считается, что тиристорный регулятор (ТИР) имеет постоянную времени, равную половине периода импульсного цикла ($T_y = T_{\text{и}}/2$).

Для синтеза системы регулирования необходимо определить передаточные функции тягового двигателя как объекта авторегулирования во всех режимах его работы. Анализ показывает, что тяговый привод подвижного состава имеет несколько режимов работы (рис. 1).

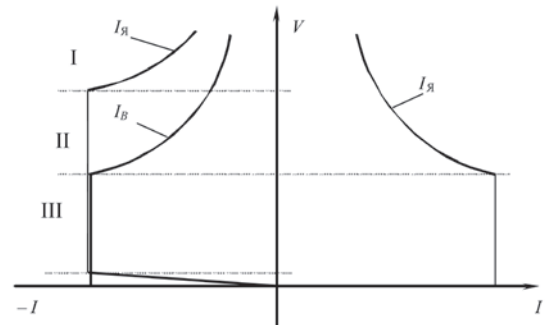


Рис. 1. Диаграмма работы тягового привода в моторном и тормозном режимах

Это, прежде всего, тяговый режим с регулированием подводимого напряжения до выхода на естественную

характеристику и работа на этой характеристике. Регулирование возбуждения здесь обычно не производится (не считая ступенчатого ослабления поля). В тормозном режиме имеются зона высоких скоростей (зона I), где ограничивается коэффициент ослабления поля (β) по условиям коммутации, зона регулирования тока якоря через ток возбуждения (II), зона низких скоростей, где производится импульсное регулирование при номинальном возбуждении (III), и зона, где ток спадает до нуля при практически закороченной якорной цепи.

Передаточная функция определяется как отношение изображения сигнала на выходе звена (Y) к изображению сигнала на входе (X) при нулевых начальных условиях [2]:

$$W(p) = \frac{Y(p)}{X(p)}. \quad (2)$$

Передаточную функцию якорной цепи можно получить, записав дифференциальное уравнение:

$$L_{\text{я}} \frac{di_{\text{я}}}{dt} + R_{\text{я}} i_{\text{я}} + C_e \Phi V = u_{\text{дв}}, \quad (3)$$

где $L_{\text{я}}$, $R_{\text{я}}$ — эквивалентные индуктивность и сопротивление якорной цепи (допуская, что они постоянны); C_e — электрическая постоянная; $u_{\text{дв}}$ — напряжение, подводимое к двигателю.

Влияние вихревых токов учитывается решением дифференциальных уравнений, составленных для двух индуктивно-связанных контуров (для контура, содержащего обмотку возбуждения, и контура вихревых токов):

$$u_{\text{в}} = i_{\text{в}} R_{\text{в}} + L_{\text{в}} \frac{di_{\text{в}}}{dt} - M \frac{di_{\text{вт}}}{dt}; \quad (4)$$

$$0 = i_{\text{вт}} R_{\text{вт}} + L_{\text{вт}} \frac{di_{\text{вт}}}{dt} - M \frac{di_{\text{в}}}{dt}, \quad (5)$$

где $i_{\text{в}}$, $i_{\text{вт}}$ — ток обмотки возбуждения и эквивалентный вихревой ток соответственно; $L_{\text{в}}$, $R_{\text{в}}$, $L_{\text{вт}}$, $R_{\text{вт}}$ — параметры обмотки возбуждения и контура вихревых токов.

Решение этих уравнений в операторной форме дает выражения [3]

$$I_{\text{в}}(p) = \frac{U_{\text{в}}(p)}{R_{\text{в}}} \cdot \frac{pT_{\text{вт}} + 1}{p(T_{\text{в}} + T_{\text{вт}}) + 1}; \quad (6)$$

$$\Phi(p) = I_{\text{в}}(p) \frac{K_{\Phi}}{pT_{\text{вт}} + 1}, \quad (7)$$

где $T_{\text{в}}$ — постоянная времени цепи возбуждения ($T_{\text{в}} = L_{\text{в}}/R_{\text{в}}$); $T_{\text{вт}}$ — постоянная времени цепи вихревых токов, при шихтованных станинах $T_{\text{вт}} = (0,2-0,3)T_{\text{в}}$ [3]; $K_{\Phi} = \Delta\Phi/\Delta I$ — дифференциальная нелинейная зависимость потока от тока возбуждения.

Так как в моторном режиме ток возбуждения равен якорному току, уравнение (3) с учетом (7) примет вид в операторной форме:

$$\begin{aligned} I_{\text{я}}(p)R_{\text{я}}(pT_{\text{я}} + 1) = \\ = U_{\text{дв.}}(p) - \frac{C_e K_{\Phi} V}{pT_{\text{вт}} + 1} I_{\text{я}}, \end{aligned} \quad (8)$$

где $T_{\text{я}} = L_{\text{я}}/R_{\text{я}}$.

Считая в соответствии с уравнением (2) входным сигналом $U_{\text{дв.}}(p)$, а выходным сигналом $I_{\text{я}}(p)$, передаточную функцию якорной цепи можно записать исходя из уравнения (8)

$$W_{\text{я}}(p) = \frac{1}{R_{\text{я}}(pT_{\text{я}} + 1) + \frac{C_e K_{\Phi} V}{pT_{\text{вт}} + 1}}. \quad (9)$$

В статическом режиме производные равны нулю, то есть переменные p можно приравнять нулю. Тогда получится статический коэффициент усиления:

$$K_{\text{ст.}} = \frac{1}{R_{\text{я}} + C_e K_{\Phi} V}. \quad (10)$$

Правильность полученного выражения подтверждается классическими формулами электрической тяги.

Наличие в знаменателях уравнений (9), (10) параметра V говорит о том, что статический коэффициент усиления зависит от скорости движения: с увеличением скорости коэффициент уменьшается.

Изменение статического коэффициента усиления применительно к тяговому приводу, например, метрополитена можно определить достаточно простым способом, не прибегая даже к характеристикам магнитной цепи.

При $V = 0$, $R_{\Omega} = 0,27 \text{ Ом}$, $K_{\text{СТ}} = 1/K_{\Omega} = 3,7 \text{ Ом}^{-1}$. При $V = V_{\text{гр}}$ ($V_{\text{гр}}$ — граничное значение скорости движения, при котором совершается переход на естественную характеристику), $I_{\text{я}} = I_{\text{н}} = 200 \text{ А}$, $U_{\text{дв.}} = U_{\text{н}} = 850 \text{ В}$, $K_{\text{СТ}} = \Delta I / \Delta U = 200 / 850 = 0,25 \text{ Ом}^{-1}$. Коэффициент изменяется почти в 15 раз.

В тормозном режиме в зоне высоких скоростей входной величиной является ЭДС двигателя, сетевое же напряжение остается без изменения. В свою очередь, ЭДС зависит от магнитного потока, а магнитный поток от тока возбуждения. Поэтому линеаризованная зависимость тока от якоря от тока возбуждения для малых отклонений будет иметь вид

$$I_{\text{я}}(p)(pT_{\Omega} + 1)R_{\Omega} = \frac{U_{\text{дв.}}(p)K_{\Phi}V}{pT_{\text{ВТ}} + 1}I_{\text{в.}} \quad (11)$$

Заменив ток возбуждения его значением, согласно выражению из уравнения (6), получим:

$$I_{\text{я}}(p)(pT_{\Omega} + 1)R_{\Omega} = \frac{U_{\text{дв.}}(p)K_{\Phi}V}{R_{\text{В}}} \frac{1}{p(T_{\text{В}} + T_{\text{ВТ}}) + 1}. \quad (12)$$

Тогда передаточная функция якорной цепи в тормозном режиме, если считать за входной сигнал напряже-

ние, прикладываемое к обмотке возбуждения, будет иметь вид

$$W_{\text{я}}(p) = \frac{C_{\text{т}}K_{\Phi}V}{R_{\text{В}}R_{\Omega}} \times \frac{1}{(pT_{\Omega} + 1)[p(T_{\text{В}} + T_{\text{ВТ}}) + 1]}, \quad (13)$$

$$K_{\text{СТ}} = \frac{C_{\text{т}}K_{\Phi}V}{R_{\text{В}}R_{\Omega}}. \quad (14)$$

Из этих выражений видно, что статический коэффициент уже пропорционален скорости движения.

В режиме торможения в зоне низких скоростей ток возбуждения поддерживается на неизменном уровне. Здесь

$$I_{\text{я}}(p)(pT_{\Omega} + 1)R_{\Omega} = U_{\text{дв.}}(p) - C_{\text{е}}\Phi V. \quad (15)$$

Входной величиной является ЭДС двигателя $E_{\text{дв.}}(p) = C_{\text{е}}\Phi V$, поэтому имеем линеаризованное уравнение для малых отклонений

$$I_{\text{я}}(p) = \frac{E_{\text{дв.}}(p)}{R_{\Omega}(pT_{\Omega} + 1)} \quad (16)$$

и передаточную функцию

$$W_{\text{я}}(p) = \frac{1}{R_{\Omega}(pT_{\Omega} + 1)}. \quad (17)$$

Для определения передаточной функции регулятора и его структуры в контуре регулирования тока якоря в режиме тяги воспользуемся принципиальной схемой (рис. 2) и функциональной схемой (рис. 3) привода. Исходя из этого можно записать передаточную функцию объекта регулирования без учета внутренней обратной связи по ЭДС и изменения коэффициента усиления. Исключение обратной связи по ЭДС возможно ввиду большой инерционности тягового привода с массой подвижного состава:

$$G_0(p) = \frac{K_{\text{тир}} K_{\text{дтл}}}{R_3(pT_y + 1)(pT_\mu + 1)(pT_\Sigma + 1)}, \quad (18)$$

где $K_{\text{тир}}$ — коэффициент усиления тиристорного регулятора со схемой импульсного управления ($K_{\text{тир}} = \Delta U_{\text{дтл}} / \Delta U_{\text{рег}} \cong 800/8 = 100$); $K_{\text{дтл}}$ — коэффициент передачи датчика тока якоря; T_y , T_μ — постоянные времени, устройства импульсного управления и тиристорного регулятора ($T_y = 0$) соответственно, в данном случае малые постоянные времени, не компенсируемые регулятором.

Без учета малых постоянных (T_y, T_μ) уравнение (18) примет вид

$$G_0(p) = \frac{K_{\text{тир}} K_{\text{дтл}}}{R_3(pT_\Sigma + 1)}. \quad (19)$$

Тогда, согласно уравнению (1), регулятор должен иметь передаточную функцию:

$$G_{\text{ртя}}(p) = K_{\text{ртя}} \frac{pT_\Sigma + 1}{p}, \quad (20)$$

где $K_{\text{ртя}} = R_3 / K_{\text{тир}} K_{\text{дтл}} b \sigma$.

Это пропорционально-интегральный регулятор. Такую передаточную функцию имеет и операционный усилитель с соответствующей обратной связью (рис. 3), если $Z_1(p) = R_{\text{ос}}$, $Z_0(p) = 1/pC_0$, то

$$W(p) = \frac{Z_0(p)}{Z_1(p)} = \frac{pR_0C_0 + 1}{pR_1C_0}. \quad (21)$$

Это значит, что должно быть

$$K_{\text{ртя}} = \frac{1}{R_{\text{ос}}C_0}, \quad T_\Sigma = C_0R_0. \quad (22)$$

Замкнутый контур регулирования с таким регулятором по отношению к выходу датчика тока якоря будет иметь вид

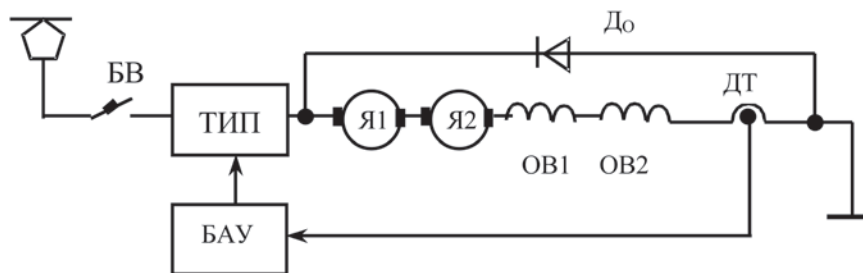


Рис. 2. Принципиальная схема тягового привода

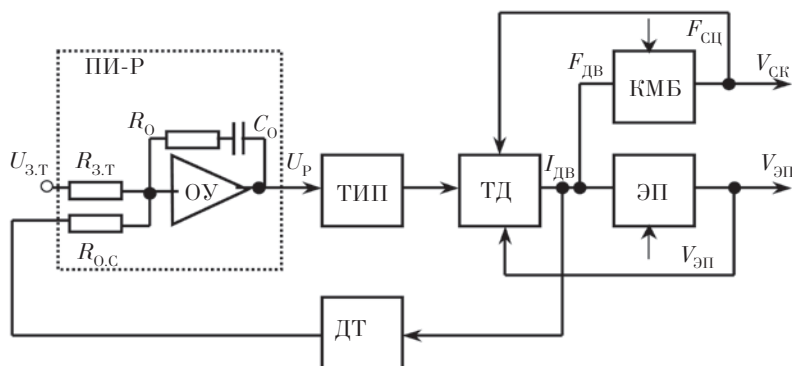


Рис. 3. Функциональная схема тягового режима в моторном режиме

$$G_3(p) = \frac{1}{pb\sigma + 1}. \quad (23)$$

Так как в этом уравнении имеется только малая постоянная времени ($b\sigma$), то быстродействие системы приближается к быстродействию тиристорного регулятора ($\sigma = T_\mu$).

В тормозном режиме из-за четырехзонного способа регулирования (см. рис. 1) составляется несколько функциональных и, соответственно, структурных схем. Наиболее простой схемой обладает тяговый привод в зоне скоростей ниже критической, где система распадается на два независимых контура регулирования — на контур регулирования тока якоря и контур стабилизации тока возбуждения независимо от тока якоря.

Как в моторном режиме, регулировочная характеристика тиристорного регулятора линейна. Поэтому, считая ТИР непрерывным звеном и отбрасывая внутреннюю обратную связь по ЭДС якоря из-за малости приращения скорости в интервале регулирования, составляется структурная схема регулирования, аналогичная контуру регулирования в тормозном режиме. Поэтому передаточная функция регулятора может быть принята такой же, как в моторном режиме (уравнение (20)).

Здесь реализуется независимое возбуждение двигателя в силу особенностей тиристорного регулятора. Передаточная функция цепи возбуждения с учетом влияния вихревых токов на основании уравнения (6) имеет вид

$$G_{ов}(p) = \frac{K_{тирв} K_{дтв} (pT_{вт} + 1)}{R_B [p(T_B + T_{вт}) + 1]}, \quad (24)$$

где $K_{тирв}$ — коэффициент усиления ТИР с системой управления по каналу регулирования тока возбуждения; $K_{дтв}$ — коэффициент передачи датчика тока возбуждения (реально $K_{дтв} = K_{дтя}$).

Задачей контура регулирования тока возбуждения является поддержание магнитного потока. В переходных режимах магнитный поток отстает при своем изменении от тока возбуждения из-за вихревых токов. Но ток возбуждения имеет форсировку по той же причине и компенсирует отставание магнитного потока. Эта форсировка определяется членом $(pT_{вт} + 1)$ в уравнении (24).

Очевидно, если необходимо регулировать только ток возбуждения как таковой, то этот член должен быть скомпенсирован регулятором. В данном случае задачей регулирования является поддержание магнитного потока, поэтому член $(pT_{вт} + 1)$ компенсации не подлежит. Тогда в цепь обратной связи (в цепь датчика тока возбуждения) необходимо включить звено с функцией, обратной рассматриваемому, $1/(pT_{вт} + 1)$. А это есть функция фильтрующего звена:

$$G_\phi(p) = \frac{1}{pT_{вт} + 1}. \quad (25)$$

Передаточная функция регулятора возбуждения с учетом полученных выражений может быть записана в виде

$$G_{рв}(p) = \frac{R_B}{K_{тирв} K_{дтв} b\sigma} \times \frac{[p(T_B + T_{вт}) + 1]}{p}, \quad (26)$$

где $b\sigma$ — малая постоянная того же порядка, что и в контуре регулирования тока якоря.

Для дальнейших рассуждений понадобится передаточная функция замкнутого контура регулирования тока возбуждения. По отношению к выходу датчика тока она определяется выражением, аналогичным уравнению (23). По отношению к самому току, то есть к управляемой величине, в общем случае имеем [1]:

$$W(p) = \frac{W_1(p)}{1 + W_1(p)W_2(p)}, \quad (27)$$

где $W_1(p)$ — передаточная функция в цепи прямой связи; $W_2(p)$ — то же в цепи обратной связи.

Имея ввиду под $W_1(p)$ произведение функции регулятора $G_{РТЯ}(p)$ и объекта регулирования $G_{ОР}(p)$, а под $W_2(p)$ — функцию датчика с фильтром, получим передаточную функцию по отношению к току возбуждения:

$$G_{ЗВ}(p) = \frac{pT_{ВТ} + 1}{(pb\sigma + 1)K_{ДТВ}}. \quad (28)$$

Согласно [3], передаточная функция двигателя по отношению к ЭДС:

$$W_E(p) = K_\Phi V / (pT_{ВТ} + 1).$$

С учетом этого получим передаточную функцию контура регулирования тока возбуждения по отношению к ЭДС:

$$G_E(p) = \frac{C_e K_\Phi V}{K_{ДТВ}} \frac{1}{(pb\sigma + 1)}. \quad (29)$$

В зоне высоких скоростей регулирование по цепи якоря не производится. На ток якоря воздействует регулирование тока возбуждения. Здесь возможны два варианта регулирования: по одноконтурной и двухконтурной схемам. По одно-

контурной схеме контролируется только ток якоря. В этом случае объект регулирования имеет передаточную функцию

$$G_o(p) = \frac{K_{ТИРВ} K_{ДТЯ} \frac{C_e K_\Phi V}{R_\Sigma R_B}}{[p(T_B + T_{ВТ}) + 1](pT_{ВТ} + 1)}. \quad (30)$$

Это выражение имеет смысл только при постоянных значениях K_Φ и V . Тем не менее может быть получена передаточная функция регулятора в одноконтурной схеме

$$G_o(p) = \frac{[p(T_B + T_{ВТ}) + 1](pT_{ВТ} + 1)}{K_{ТИРВ} K_{ДТЯ} \frac{C_e K_\Phi V}{R_\Sigma R_B}} \frac{1}{b\sigma}, \quad (31)$$

чему соответствует схема ПИД-регулятора, оптимизированного для какого-то частного случая и чрезвычайно сложного в настройке для всех режимов.

Принципиальная схема двухконтурного регулирования показана на рис. 4. В этой схеме имеется два регулятора — регулятор тока якоря (РТЯ), регулятор тока возбуждения (ДТВ) и два соответствующих датчика тока. Уставка для регулятора тока якоря задается через контроллер машиниста, а уставкой регулятора тока возбуждения является выходное напряжение регулятора тока якоря. Структурная схема для этого случая представлена на рис. 5.

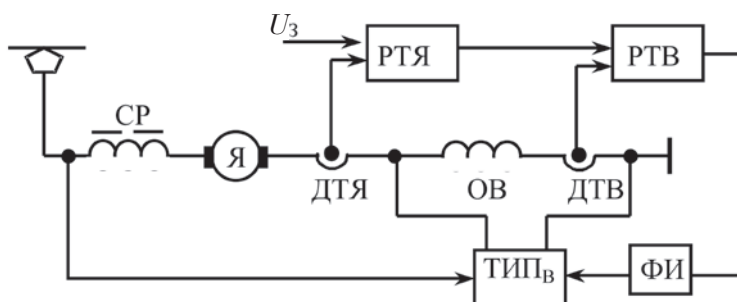


Рис. 4. Принципиальная схема регулирования в тормозном режиме

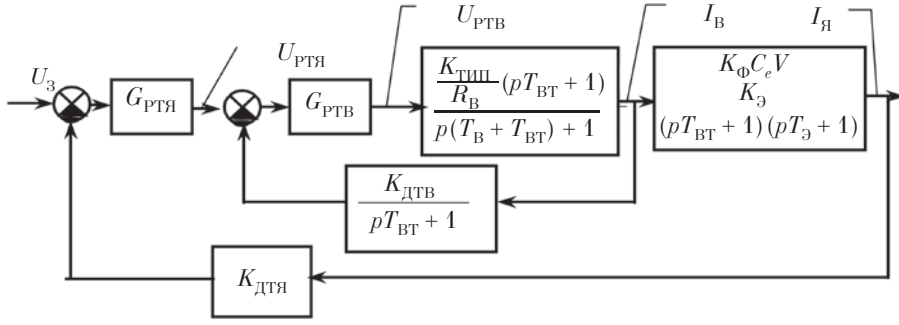


Рис. 5. Структурная схема тормозного режима

Контур регулирования тока возбуждения в этом случае является внутренним контуром и ничем не отличается от контура регулирования в зоне низких скоростей. Следовательно, и регулятор имеет ту же передаточную функцию. В замкнутом виде этот контур служит звеном, входящим во внешний контур с передаточной функцией

$$G_{зв}(p) = \frac{pT_{БТ} + 1}{(pb\sigma + 1)K_{ДТВ}} \frac{R_T}{R_{зт}}, \quad (32)$$

где $R_T, R_{зт}$ — входные сопротивления по каналам датчика тока и задания.

При последовательном соединении этого звена и звена, учитывающего влияние тока возбуждения на ЭДС, а в конечном счете, и на ток якоря, множители $(pT_{БТ} + 1)$ сокращаются, и тогда передаточная функция объекта регулирования для регулятора тока якоря будет иметь вид

$$G_{ов}(p) = \frac{C_e K_\Phi V K_{ДТЯ}}{R_\varepsilon R_\Phi K_{ДТВ}} \frac{R_T}{R_{зт}} \quad (33)$$

или без учета малых постоянных времени

$$G_{ов}(p) = \frac{C_e K_\Phi V K_{ДТЯ}}{R_\varepsilon R_\Phi K_{ДТВ}} \frac{R_T}{R_{зт}}. \quad (34)$$

Исходя из этого в соответствии с выражением (1)

$$G_{о.в}(p) = \frac{pT_\varepsilon + 1}{p b \sigma' \frac{C_e K_\Phi V K_{ДТЯ} R_T}{R_\varepsilon K_{ДТВ} R_{зт}}}, \quad (35)$$

где σ' — сумма всех малых постоянных времени ($\sigma' = 2\sigma$).

Сравнение двух рассмотренных вариантов при торможении в зоне высоких скоростей показывает, что регулятор в двухконтурной схеме проще и имеет структуру ПИ-регулятора, а в одноконтурной схеме требуется более сложный в наладке ПИД-регулятор. Поэтому предпочтительнее использование двухконтурной схемы, у которой к тому же структура регулятора тока якоря совпадает со структурой регулятора в других режимах.

Анализ передаточной функции регулятора тока якоря при торможении в зоне высоких скоростей показывает, что коэффициент усиления зависит от скорости движения и от нелинейного коэффициента магнитной цепи K_Φ . В пределах малых отклонений при конкретных значениях этих коэффициентов обеспечивается устойчивость регулирования и надлежащее качество процессов регулирования, так как нелинейная характеристика магнитной цепи K_Φ не имеет падающего участка. Расчеты показывают, что в целом коэффициент усиления

регулятора с изменением скорости в зоне высоких скоростей должен изменяться до ста раз. Если, например, настроить регулятор на оптимальное быстродействие и качество для верхней границы зоны, то на нижней границе быстродействия будет недостаточно для реакции на броски напряжения в питающей сети.

При использовании электровоза на таких работах, как раскатка кабеля, при движении поезда-пылесоса при очистке тоннеля возникает задача поддержания постоянной скорости. Передаточная функция инерционной массы поезда определяется на основании закона Ньютона:

$$F - w = m(1 + \gamma) \frac{dv}{dt}, \quad (36)$$

где F — сила тяги; w — сила сопротивления, в данном случае пропорциональная скорости движения.

Переходя к операторной форме, получим

$$C_f \Phi I_{\text{я}}(p) = V(p) p m (1 + \gamma) + K_v V(p), \quad (37)$$

$$C_f \Phi I_{\text{я}}(p) = V(p) [p m (1 + \gamma) + K_v], \quad (38)$$

$$V(p) = I_{\text{я}}(p) \frac{C_f \Phi}{p m (1 + \gamma) + K_v}, \quad (39)$$

$$V(p) = I_{\text{я}}(p) \frac{C_f \Phi}{K_v} \frac{1}{p T_m + 1}. \quad (40)$$

Тогда передаточная функция инерционной массы имеет вид

$$W_m(p) = \frac{C_f \Phi}{K_v} \frac{1}{p T_m + 1}. \quad (41)$$

Передаточная функция регулятора скорости подвижного состава определяется на основании выражения (1):

$$G_m(p) = \frac{K_v}{C_f \Phi} \frac{p T_m + 1}{p b \sigma}. \quad (42)$$

Это есть функция ПИ-регулятора.

На основе рассмотренного анализа авторами была разработана система управления тиристорным тяговым приводом [4] для такого уникального объекта, как поезд-пылесос, проработавший успешно около года на Ленинградском метрополитене, и аккумуляторного электровоза [1]. Рассмотрение конкретного исполнения полученной системы управления выходит за пределы данной статьи. Сами регуляторы и вспомогательные элементы реализованы на операционных усилителях, и все переходы из режима в режим происходят автоматически. Блок управления после изготовления и в процессе эксплуатации не потребовал настройки и наладки.

К настоящему времени элементная база устарела. На смену аналоговым элементам пришли микроконтроллеры, работающие в цифровой форме. Несмотря на это, все рассуждения по авторегулированию остаются в силе, но появилась проблема перевода процесса управления в цифровую форму с соответствующим программным обеспечением. ■

Литература

1. Сулейманов Р. Я. Аккумуляторный электровоз для метрополитена // Транспорт Урала, № 2, 2005. — С. 52–55. ISSN 1815–9400.
2. Теория автоматического управления / Под ред. А. В. Нетушила. — М. : Высшая школа, 1968. — 422 с.
3. Лебедев Е. Д. и др. Управление вентильными электроприводами постоянного тока. М. : Энергия, 1970.
4. А. с. № 1332508. Устройство для управления тяговым электроприводом.

Статья сдана в редакцию 18.02.2010 г.

А. П. Буйносов

Влияние шероховатости посадочных поверхностей на надежность соединения «бандаж–обод»

Ослабление посадки бандажа на ободе колесного центра с последующим его проворотом по поверхности обода — это одна из наиболее опасных неисправностей локомотива. Необходимость же замены колесной пары приводит к длительному простоя локомотива и увеличивает эксплуатационные расходы.

Статистика показывает, что более 6 % всех эксплуатируемых бандажей выходит из строя вследствие ослабления посадки. Ослабление посадки бандажа свидетельствует о недостаточной прочности соединения с колесным центром. Малая прочность соединения может быть вызвана неправильным выбором натяга, неудовлетворительным качеством металла, плохой обработкой сопрягаемых поверхностей (шероховатость, овальность, конусность) или возникновением экстремальных нагрузжений в эксплуатации [1, 2].

Совершенствование конструкции составных колес — это, в первую очередь, гарантия прочности посадки бандажа на центре колеса. Но болтовой, заклепочный, сварной и другие способы крепления бандажей не эффективны [2–4].

Для плотного прилегания бандажа к центру колеса необходимо, чтобы сопрягаемые поверхности имели круговую цилиндрическую форму и установленную чистоту посадочных поверхностей. Овальность, ко-

нусность, волнистость и другие отклонения от круговой цилиндрической формы неблагоприятно сказываются на прочности посадки, и технологический процесс обработки этих деталей должен исключать возможность появления таких дефектов [3, 4].

Конечно, поверхность деталей никогда не бывает абсолютно гладкой — всегда есть микроскопические неровности, образующие шероховатость. Мерой шероховатости служит класс чистоты обработки поверхности. Инструкцией по формированию и содержанию колесных пар установлена шероховатость посадочных поверхностей $R_z \leq 20$ мкм, что соответствует 5-му классу чистоты [5].

Одной из причин несоответствия шероховатости обработанных поверхностей техническим требованиям является отсутствие контроля шероховатости поверхностей бандажа и колесного центра.

Применяемый в настоящее время визуальный (субъективный) способ оценки, основанный на сравнении обработанной поверхности с эталонами шероховатости (ГОСТ 2789–98), не обеспечивает надлежащего качества контроля [4].

Достоверные результаты дает способ определения класса чистоты (шероховатости) при помощи прибора, разработанного автором.

Принцип работы прибора: контролируемая поверхность сканируется

перемещающейся вдоль нее алмазной иглой, которая, огибая вершины и впадины микронеровностей, передает свои колебания стрелке, отражающей на циферблате их величину. Такой способ позволяет объективно определить класс чистоты обработанной поверхности и ее соответствие требованиям «Инструкции по формированию и содержанию колесных пар» [5].

Класс чистоты обработки каждого из 414 бандажей перед насадкой на колесный центр определяли двумя способами: а) существующим (сравнение обработанной поверхности с эталоном) и б) с помощью предлагаемого автором прибора. Если результаты оценки шероховатости двумя способами совпадали (соответствовали 5-му классу чистоты), то бандажи относили к группе А. В этой группе, состоящей из $N_A = 108$ бандажей, наблюдения проводились до пробега $l_A = 460 \cdot 10^3$ км. За этот период вышел из строя $n_A = 21$ бандаж, из которых 7 были с ослаблениями, а 14 — с проворотом. Если по оценке существующим способом шероховатость поверхности соответствовала 5-му классу чистоты, а оценка предлагаемым способом не подтверждала его и показывала, что шероховатость соответствует 3-му или 4-му классу чистоты,

то такие бандажи были объединены в группу Б. Всего в группе Б оказалось $N_B = 306$ бандажей. Наблюдения за бандажами из этой группы проводили до пробега $l_B = 380 \cdot 10^3$ км. За этот период отказали $n_B = 68$ бандажей (с ослаблением — 12, с проворотом — 56). Класс чистоты обработки посадочных поверхностей колесных центров соответствовал требованиям инструкции ЦТ/329 [5].

Для определения интенсивности отказов λ полученный статистический материал в каждой группе был разбит по K интервалам пробега (наработки) шириной $\Delta l = 20 \cdot 10^3$ км и сведен в таблицу 1, где Δn — число ослаблений (отказов) бандажей на i -м интервале ($i = 1, 2, 3, \dots, K$):

$$\lambda = \frac{\Delta n}{m \Delta l} = \frac{\Delta n}{(N - \sum_{j=1}^{i-1} \Delta n_j) \Delta l}, \quad (1)$$

$$j < i, j = 1, 2, \dots, K - 1,$$

где m — число бандажей, работоспособных к началу i -го интервала.

Анализ отказов бандажей колесных пар показывает, что с увеличением наработки от формирования (от начала эксплуатации) интенсивность отказов возрастает по мере уменьшения толщины бандажей (рис. 1 и 2).

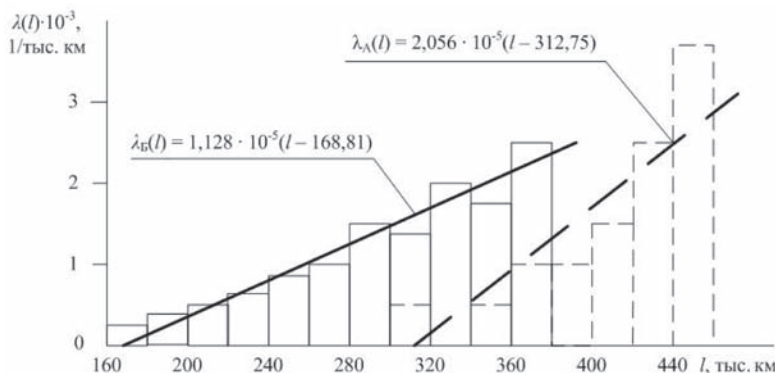


Рис. 1. Интенсивности отказов (ослаблений и проворотов) бандажей колесных пар двух групп

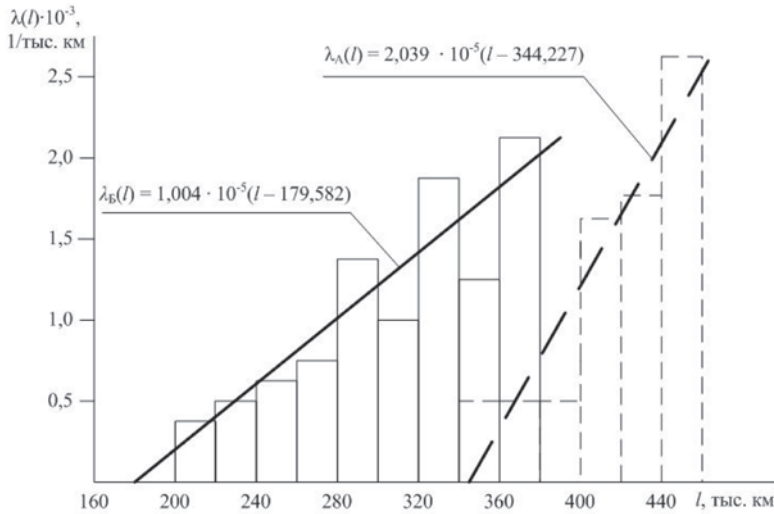


Рис. 2. Интенсивность проворотов бандажей колесных пар двух групп

Для подтверждения этого зависимости $\lambda(l)$ были аппроксимированы методом наименьших квадратов различными видами функций [6]. Минимальные значения остаточных дисперсий получены в случае аппроксимации зависимостей линейными функциями вида

$$\lambda(l) = a(l + b), \quad (2)$$

где l — пробег до ослабления или проворота; λ — интенсивность отказов бандажей колесных пар.

Значения коэффициентов a , b и коэффициентов корреляции $r_{\lambda l}$ близ-

ки к единице. Это свидетельствует об адекватности линейной аппроксимации, то есть интенсивность отказов (ослаблений и проворотов) и величина пробега тесно связаны (таблица 1).

Из построенных диаграмм интенсивности отказов (см. рис. 1 и 2) для двух групп бандажей видно, что $\lambda_A(l)$ бандажей, обработка которых соответствует 5-му классу чистоты, лежит в области больших пробегов, чем $\lambda_B(l)$ бандажей с 3-м или 4-м классом чистоты обработки поверхностей. Это позволяет сделать предположение о преимуществе использования разработанного прибора.

Таблица 1

Коэффициенты уравнений регрессий интенсивности отказов и проворотов бандажей колесных пар

Контролируемый параметр	Группа	Коэффициенты уравнения регрессии		Коэффициент корреляции, $r_{\lambda l}$	Остаточная дисперсия, $S_0^2, 10^{-8}/\text{тыс. км}^2$
		$a, 10^{-5}/\text{тыс. км}$	$b, \text{тыс. км}$		
Ослабления и провороты	А	2,056	-312,750	0,902	0,296
	Б	1,128	-168,811	0,969	4,197
Провороты	А	2,039	-344,227	0,916	0,116
	Б	1,004	-179,582	0,922	5,394

Вероятность безотказной работы бандажей в каждой из групп для наработки до l (вероятность того, что при наработке не произойдет внезапного отказа по причине его ослабления или проворота) определяется выражением

$$p(l) = \exp \left[- \int_0^l \lambda(l) dl \right], \quad (3)$$

причем предел интегрирования для бандажей группы А — l_A , а для группы Б — l_B . Функции распределения наработки до внезапного отказа бандажей колесных пар были определены из соотношения (рис. 3 и 4):

$$F(l) = 1 - P(l). \quad (4)$$

Эмпирические функции распределения определены не полностью — ко времени окончания наблюдения отказали не все бандажи колесных пар. Для проведения сравнительного анализа использован критерий Колмогорова–Смирнова, обобщенный на случай, когда границами изменения сравниваемых функций распределения является неравенство [6]:

$$0 \leq Q_1 < \hat{F}(l) \leq Q_2 < 1. \quad (5)$$

Для проверки однородности выборок наработок до отказа бандажей выдвигается гипотеза $H_0^{(2)}$ — соответствующие функции распределения равны между собой: $\hat{F}_A(l) = \hat{F}_B(l)$. Проверка гипотез осуществляется в такой по-

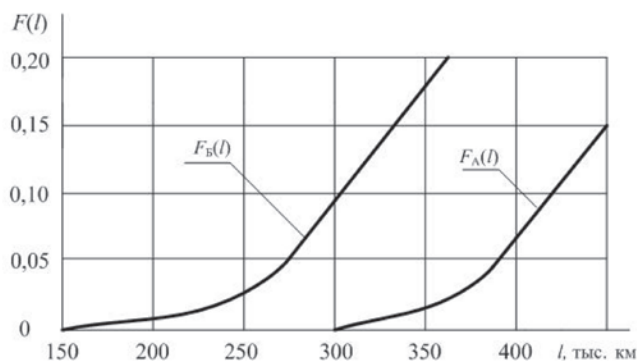


Рис. 3. Функции распределения наработок до отказа бандажей колесных пар двух групп

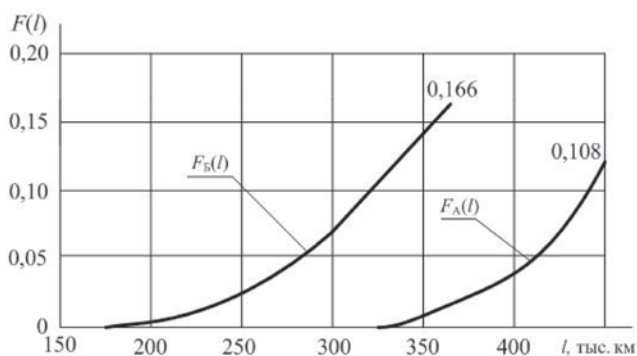


Рис. 4. Функции распределения наработок до проворота бандажей колесных пар двух групп

следовательности. Строится график отклонений $|\hat{F}_A(l) - \hat{F}_B(l)| = |\Delta \hat{F}(l)|$ сравниваемых эмпирических функций распределения, так как постоянно изменяются объемы выборок, находящихся под наблюдением бандажей $N_A(l)$ и $N_B(l)$. Если график $|\Delta \hat{F}(l)|$ хотя бы один раз выходит за критическую область, ограниченную графиком $\lambda [N_A(l) N_B(l) / (N_A(l) + N_B(l))]^{-0.5}$, то гипотеза $H_0^{(2)}$ о равенстве функций распределения однородности соответствующих выборок при уровне значимости $\alpha = 0,05$ отвергается. Величина λ определяется решением уравнения [7]

$$\alpha = 1 - (Q_1; Q_2; \lambda). \quad (6)$$

Итак, при $\lambda = 0,91$ полученные функции распределения наработки до отказа бандажей колесных пар различны, причем $F(l)$ бандажей группы А лежит правее; различны также способы оценки определения класса чистоты посадочных поверхностей «бандаж–обод» колесных пар.

Для прогнозирования процесса изнашивания бандажей объединяем выборки в одну ($\Sigma n = 734$), тогда для $m_H(L)$ имеем: $H = 0,0618 \cdot L + 96,915$ с коэффициентом корреляции $r_{HL} = -0,928$ и остаточной дисперсией $S_0^2 = 2,156$ мм, а для $\sigma_H(L) : \sigma_H = -0,013 \cdot L + 1,131$. Этой регрессии соответствуют остаточная дисперсия

$S_0^2 = 0,022$ мм² и коэффициент корреляции $r_{HL} = -0,834$.

На основании зависимостей $m_H(L)$ и $\sigma_H(L)$ можно рассчитать функцию распределения наработки до постепенного отказа (рис. 5).

Вероятность безотказной работы бандажей колесных пар определим соотношением

$$P_\Sigma(l) = P_1(l) P_2(l), \quad (7)$$

где $P_2(l)$ — вероятность того, что до наработки l не произойдет внезапный отказ бандажа; эта вероятность определяется выражением (3); $P_1(l)$ — вероятность того, что при наработке не возникнет постепенного отказа бандажа, $P_1(l) = 1 - F_1(l)$:

$$P_1(l) = \frac{1}{\sigma_H(l) \sqrt{2\pi}} \int_{H-3\sigma_H}^{H_{доп.}} \times \exp \left\{ -\frac{[H - m_H(l)]^2}{2\sigma_H^2(l)} \right\} dH. \quad (8)$$

Тогда функция распределения ресурса бандажей:

$$F_\Sigma(l) = 1 - P_\Sigma(l). \quad (9)$$

По известной функции (9) распределения ресурса бандажей определяется плотность распределения как ее первая производная:

$$f_\Sigma(l) = F'_\Sigma(l). \quad (10)$$

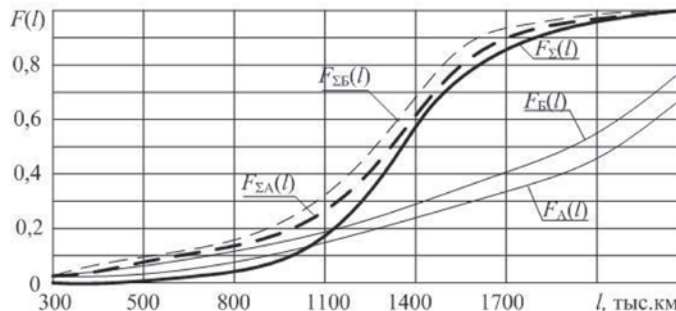


Рис. 5. Функции распределения наработок на отказ бандажей групп А и Б

Статистическая оценка плотности распределения:

$$f^*(l) = \frac{F_{\Sigma}(l_{i+1}) - F_{\Sigma}(l_i)}{\Delta l}. \quad (11)$$

В качестве целевой функции при определении оптимального пробега L до смены бандажей группы А и Б выбраны удельные затраты на проведение плановых и неплановых ремонтов [4]:

$$q(l) = \frac{C_{\text{н}}}{L} \int_0^l \omega_{\Sigma}(l) dl + \frac{C_{\text{п}}}{L}, \quad (12)$$

где $\omega_{\Sigma}(l)$ — функция суммарного потока отказов, обусловленная износом и повреждением колесных пар; $C_{\text{н}}$ и $C_{\text{п}}$ — затраты на неплановые и плановые смены бандажей соответственно.

Суммарный параметр потока отказов бандажей колесных пар определяется решением интегрального уравнения Вольтера 2-го рода [4]:

$$\omega_{\Sigma}(l) = f(l) + \int_0^l \omega(\tau) f(l - \tau) d\tau. \quad (13)$$

Это уравнение не всегда удается решить аналитически. Если существуют преобразования Лапласа $\omega(S)$ и $f(S)$, то в операторной форме параметр потока отказов и функция плотности распределения наработки на отказ выражается следующим образом:

$$\omega_S = \frac{f(S)}{1 - f(S)}; f(S) = \frac{\omega(S)}{1 + \omega(S)}; \quad (14)$$

$$\omega(S) = \int_0^{\infty} e^{-Sl} \omega(l) dl; f(S) = \int_0^{\infty} e^{-Sl} f(l) dl. \quad (15)$$

Уравнение (14) целесообразно интегрировать численными методами с использованием ЭВМ. При этом как до, так и после выполнения расчетов функции $\omega(l)$ и $f(l)$ оказыва-

ются заданными в виде дискретного ряда ω_i и f_i ($i = 1, \dots, n$).

Введем обозначения для интегральной функции:

$$F(l, \lambda) = \omega(\lambda) f(l - \lambda). \quad (16)$$

В дискретной форме после замены переменной l на n , а λ на i выражение (16) записывается в виде

$$F(n, i) = \omega(i) f(n - i). \quad (17)$$

При $n = 0$ из уравнения (13) получаем $\omega_0 = f_0$. Если $n = 1$, то, применяя численный метод интегрирования трапеций [9], получим:

$$\int_0^l \omega(\lambda) f(l - \lambda) d\lambda = \frac{h(\omega_0 f_1 + \omega_1 f_0)}{2}, \quad (18)$$

где h — шаг интегрирования.

Тогда решение уравнения (13) записывается в виде

$$\omega_1 = f_1 + h \frac{\omega_0 f_1 + \omega_1 f_0}{2}. \quad (19)$$

В общем случае, для произвольного значения n , имеем

$$\begin{aligned} \int_0^l \omega(l) f(l - \lambda) d\lambda = \\ = h \left[\frac{(\omega_0 f_n + \omega_1 f_{n-1}) + \dots}{\dots + (\omega_{n-1} f_1 + \omega_n f_0)} \right] / 2. \end{aligned} \quad (20)$$

Из выражения (20) получаем

$$\omega_n = f_n + h \frac{\omega_0 f_n + 2 \cdot \omega_1 f_{n-1} + 2 \cdot \omega_2 f_{n-2} + \dots}{2}. \quad (21)$$

или

$$\omega_n = f_n + h \frac{\omega_0 f_n + 2 \sum_{i=1}^{n-1} \omega_i f_{n-i} + \omega_n f_0}{2}. \quad (22)$$

Таким образом, имеем следующую систему уравнений:

$$\left\{ \begin{array}{l} \omega_0 = f_0; \\ \omega_1 = f_1 + h \frac{\omega_0 f_1 + \omega_1 f_0}{2}; \\ \omega_2 = f_2 + h \frac{\omega_0 f_2 + 2 \cdot \omega_1 f_1 + \omega_2 f_0}{2}; \\ \dots \\ \omega_n = f_n + h \frac{\omega_0 f_n + 2 \cdot \sum_{i=1}^{n-1} \omega_i f_{n-1} + \omega_n f_0}{2}. \end{array} \right. \quad (23)$$

Система уравнений (23) позволяет по известному дискретному ряду значений плотности распределения наработок на отказ f_i найти ряд значений параметра потока отказов ω_i :

$$\left\{ \begin{array}{l} \omega_0 = f_0; \\ \omega_1 = f_1 + h \frac{\omega_0 f_1}{1 - h f_1}; \\ \omega_2 = f_2 + 2 \cdot h \frac{\omega_0 f_2 + 2 \cdot \omega_1 f_1}{1 - h f_0}; \\ \dots \\ \omega_n = f_n + h \frac{\omega_0 f_n + 2 \cdot \sum_{i=1}^{n-1} \omega_i f_{n-1}}{1 - h f_0}. \end{array} \right. \quad (24)$$

Так как известен некоторые параметры потока отказов ω_i , то по системе уравнений (22) можно осуществить обратное решение интегрального уравнения (12) и определить значения плотности распределения f_i наработки на отказ:

$$\left\{ \begin{array}{l} f_0 = \omega_0; \\ f_1 = (\omega_1 - h \omega_1 f_0 / 2) / (1 + h \omega_0 / 2); \\ f_2 = (\omega_2 - h(2 \cdot \omega_1 f_1 + \omega_2 f_0) / 2) / (1 + h \omega_0 / 2); \\ \dots \\ f_n = (\omega_n(1 - h f_0 / 2) - h \sum_{i=1}^{n-1} \omega_i f_{n-1}) / (1 + h \omega_0 / 2). \end{array} \right. \quad (25)$$

Метод конечных разностей при расчете параметра потока отказов предпочтительней, особенно для случаев, когда вид закона распределения

наработки на отказ априори не известен, а определить его невозможно.

Алгоритм решения интегрального уравнения (13) численным методом представлен на рис. 6.

Оптимальный пробег до смены бандажей колесной пары напрямую зависит от соотношения затрат на проведение плановых C_{Π} и неплановых $C_{\text{Н}}$ ремонтов. Затраты на плановый ремонт C_{Π} включают в себя затраты на материалы C_1 , затраты на оплату труда C_2 и потери от простоя локомотива C_3 :

$$C_{\Pi} = C_1 + C_2 + C_3. \quad (26)$$

Затраты на неплановый ремонт $C_{\text{Н}}$ (кроме величин C_1, C_2, C_3) включают также потери C_4 , вызванные отказом локомотива в пути, и определяются:

$$C_{\text{Н}} = C_1 + C_2 + C_3 + C_4. \quad (27)$$

Таким образом $C_{\text{Н}} \geq C_{\Pi}$, причем $C_{\text{Н}} = C_{\Pi}$ только для тех элементов, отказы которых не вызывают задержек локомотивов.

В настоящее время нет методики оценки стоимости задержки поезда на перегоне, а если она есть, то далеко не полностью отражает ущерб, наносимый народному хозяйству такими отказами. Поэтому, хотя в локомотивных депо и имеется информация о времени задержек локомотивов на перегонах после отказа, нельзя достоверно оценить составляющую C_4 затрат на неплановые ремонты оборудования локомотивов, нельзя и рассчитать абсолютную величину средних суммарных затрат.

Однако, используя относительные величины $C_{\text{Н}}$ и C_{Π} , можно определить пробег между плановыми ремонтами L_0 , которому соответствует минимальное значение средних суммарных удельных затрат $q(L_0)$, то есть оптимальный пробег до смены бандажей колесных пар.

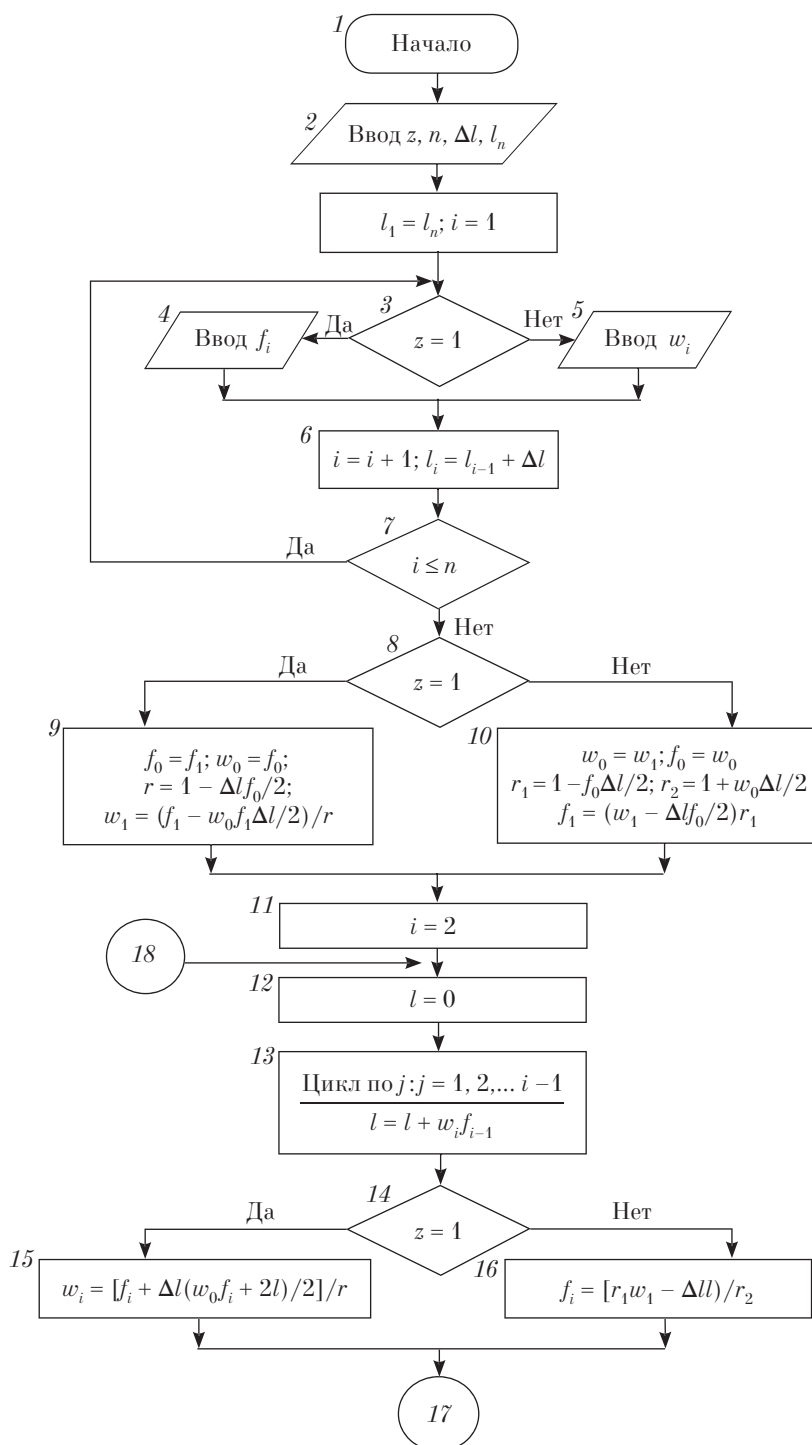
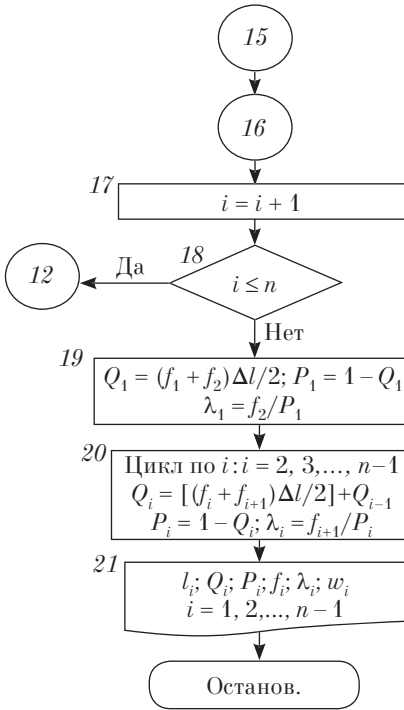


Рис. 6. Алгоритм программы решения интегрального уравнения



Продолжение рис. 6.

Обозначим отношение затрат на плановые и неплановые ремонты через K :

$$K = \frac{C_H}{C_{\Pi}}. \quad (28)$$

Так как $C_H \geq C_{\Pi}$, то $K \geq 1$.

Выразим C_H через K и C_{Π} и подставим в (13); получим:

$$q(L) = C_{\Pi} \frac{K \int_0^L \omega(\lambda) d\lambda + 1}{L}. \quad (29)$$

По физическому смыслу величина, стоящая в числителе дроби (29), — это суммарные затраты на проведение неплановых и плановых ремонтов, поэтому выражение в скобках представляет собой суммарное приведенное число ремонтов, то есть величина $K \int_0^L \omega(\lambda) d\lambda$ приводит суммарное число неплановых ремонтов $\int_0^L \omega(\lambda) d\lambda$ к эквивалентному по стоимости числу плановых ремонтов.

Суммарное удельное приведенное число ремонтов:

$$S(L) = \frac{K}{L} \int_0^L \omega(\lambda) d\lambda. \quad (30)$$

Так как C_{Π} — постоянная величина, то экстремумы функций $q(L)$ и $S(L)$ будут соответствовать одному и тому же значению L_0 . Зависимость от наработки суммарного удельного приведенного числа ремонтов бандажей колесных пар двух групп при различных соотношениях затрат на выполнение плановых и неплановых ремонтов ($K = 1, 2, 3$) приведена на рис. 7.

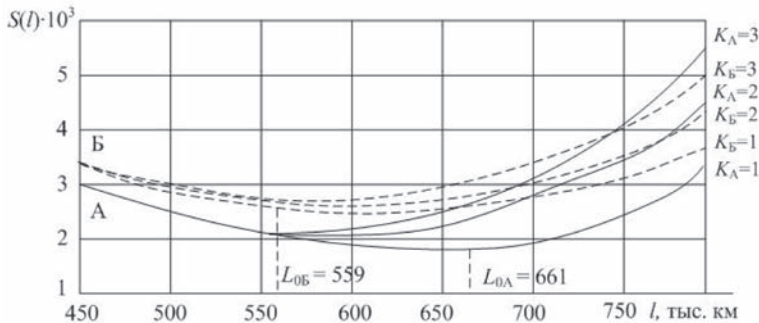


Рис. 7. Определение пробега до смены бандажей колесных пар

При $K = 1$ имеется минимальное значение затрат, которому соответствует оптимальный пробег до смены бандажей колесных пар группы А — 661 тыс. км, а группы Б — 559 тыс. км. Увеличение K сильно уменьшает L_0 . Так, при $K = 3$ бандажи колесных пар группы А имеют $L_{0A} = 638$ тыс. км, а группы Б — $L_{0B} = 537$ тыс. км.

Итак, оптимальный пробег до смены бандажей группы Б составляет 559 тыс. км, группы А — 661 тыс. км; оптимальный же пробег до замены

бандажа по предельному износу составляет 683 тыс. км. Следовательно, оценка шероховатости посадочных поверхностей с помощью предлагаемого прибора позволяет увеличить пробег до смены бандажей на 19%, что практически соответствует оптимальному ресурсу по предельному износу бандажей колесных пар. Общий вывод состоит в том, что оценка шероховатости посадочных поверхностей с помощью предлагаемого способа дает максимально точные результаты. ■

Литература

1. Исаев И. П., Горский А. В., Воробьев А. А., Буйносов А. П. Влияние шероховатости посадочных поверхностей на надежность сочленения «бандаж–обод» // Вестник ВНИИЖТ. 1991. № 1. С. 27–29.
2. Буйносов А. П. Определение натяга пары «бандаж–обод» с помощью ультразвуковых импульсов / А. П. Буйносов, К. А. Стаценко, Н. И. Сергеев // Екатеринбург: УрГУПС. Транспорт Урала. 2004. № 3 (3). С. 31–37. ISSN 1815–9400.
3. Хусу А. П., Витенберг Ю. Р., Пальмов В. А. Шероховатость поверхностей (теоретико-вероятностный подход). М. : Наука, 1975. 344 с.
4. Буйносов А. П. Повышение ресурса бандажей колесных пар электровозов в условиях эксплуатации: Дис. на соиск. научн. ст. ... канд. техн. наук. М., 1992. 336 с.
5. Инструкция по формированию, ремонту и содержанию колесных пар тягового подвижного состава железных дорог колеи 1520 мм: ЦТ/329. М. : Транспорт, 1995. 121 с.
6. Шторм Р. Теория вероятностей. Математическая статистика. Статистический контроль качества. М. : Мир, 1970. 368 с.
7. Закс Л. Статистическое оценивание. М. : Статистика, 1976. 599 с.
8. Кендалл М., Стьюарт А. Многомерный статистический анализ и временные ряды. М. : Наука, 1976. 736 с.
9. Шор Я. Б. Прикладные вопросы теории надежности. М. : Знание, 1966. 384 с.

Статья сдана в редакцию 10.12.2009 г.

ОРГАНИЗАЦИЯ ОБРАЗОВАТЕЛЬНОГО ПРОЦЕССА

E. Billiet, E. Smet

E-questionnaires, a stimulus for improvement projects

Introduction

In every well controlled process, it's necessary to gather relevant information on a regular basis to keep it «in control». The education process is no exception to this rule. Gathering information about the education process is one of the steps of the Deming cycle to maintain good practices and to improve weak aspects. At our university college, we have had more than ten years of experience in using questionnaires to get feedback from our students. Students have to fill out a questionnaire for every course (a course consists at least of 1 credit). When we first started using questionnaires, they were only available in a paper version and processing them took a lot of time. This was the main reason we decided some years ago to make use of the electronic learning platform of the university college. In this paper we will describe the way we are using this learning platform at the

moment and why we intend to switch to professional assessment management software.

Questionnaire

The main goal of the questionnaire we use is to get accurate information about the quality of the course we want to assess. In general, the questionnaire consists of five topics: content, coaching, evaluation, practice and workload. For every topic three or four statements are given and the student has to express how far he or she agrees using a scale from 1 («I strongly disagree») to 10 («I strongly agree»). The student can also indicate that he/she does not have an opinion on the matter.

The questionnaire also leaves room for 2 open questions: «What is a very strong point of the course that has to be kept in future?», «What is a very weak point that has to be improved?»

Сведения об авторах: **Биллет Эмиль (Billiet Emiel)** — д-р техн. наук, профессор каф. «Управление качеством» («Total quality management») Университета Карел де Гротте (Karel de Grote-Hogeschool), г. Антверпен, Бельгия. E-miel: billiet@kdg.be.

Смет Эрвин (Smet Erwin) — д-р техн. наук, профессор каф. «Управление качеством» («Total quality management») Университета Карел де Гротте (Karel de Grote-Hogeschool), г. Антверпен, Бельгия. E-miel: erwin.smet@kdg.be.

Table 1

Statements related to content

	1	2	3	4	5	6	7	8	9	10	No opinion
Overall, I judge the content of this activity («course») as «good»											
The content is logically and clearly structured											
The course material (books, presentations, notes, syllabus, ...) is adapted to the content of the course.											
The content of the course is in accordance with the presupposed goals of it.											

Procedure

Together with the rest of the staff, the head of a study program works out a plan to monitor one third of the courses during an academic year. He does this in such a way that within a time frame of three years, all courses are screened. If there is a new course or a problem linked to a specific course, he can increase the frequency for that particular course. A teacher may also request to have his course assessed. The vice-dean, who is responsible for the assessment process, collects the demands for assessment at the beginning of every academic year. Based on this information he plans the assessment for that academic year. An assessment for a certain course will only take place when all the activities (including the evaluation) are carried out. Only then can we get complete and accurate feedback from the students. It is of course also important not to wait too long after a course is finished. This makes it very difficult to find a good timeslot for organizing the assessment. The questionnaire is made available for the students on the

electronic learning platform during a limited timeslot («e-questionnaire»).

When the questionnaires are no longer available to the students, a secretary downloads the raw data of the questionnaire from the electronic learning platform into an Excel sheet. Execution of a macro results in the generation of a report. The report is sent to the head of the study program and to the teacher involved.

Report

The report is built up in such a way that we can quickly get an overview of the results. The use of smiley's on a colored background helps (see table 1). When a certain statement reaches an appreciation of 70 % or more, the target is reached (see example in table 2). When the results are between 60 % and 70 %, follow-up is needed, but not urgently. A statement that gets an appreciation of less than 60 %, indicates a problem and needs follow-up (with high priority).

The report not only gives the results of the appreciation of the statements, but also all the answers to the open questions.

Table 2

Example of (a part of) a report

QUESTIONNAIRE FOR STUDENTS			
	Academic year: 2008-2009 Course: Robotics Teacher: Erwin Smet	appreciation	
1 CNT Overall	Overall, I judge the content of this activity ("course") as "good".	80	😊
2 CNT Structure	The content is logically and clearly structured.	77	😊
3 CNT Material	The course material (books, presentations, notes, syllabus, ...) is adjusted to the content of the course.	79	😊
4 CNT Goals	The content of the course is in accordance with the presupposed goals of it.	50	😞
1 COA Overall	Overall, I judge the coaching of this activity ("course") as "good".	76	😊
2 COA Motivation	The way of coaching stimulates me...	60	😞
3 COA Competences	The way of coaching helps in a adequate way to obtain knowledge, skills and attitudes.	52	😞
4 COA Communication	There is enough open communication between coach(es) and student(s).	70	😊
1 EVA Overall	Overall, I judge the evaluation (exams, ...) of this activity ("course") as "good".	73	😊
2 EVA Criteria	The criteria of evaluation are clear enough.	76	😊
3 EVA Werkvormen	The way of evaluating is adjusted to the way of teaching (ex cathedra, lab sessions, etc.).	74	😊
4 EVA Verwerking	The evaluation takes also my personal input into account.	62	😞
		legend:	
		The target is reached, because appreciation ≥ 70 .	😊
		Needs follow-up, because appreciation is ≥ 60 and < 70 .	😞
		Needs follow-up (high priority), because appreciation < 60 .	😞
Response:	28		
Expected:	45		
Response ratio:	62%		

Dialogue and start-up of improvement projects

Collecting questionnaires and generating reports is one part of the process, but then what do you do with them? To answer that question we organize a dialogue (meeting) with the students of every study program once a year. This dialogue is based on, but not limited to, the information we received from the questionnaires. An independent president (member of staff) leads the discussion. He isn't involved in any activity of that study program. This is important to maintain an unbiased point of view. The president receives the reports of all the questionnaires related to a specific study program. His task is to find out what the students were referring to when they assessed a certain aspect as positive or negative.

Normally a discussion starts out with six students of the third year program who discuss the third year cours-

es. After half an hour, six students of the second year program join the meeting, at which point the courses of the second year are discussed. After another half an hour the students of the first year program also join the discussion. It is important that students of the higher years stay in the group. They can place certain remarks in a broader perspective. They often know why a course is given in a certain way, using that typical material or even why that course is incorporated in the curriculum of their study program. It is easier for students to accept answers from their (older) fellow students than from the teaching staff.

At the end of the dialogue the president or the head of the study program gives feedback about the realized improvements based on the remarks of last year. For students this is very important. This makes them understand that the questionnaires and the dialogue serve a functional purpose.

The general remarks of the dialogue and the questionnaires are put into general improvement projects of a study program (see table 3). Remarks that are personal or specifically linked to a certain teacher are treated as confidential. They become part of the yearly job evaluation between the teacher and the head of the study program. At that point agreements are made about individual improvements [1].

Problems

In our department of applied engineering, students do not often provide us with a high response rate (this dif-

fers from others departments, such as the department of teacher education). Although the electronic learning environment is perfectly able to allow students easy access to the questionnaires from home, they are not responding in high enough numbers. This is why we now plan the assessments on site at the campus, corresponding to regular activities in a computer lab. This not only has the advantage that there is no excuse for not filling in the assessment, but also that we can provide additional oral instructions and information. We have experienced that this is often needed for the questions about the workload (see table 4).

Table 3

Poster with improvement projects

K G	d	ELEKTROMECHANICS				IMPROVEMENT PROJECTS 2009/2010										Situation on : 30/10/2009	
		project description & coordinator		September 2009	October 2009	November 2009	December 2009	January 2010	February 2010	March 2010	April 2010	May 2010	June 2010	September 2010	October 2010		
1		Modernise the lab of robotics. Erwin S.	Pp	D	D	D	D	D	C	A							
		Comment:															
2		Planning and follow-up of final project works. Eddy J.	Pd	Pa/Pp	D	D	D	D	C	A							
		Comment:															
3																	
		Comment:															
Milestones of a project:																	
Pd = project definition			Pa = analysis			Pp = actions planned			D = actions executed			C = evaluation					
A = implementation			<div></div> planned			<div></div> executed			<div></div> delayed								

Table 4

Statements related to workload

The overall estimated time needed for this course («all in»: contact hours, tasks, excursions, exams, etc.) is X hours	Less than X – 20 %	Between X – 20 % and X + 20 %	More than X + 20 %	I'm not able to estimate this time
Because of the relation between the credits and the time needed for a course (1 credit @ 25 hours), the number of credits assigned to this course is ...	To low	just enough	to high	I'm not able to judge this
In relation to the other courses of my study program, the workload of this course is ...	Low	Normal	high	I'm not able to judge this

Students have a lot of difficulty in estimating the time they spent working for a certain course. This often resulted in a high rate related to the last option «I'm not able to ...». This is also a typical phenomenon at the department of applied engineering. Our students like to be able to give exact answers. They prefer no answer to an estimation.

Sometimes the questionnaires are still distributed in a paper version. The filled-out form must then be entered in the software by our administrative staff. This, of course, means extra work for them, but can't always be avoided. One of the reasons for using a paper version is the incompatibility of the software with the Mac-computers used in one of the study programs (e.g. photography).

Years ago we decided to work with a limit set of fixed questions (most of them closed-ended questions; only two are open). This has the advantage of comparability between courses and of the ability to detect an evolution in a certain course over the years. Besides these fixed questions, the staff of a study program can decide to add two, three or four additional questions.

Conclusions

Using the electronic learning platform to give students the possibility to fill in questionnaires, was one step towards a more user-friendly process. It also helped us to process the questionnaires. For several reasons not all questionnaires are filled out the electronic way.

Once a year a meeting with students is organized to discuss the information we got from the questionnaires of that specific study program. Several improvement projects are started up based on the results of this meeting and the questionnaires. Using a electronic version of questionnaires gives us more flexibility in organizing the feedback. Over the last academic years we have seen a higher response rate and also an increase in related improvement projects.

The electronic learning platform was the first step on the way towards collecting and processing information. But now we want to take it one step further and intend to buy professional software for this purpose. A market study was realized. ■

References

Billiet E., Smet E. Visualizing improvement projects: more than ten years of experience // The 5 th International Seminar on the Quality Management in Higher Education: Proceedings. Tulcea: Technical University «Gheorghe Asachi» of Iasi. 2008.

Статья сдана в редакцию 14.01.2010 г.

ИССЛЕДОВАНИЯ МОЛОДЫХ УЧЕНЫХ

Д. Л. Худояров

Увеличение ресурса бандажей колесных пар с помощью наплавки

Работы по наплавке механических частей подвижного состава получают все большее распространение. При восстановлении трущихся деталей подвижного состава особенно активно развивается метод плазменно-порошковой наплавки, что увеличивает их ресурс, а значит, снижает затраты на ремонт.

Номенклатура деталей, подвергающихся наплавке, быстро увеличивается. В их число уже попали автосцепные устройства, детали тормозной рычажной передачи, гребни бандажей колесных пар и т. д.

В начале 50-х годов XX века наплавку подрезанных гребней бандажей паровозных и вагонных колесных пар проводили при помощи двухдуговых автоматов ДАН-3. Химический состав бандажной стали (марка 2), используемой в настоящее время в грузовом движении, по содержанию углерода не превышает паровозные стали, что позволяет считать наплавку технологией, проверенной временем. К концу 60-х годов XX века была разработана технология наплавки гребней бандажей электровозов в углекислом газе.

В настоящее время многие научно-исследовательские организации, в том числе и ВНИИЖТ, ведут исследования по разработке технологий и оборудования для наплавки гребней бандажей КП в составе тележки.

Для оценки степени влияния наплавки на долговечность бандажей колесных пар необходимо определить ресурс используемых бандажей в обычных условиях эксплуатации [1].

Исходные данные для определения действенности каждого из факторов, влияющих на износ бандажей, получены из зависимостей «износ – пробег», где каждому определенному пробегу соответствует значение износа.

Для упрощения расчетов и получения максимального количества данных следует объединить данные с близким пробегом в одну выборочную совокупность. Игнорировать разницу пробега нам позволяют погрешность мерительного инструмента и инертность износа, то есть малое отклонение значения износа при небольшом изменении пробега. Принцип формирования выборочных совокупностей приведен в таблице 1.

Сведения об авторе: **Дмитрий Леонидович Худояров**, инженер кафедры «Электрическая тяга» (УрГУПС). E-mail: KhudoyarovD@mail.ru.

Таблица 1

Пробег в конкретной точке замера	Усредненный пробег для конкретной выборочной совокупности	Износ, соответствующей конкретной точке замера
$L_{1,1}$	L_1	$\Delta_{1,1}$
$L_{1,2}$		$\Delta_{1,2}$
...		...
$L_{1,i}$	L_2	$\Delta_{1,i}$
$L_{2,1}$		$\Delta_{2,1}$
$L_{2,2}$		$\Delta_{2,2}$
...		...
$L_{2,i}$		$\Delta_{2,i}$
...
$L_{n,i}$	L_n	$\Delta_{n,i}$

Для определения типа распределения необходимо обработать выборочную совокупность с помощью методов математической статистики. Выдвигается гипотеза о нормальном распределении и записывается плотность его распределения

$$f(x)=\frac{1}{\sigma\sqrt{2\pi}}e^{-\frac{(x-m)^2}{2\sigma^2}}. \tag{1}$$

Проверка нулевой гипотезы H_0 о нормальном распределении статистических данных с известными параметрами проводится по критерию Пирсона:

$$\chi^2_{\text{набл.}}=\sum_{i=1}^k\frac{(m_i-np_i)^2}{np_i}. \tag{2}$$

По таблице критических значений распределения χ^2 в зависимости от уровня значимости $\alpha = 0,05$ и числа степеней свободы определяется $\chi^2_{\text{крит.}}$. Если $\chi^2_{\text{набл.}} < \chi^2_{\text{крит.}}$, то нулевая гипотеза принимается.

Зависимость математического ожидания от пробега хорошо описывается линейным уравнением. Методом наименьших квадратов определяются коэффициенты уравнения регрессии, а с их помощью зависимость экстраполируется в область больших пробе-

гов. Значение среднеквадратического отклонения усредняется для всей выборки и принимается постоянной величиной.

Численное значение ресурса исследуемого объекта можно определить из вероятности его безотказной работы в заданный промежуток времени (время пробега). Для этого необходимо определить вероятность отказа при пробегах, близких к критическим. При нормальном распределении вероятность отказа будет иметь следующий вид:

$$P(L)=\frac{1}{\sigma_x(L)\sqrt{2\pi}}\int\limits_{X_{\text{доп.}}}^{M_x(L)+3\sigma_x(L)}e^{-\frac{[X-M_x(L)]^2}{2\sigma_x^2(L)}}, \tag{3}$$

где σ_x — среднеквадратическое отклонение контролируемого параметра; M_x — математическое ожидание контролируемого параметра; $X_{\text{доп.}}$ — допускаемое значение контролируемого параметра, мм; L — пробег, соответствующий моменту замера, км.

В соответствии с приведенной методикой, оптимальная величина ресурса будет соответствовать вероятности безотказной работы, равной 0,9, то есть не превышать 90%-ный ресурс. Целесообразность такого ограничения объясняется максимальным отклонением межремонтных пробегов

и точностью мерительного инструмента $\pm 10\%$ [1, 2].

Для электровозов серии ВЛ11 по книгам ремонта ТУ-28 были собраны статистические данные изменения геометрических размеров бандажей колесных пар с профилем ДМетИ ЛР. По собранным данным построена зависимость математического ожидания износа бандажа от пробега (рис. 1) и рассчитано усредненное значение среднеквадратического отклонения. Проведенные расчеты позволили получить зависимость вероятности безотказной работы от пробега (рис. 2). В данном случае оптимальный ресурс бандажа равен 660 тыс. км.

Моделировать с достаточной точностью зависимость износа бандажа колесных пар от пробега при применении наплавки весьма сложно. Чтобы получить ориентировочные данные, можно воспользоваться идеальным случаем износа гребня — принять интенсивность износа величиной постоянной и производить обточку колесных пар только по предельному износу (по достижении 25 мм) через равные промежутки времени (через 90%-ный ресурс). Используя эти допущения, можно рассчитать экономию бандажной стали при каждой обточке в соответствии с диаграммой (рис. 3, а), следовательно, и ресурс бандажа колесных пар при использовании наплавки.

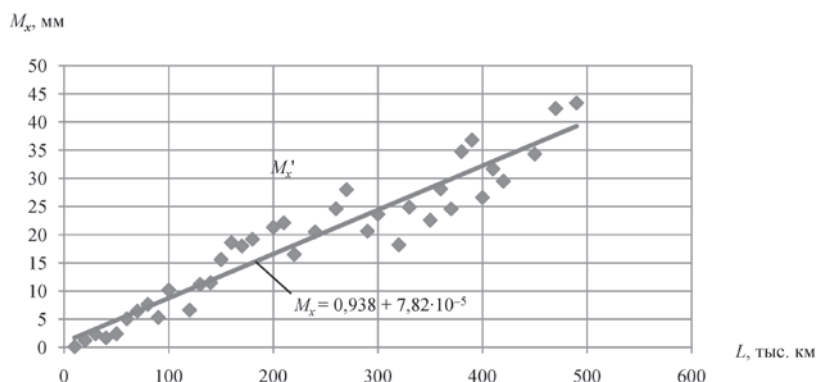


Рис. 1. Зависимость математического ожидания износа бандажа от пробега

M_x — значения построенные с помощью коэффициентов уравнения регрессии;
 M'_x — экспериментальные значения

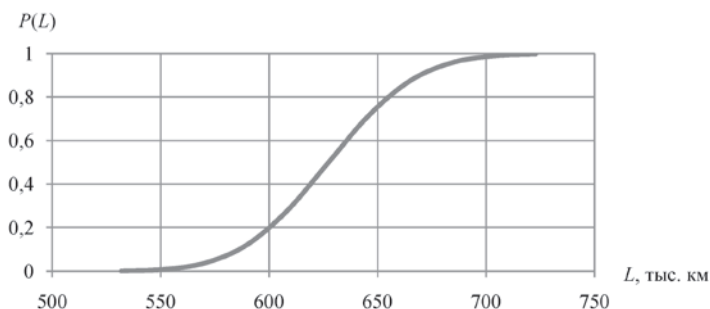


Рис. 2. Зависимость вероятности отказа бандажа колесной пары электровозов ВЛ11 с профилем ДМетИ ЛР

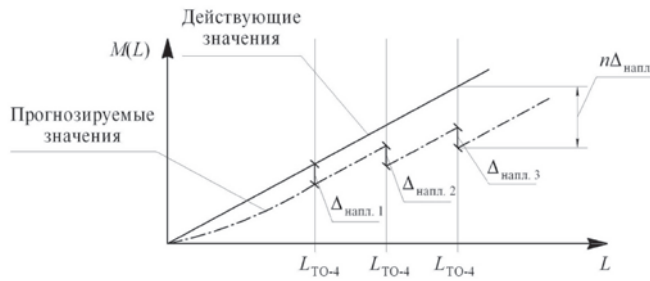


Рис. 3. Диаграмма влияния наплавки гребней на ресурс бандажей

Величина экономии бандажа определяется по формуле

$$\Delta_{\text{напл.}} = \Delta_{\text{ТО-4}} - 2, \quad (4)$$

где $\Delta_{\text{напл.}}$ — величина экономии бандажа при применении наплавки, мм; $\Delta_{\text{ТО-4}}$ — средний расход бандажной стали при проведении планового технического обслуживания ТО-4 при предельной толщине гребня, мм; 2 — величина расхода бандажа при обточке после наплавки, мм.

Тогда математическое ожидание износа бандажа при использовании наплавки можно определить по следующему выражению:

$$M_x(L)_i^{\text{напл.}} = M_x(L)_i - \Delta_{\text{напл.}}, \quad (5)$$

где $M_x(L)_i$ — значение математического ожидания износа гребня на период запланированной обточки.

Определив количество плановых обточек при идеальных условиях, получаем зависимость вероятности отказа от пробега (рис. 4), из которой

выделяем 90%-ный ресурс, равный 780 тыс. км.

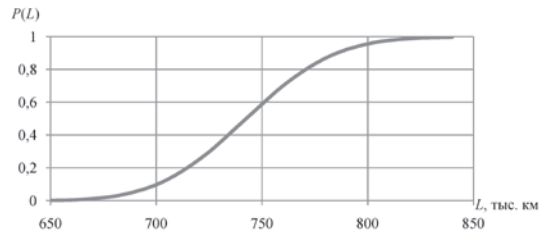


Рис. 4. Зависимость вероятности отказа от пробега при применении наплавки гребней бандажей

Как видно из полученных диаграмм, применение наплавки гребней бандажей колесных пар для грузовых электровозов серии ВЛ11 увеличивает ресурс бандажей более чем на 15 %. С помощью приведенной методики можно производить приближенную оценку эффективности наплавки гребней бандажей в условиях эксплуатации. Проведенные исследования позволяют сделать выводы в пользу применения наплавки гребней бандажей в условиях эксплуатации. ■

Литература

1. Горский А. В., Воробьев А. А. Оптимизация системы ремонта локомотивов. М. : Транспорт, 1994. — 208 с.
2. Буйносов А. П. Повышение ресурса бандажей колесных пар электровозов в условиях эксплуатации: Дис. ... на соиск. научн. ст. канд. техн. наук. — М., 1992. — 336 с.

Статья сдана в редакцию 23.02.2010 г.

И. Н. Крещенко, А. Н. Калабрудин, А. А. Санников

Мобильный робот

Широкое распространение однокристальных микроконтроллеров и миниатюризация интегральных микросхем расширили область применения сложных автономных систем, в частности, интеллектуальных мобильных роботов. Подвижные автоматические аппараты относятся к классу систем, в которых компьютер (микропроцессор) встроен в управляемое им устройство (встраиваемая система). Интеллектуальный мобильный робот — это искусственно созданная машина, способная принимать решения о взаимодействии с окружающей средой на основе заложенных разработчиком или приобретенных в процессе деятельности правил («знаний») [5].

В общем случае мобильного робота можно рассматривать как машину, сопоставляющую действия «ощущениям» — информации, полученной от сенсоров. Каждому возможному положению аппарата в окружающей среде вместе с выполненной цепочкой действий соответствует единственное значение целевой функции. Если робот исходя из имеющейся информации («ощущений») выбирает действия, увеличивающие значение критерия качества, то он действует рационально.

В ряде случаев способность действовать рационально приравнивается к способности делать корректные логические выводы на основе имеющей-

ся информации. Это не совсем верно, так как во многих случаях невозможно точно решить задачу о рациональном поведении робота при помощи логического вывода — из-за ее плохой физической обусловленности и стохастического воздействия внешней среды.

Мобильные аппараты призваны функционировать в заранее неизвестных окружающих условиях, поэтому на этапе проектирования невозможно определить четкую программу действий машины. Поведение автономного мобильного устройства в произвольный момент времени обусловлено следующими факторами: целевой функцией (критерий качества поведения мобильной системы относительно всех возможных моделей поведения); совокупностью всех данных, имеющихся на текущий момент; «знаниями» (базой данных) робота об окружающей его среде; набором доступных (запрограммированных) машине действий.

Среди всех целесообразных моделей действий автономного устройства определим наилучший вариант, так называемое идеально-рациональное поведение — такое поведение, при котором для каждой возможной последовательности собранных машиной данных и имеющихся априорных сведений об окружающей среде она выберет такие действия, выполнение которых равносильно решению задачи

Сведения об авторах: **Иван Никитич Крещенко** — инженер кафедры «Мехатроника» (УрГУПС). E-mail: kreshchenko@uralweb.ru.

Андрей Николаевич Калабрудин, Уральский государственный университет путей сообщения. E-mail: andreyf3 b@mail.ru.

Антон Александрович Санников, Уральский государственный университет путей сообщения. E-mail: oslad@mail.ru.

оптимизации (в данном случае, максимизации) целевой функции [4].

Выбор рациональной стратегии поведения робота может состоять в создании математической модели окружающей среды и задаче целевой функции. Модель позволяет оценить влияние планируемых действий на критерий качества. Каждой из допустимых последовательностей действий соответствует свое значение критерия качества поведения машины, значит, для решения задачи условной оптимизации (условиями служат ограничения, наложенные моделью окружающей среды и доступными действиями робота) целевой функции нужно использовать алгоритмы поиска. Существуют методы, улучшающие (снижающие трудоемкость вычислений) алгоритмы поиска, например, эвристические. Но здесь несмотря на значительное повышение эффективности поиска целевой функции в частных случаях невозможно придумать универсальные эвристики, которые бы действовали для широкого класса целевых функций и моделей окружающей среды. Для решения задачи выбора рационального поведения можно применить и так называемые методы искусственного интеллекта (модель среды и целевая функция задаются неявно, в виде некоторых сведений).

Методы искусственного интеллекта — это математическая база, значительно облегчающая выбор стратегии рационального поведения автономных устройств. Методы искусственного интеллекта, применяющиеся для создания рациональной стратегии поведения робота: экспертные системы, нейронные сети, нечеткая логика, а также генетические алгоритмы.

Физическая реализация концепции «рациональное поведение робота» может быть разной: это и простые механические системы управления, и мощные вычислительные

системы (в частности, с помощью микропроцессорного управления — программными средствами). То есть специалист-робототехник может воплотить не только уже известные модели рационального поведения робота, но и создавать новые [2].

Пример осуществления такой концепции продемонстрирован на разработанном студентами специальности «мехатроника» мобильном устройстве. Значение целевой функции определено освещенностью места, в котором находится робот; он ищет самую яркую точку в окружающем пространстве. Освещенность определяется при помощи фотодиодных датчиков, численное выражение критерия качества записывается через их показания. Для повышения надежности системы информация от датчиков проходит цифровую обработку; значение освещенности преобразуется по следующей формуле:

$$y_i = x_{it} + K_{\Pi} x_{it-1}, \quad (1)$$

здесь x_{it} — значение освещенности до обработки по i -му датчику в момент времени t ; x_{it-1} — значение освещенности до обработки в момент времени $t-1$; y_i — значение освещенности после обработки; K_{Π} — коэффициент влияния предыдущего значения освещенности на текущее. Преобразование использовано для отсеивания шумов, возникающих при краткосрочной засветке датчиков.

Для удобства последующей обработки показатели освещенности необходимо нормализовать; коэффициент нормализации K_{Π} рассчитывается по наибольшему показанию датчика из всех имеющихся показаний на момент времени t :

$$K_{\Pi} = \frac{2^{20}}{\max_i (y_i)}. \quad (2)$$

Все значения освещенности пересчитываются при помощи полученного коэффициента

$$y_{in} = K_H y_i, \quad (3)$$

где y_{in} — нормализованное показание i -го датчика.

При обработке полученной информации удобно рассматривать функцию распределения освещенности. Аргументами данной функции являются координаты датчиков, а значениями — параметры освещенности s_i . Для придания функции гладкой формы производится взвешивание показаний датчиков, то есть значение освещенности от каждого датчика переоценивается с учетом значений освещенности от соседних. Новые значения освещенности s_i рассчитываются по следующей формуле:

$$s_i = \sum_{j=0}^N w_j y_{in}, \quad (4)$$

где w_j — весовые коэффициенты.

Взаимодействие робота с окружающей средой — это не только наблюдение освещенности: робот также оснащен датчиком касания, предназначенным для обнаружения препятствий.

Последний входной для системы сигнал — команды управления, поступающие через встроенный радиомодуль. В ручном режиме робот выполняет полученные команды, в автоматическом — пытается обнаружить самую яркую точку.

Робот перемещается в направлении наибольшего изменения освещенности — реализуется математический метод поиска, так называемый градиентный спуск (хотя в данном случае больше бы подошло название «градиентный подъем»). При градиентном спуске поиск останавливается в локальном экстремуме целевой функции; в рассматриваемом слу-

чае локальным экстремумом является точка с максимальной освещенностью. Робот остается в найденной точке, пока условия окружающей среды не изменятся и точка не перестанет быть локальным максимумом целевой функции; после этого робот вновь отправляется на поиски точки с наибольшей освещенностью.

Многие источники критикуют метод градиентного спуска за медлительность и ресурсоемкость [3, 4]. В нашем случае эти замечания не вполне справедливы, так как при физическом поиске точки в пространстве (в отличие от поиска точки на математической функции) необходимо пройти от начального положения до искомой точки. При этом процесс вычисления направления движения растянут во времени и ресурсоемкость используемого метода не критична.

Мобильный робот состоит из механической платформы, приводов, сенсоров и системы управления; движется на гусеничных движителях. Система управления роботом состоит из трех подсистем. Первая — основная, она отвечает за рациональное поведение робота. Система принимает данные от датчиков, обрабатывает имеющуюся информацию и отдает команды на движение в заданном направлении. Вторая подсистема отвечает за управление двигателями (регулирует скорость и направление вращения двигателей). Третья — это группа датчиков, собирающих информацию о внешней среде.

Первая система включает в себя плату DZ1612 с встроенным микропроцессором MSP430, а также малогабаритный однокристалльный трансивер CC2420, предназначенный для дистанционного управления роботом.

Подсистема управления двигателями контролирует два электромотора с помощью микросхемы драйвера двигателей L293 DNE, которая содержит сразу два драйвера для управления

электродвигателями небольшой мощности (четыре независимых канала, объединенных в две пары). Кроме того, микросхема имеет две пары входов для управляющих сигналов и две пары выходов для подключения электродвигателей; она обеспечивает разделение электропитания для управляющей системы и силовой части, что позволяет подключить электродвигатели с большим напряжением питания, чем используется в управляющей системе. Питание двигателей обеспечивается отдельным блоком батарей напряжением от 8,4 до 9,6 В (рис. 1).

Третья подсистема состоит из тактильного датчика и шести фотодиодных датчиков, для которых ис-

пользованы фотодиоды L431 РС. Фотодиоды соединены последовательно с сопротивлениями, величины которых подбираются экспериментально. Показания светодиодов снимаются при помощи встроенного в микроконтроллер MSP430 аналого-цифрового преобразователя. Для того чтобы полученная информация была репрезентативной, используются все фотодиодные датчики, расположенные по окружности через каждые 60°. Для улучшения чувствительности в каждом датчике используются по два фотодиода, соединенных параллельно (рис. 2).

Действующий образец робота реализован на базе конструктора

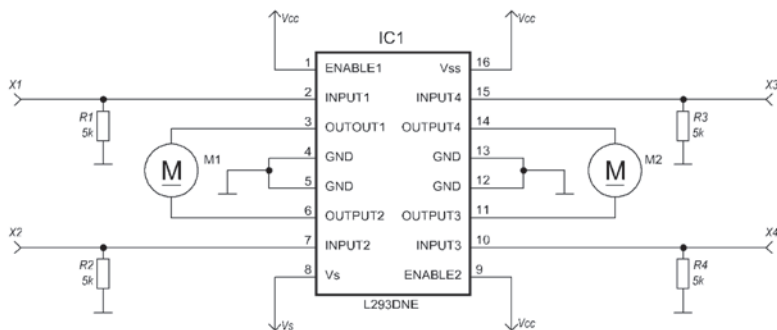


Рис. 1. Схема управления электродвигателями

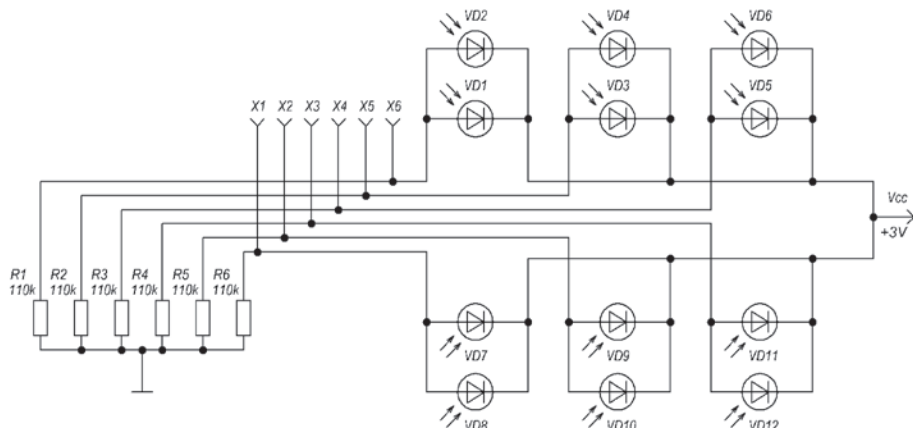


Рис. 2. Схема блока фотодатчиков

и отладочной платы SoftBaugh DZ1612 (микропроцессор MSP430); руководитель В. В. Пинягин.

Применение микроконтроллера MSP430 со сверхнизким энергопотреблением и маломощного радиопередатчика CC2420 выгодно отличает продемонстрированную в данной работе автономную систему от существующих аналогов. Энергосберегающий процессор обеспечивает необходимую вычислительную мощность и позволяет увеличить общее время автономной работы за счет минимального энергопотребления устройства в режиме ожидания (когда найдена самая яркая точка в автоматическом режиме работы или отсутствуют команды движения в ручном режиме). Радиопередатчик использует

набор протоколов ZigBee, обеспечивающий достаточную для управления роботом скорость передачи информации при невысоком энергопотреблении и быстром отклике на управляющие команды.

Микросхема CC2420 использует аппаратный контроль передачи данных с подтверждением, это позволяет увеличить надежность коммуникации между оператором и роботом в ручном режиме управления.

В рамках проекта по созданию мобильного робота была выбрана и решена на уровне математической модели задача рационального поведения робота, разработана адекватная задаче аппаратная часть машины, создано программное обеспечение, реализующие математическую модель. ■

Литература

1. Рассел С., Норвиг П. Искусственный интеллект: современный подход / Пер. с англ. и ред. К. А. Птицына. 2-е изд. М. : Вильямс, 2006. 1408 с. ISBN 5-8459-0887-6.
2. Жимарши Ф. Сборка и программирование мобильных роботов в домашних условиях / Пер. с фр. М. : НТ Пресс, 2007. 288 с. ISBN 978-5-477-00256-6.
3. Акулич И. Л. Математическое программирование в примерах и задачах: учеб. пособ. для студентов эконом. спец. вузов. М. : Высшая школа, 1986. 319 с.
4. Гилл Ф., Мюррей У., Райт М. Практическая оптимизация / Пер. с англ. — М. : Мир, 1985. 509 с.
5. Jones J., Flynn A., Seiger B.. Mobile robots Inspiration to implementation. Natick MA (USA): AK Peters, Ltd., 1999. 432 p.

Статья сдана в редакцию 25.01.2010 г.

ИНТЕЛЛЕКТУАЛЬНАЯ СОБСТВЕННОСТЬ

Патент № 2281873

Патентообладатель: Уральский государственный университет путей сообщения

Авторы: Ефимов А.В., Паршин А.В., Русакова Е.А.

Способ неразрушающего контроля железобетонных опор контактной сети железнодорожного транспорта

Изобретение относится к области железнодорожного транспорта, в частности, к системам измерения физических величин.

Цель изобретения — снижение трудоемкости процесса контроля состояния опор контактной сети, уменьшение времени затрат.

Практическая актуальность

Неразрушающий контроль железнодорожных опор контактной сети заключается в том, что движущийся электровоз создает переменным электромагнитным полем, одновременно регистрируя множество сигналов взаимодействия переменного электромагнитного поля с материалами железобетонных опор системой датчиков, установленных на электровозе или на прицепной платформе. Далее формирует из них комбинированный сигнал путем последовательного размещения их во времени, подсчитывая текущую функцию взаимной корреляции комбинированного сигнала одним отдельно взятым датчиком, подсчитывает функцию взаимной корреляции между этим сигналом и соответствующим эталонным сигналом, при этом максимальное значение функции соответствует известному состоянию опоры, определяемому эталонным сигналом, и изменя-

ет комбинированный сигнал, усложняя его для более четкой фиксации главного пика корреляционной функции.

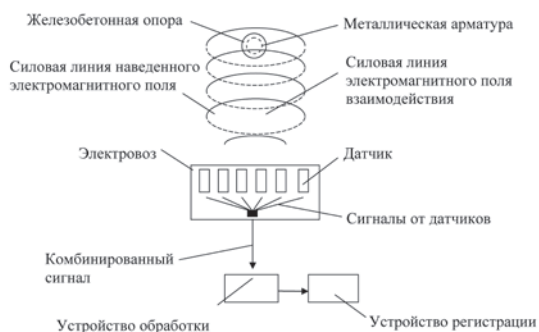


Рис. 1. Схема осуществления способа
неразрушающего контроля
железобетонных опор контактной сети

Ожидаемый результат

Использование предлагаемого способа позволит контролировать состояние железобетонной опоры контактной сети в реальном времени за счет более четкого фиксирования главных пиков в условиях сильных мешающих электромагнитных полей, без задержек на измерения и обработку результатов в момент прохождения электровоза мимо опоры, исключив подготовительные работы, подключение генератора и размещения приборов на опоре. ■

Патент № 2288126

Патентообладатель: Уральский государственный университет путей сообщения

Авторы: Голубев О. В., Желтышев П. А.

Способ определения зазора между гребнем железнодорожного колеса и головкой рельса и устройство для его осуществления

Изобретение относится к применению измерительной аппаратуры и приспособлений для измерения перемещений головки рельса и гребня железнодорожного колеса при движении поезда.

Цель изобретения — измерение зазора между гребнем железнодорожного колеса и головкой рельса при движении поезда, упрощение конструкции для измерения и уменьшение ее размеров.

Практическая актуальность

Непрерывное фиксирование положения головки рельса относительно гребня железнодорожного колеса осуществляется за счет получения видеоизображения установленной на ходовые части среднесетевой вагона или локомотива видеокамеры, играющей роль датчика. После этого с ходовых частей датчик убирают, изымают информацию и обрабатывают с помощью компьютерной программы. Полученное видеоизображение накладывают на видеоизображение линейки с делениями таким образом, чтобы ее целое или нулевое деление совпало с видеоизображением края гребня колеса, просматривают кадры на фоне видеоизображения и определяют зазор между головкой рельса и гребнем колеса.

Ожидаемый результат

Использование предлагаемого способа определения зазора между гребнем железнодорожного колеса и головкой рельса и устройство для его осуществления позволяют постоянно определять взаимное положение головки рельса и гребня железнодорожного колеса с получением видеоизображения, а устройство для его осуществления является простым и дешевым по сравнению с измерительными вагонами. Кроме того, предлагаемое устройство можно устанавливать на различные конструкции ходовых частей вагонов и локомотивов. ■

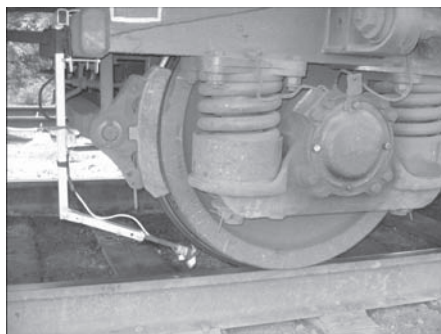


Рис. 1. Схема расположения оборудования для осуществления способа определения зазора между гребнем колеса и головкой рельса

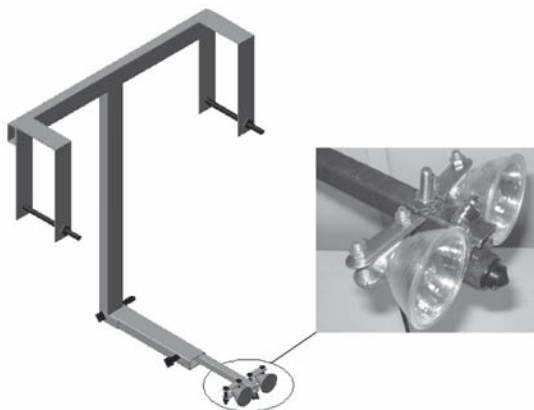


Рис. 1. Устройство для осуществления способа определения зазора между гребнем колеса и головкой рельса

В ДИССЕРТАЦИОННЫХ СОВЕТАХ

Отзыв

официального оппонента на диссертационную работу
Миронова Александра Анатольевича

«Научные и технические основы бесконтактного теплового контроля букс железнодорожного подвижного состава»,

представленную на соискание ученой степени
доктора технических наук по специальности 05.22.07 —
Подвижной состав железных дорог, тяга поездов и электрификация

Актуальность диссертационной работы

Безопасность движения поездов является важнейшей задачей, решаемой эксплуатационным штатом сети железных дорог. Для выполнения требований безопасности разрабатываются и внедряются различные системы и устройства контроля и диагностики, обеспечивающие их функционирование. К одной из них относится аппаратура контроля за состоянием букс подвижного состава, вопросы исследования которой рассматриваются в диссертационной работе Миронова А. А.

Проблема создания эффективных средств бесконтактного теплового контроля буксовых узлов железнодорожного подвижного состава является актуальной на протяжении нескольких последних десятилетий. Начало этих работ было положено в конце 50-х годов прошлого века как в нашей стране, так и за рубежом. Однако эти работы носили локальный характер и не имели достаточной научной проработки. Научно-практическая работа Миронова А. А. впервые решила большой объем задач по научному анализу, разработке и практическому внедрению систем обнаружения неисправностей буксовых узлов подвижного состава по их тепловому излучению. На осно-

ве выполненных научных исследований соискателем создан комплекс программных и технических средств, позволяющий обнаруживать неисправности, передавать соответствующую информацию на центральный пункт и разрабатывать практические основы организационно-технических мероприятий, обеспечивающих повышение безопасности движения и реализующих снижение числа опасных отказов буксовых узлов.

Очевидно, что в этом и заключается актуальность диссертационной работы Миронова А. А. и ее важность для железнодорожного транспорта.

Новизна исследований и полученных результатов работы

1. Создан комплекс математических моделей, описывающих функционирование буксовых узлов подвижного состава в различных режимах их работы по характеристикам излучаемого ими инфракрасного излучения.

2. Разработаны теоретические основы принципов и методики исследования тепловых и механических режимов работы буксовых узлов.

3. Предложена апостериорная модель распознавания классов состояния буксового узла.

4. Разработаны и обоснованы методы достоверной диагностики буксовых узлов.

5. Выполнено исследование принципов построения информационных систем теплового контроля и прогнозированного мониторинга функционирования буксовых узлов подвижного состава, результаты которого позволяют доступно и в реальном времени получать требуемые данные эксплуатационному штату различных иерархических уровней управления.

Степень обоснованности и достоверности научных положений, выводов и заключений диссертационной работы

1. Обоснованность теоретических положений диссертационной работы обусловлена корректным использованием проверенных практикой теоретических методов теплопередачи и теплообмена, конечного элемента (МКЭ), теоретической механики, идентификации, аналитической геометрии, статистики и теории вероятности, используемых при анализе и исследованиях, а также применением современных методов вычислительной математики.

2. Достоверность научных результатов работы подтверждается компьютерным моделированием процессов функционирования буксовых узлов и большим объемом экспериментальных данных, полученных в результате натурных исследований и измерений на подвижном составе сети дорог.

Значимость диссертационной работы для науки и практики

1. Результаты исследований, изложенные в диссертационной работе Миронова А. А., имеют большую научную и практическую ценность для железнодорожной отрасли народного хозяйства России.

2. Научные положения, выносимые на защиту, отличаются новым подходом к решению задачи контроля и диагностики работы буксовых узлов подвижного состава и характеризуются:

- созданием теоретических основ функционирования буксовых узлов;
- созданием физико-математических моделей интенсивности инфракрасного излучения;
- результатами аналитического определения функциональной корреляции

между характеристиками излучения и работоспособности буксового узла.

3. Важность полученных в диссертационной работе результатов обосновывается необходимостью повышения надежности функционирования подвижного состава, что является наиболее актуальным в настоящее время в связи с увеличением объема перевозок и вхождением России в мировое сообщество.

4. Практическая ценность диссертационной работы заключается в следующем:

— разработан и внедрен аппаратный и программный комплекс для исследований, контроля и диагностики теплового состояния буксовых узлов;

— разработаны рекомендации по созданию перспективных систем теплового контроля, а также по совершенствованию (модернизации) эксплуатируемых на дорогах ОАО «РЖД» аналогичных систем.

— технические решения, реализованные во внедряемой аппаратуре КТСМ-01 и КТСМ-02, послужили основой для разработки и внедрения на сети дорог отраслевой распределенной системы контроля и мониторинга нагрева букс АСК-ПС;

— результаты научных исследований использованы в практических разработках устройств контроля буксовых узлов и широко внедряются на сети дорог ОАО «РЖД» и стран СНГ.

Оценка содержания диссертации

1. Диссертация состоит из введения, пяти разделов с выводами в каждом из них, заключения, библиографического списка, включающего 182 наименования; изложена на 362 страницах основного текста, включающего 173 рисунка в тексте, два приложения.

Введение раскрывает актуальность выбранной автором научной проблемы для науки и практики. Здесь же сформулированы положения, выносимые на защиту, научная новизна и практическая значимость диссертации.

В первой главе приведен краткий обзор известных по публикациям теоретических и экспериментальных исследований тепловых процессов в буксовых узлах, выполнен анализ конструктивных особенностей буксовых узлов и рам тележек, влияющих на тепловой контроль. Для оценки технических задач, стоящих перед исследователями этого направления,

автор выполнил анализ функционирующих на различных дорогах мира систем бесконтактного теплового контроля букс, а также предлагаемых различными авторами, в том числе и запатентованных, технических решений, реализующих тепловой контроль букс. Проведенный анализ исследований и разработок позволил автору четко и подробно сформулировать научные проблемы и основные направления в создании и совершенствовании аппаратуры и систем теплового контроля. Это послужило основой для постановки задач диссертационного исследования.

Во второй главе изложены материалы по разработке комплекса математических моделей теплового бесконтактного контроля букс. Этот комплекс системно интегрирует моделирование следующих процессов: действие нагрузок на буксовый узел во время движения вагона; выделение тепла в зонах трения; распространение температурных полей от подшипников к шейке оси и к наружным поверхностям корпусов букс; излучение тепловой энергии с поверхности буксы в ИК области спектра; восприятие ИК излучения приемником напольных средств контроля.

Таким образом, комплекс объединяет моделирование работы объекта контроля «виртуальная букса» и моделирование работы средств теплового контроля «виртуальный прибор» при проходе поезда.

Вычислительная реализация комплекса основана на программном обеспечении, разработанном соискателем. Предлагаемый комплекс моделей разработан впервые, имеет значительную научную новизну и благодаря его математической реализации обладает практической ценностью, так как позволяет решать также другие различные научно-технические задачи теплового контроля.

В третьей главе диссертации приведены результаты экспериментальных исследований температуры буксовых узлов в работоспособном и предаварийном состоянии.

Благодаря большому объему и разнообразию проведенных испытаний автор идентифицировал отдельные параметры моделей и получил достаточную качественную и количественную достоверность моделей. Сопоставлением контактных измерений температур на поверхности буксы в зоне контроля и тем-

ператур, полученных КТСМ-02 с этих же букс, автором получено, что среднее расхождение измерений составляет 5,7 %, или 1,1 °С. Этим, а также положительными результатами подконтрольной эксплуатации на сети дорог ОАО «РЖД» показана объективность технических решений, реализованных при создании КТСМ-02.

Отдельные виды испытаний, например, имплантирование термодатчика внутрь ролика подшипника для измерения его температуры при работе подшипника или воспроизводство на стенде аварийных режимов работы буксы, уникальны и значимы.

В четвертой главе приводятся результаты использования разработанных моделей. Выполнен анализ стационарного нагрева буксы в интервале рабочих температур окружающего воздуха от -40 до +40 °С, который показал нецелесообразность для оценки нагрева только одной (абсолютной) температуры нагрева.

Изучена степень влияния на нагрев буксы смежных деталей колесной пары и влияние нагрева аварийной буксы на нагрев данных деталей. Этим показано, что вспомогательный контроль нагрева буксы по нагреву ступицы колеса неэффективен, а контроль неотпущенных тормозов и заклиненных колес по их нагреву целесообразно вести по поверхности диска колеса в зоне, максимально приближенной к ободу.

Существенной практической значимостью обладает реализованная на конкретных объектах (тележка скоростных пассажирских вагонов, тележка локомотивов) расчетная методика оценки контролепригодности к тепловой диагностике. Эта методика также может быть использована в инженерных организациях, проектирующих и изготавливающих подвижной состав. Это позволило повысить эффективность контроля подвижного состава на сети дорог ОАО «РЖД».

На моделях выполнено прогнозирование возможного развития состояния буксового узла с основными предаварийными неисправностями, поэтому лишь частично (начальную фазу) удалось реализовать на стенде. При этом получены важные для контроля букс с такими неисправностями выводы.

Заслуживают внимания исследования, проведенные на комплексе моделей

процесса контроля, по оценке возможности сложного (не точечного) сканирования РЖ приемником нижней поверхности буксы с целью повышения информативности сигнала. Показано на моделях, что при реализации подобного сканирования в аппаратуре нового поколения появляется возможность распознавания местонахождения неисправного подшипника.

В выводах показано, что применение моделей позволило обосновать и внедрить конкретные технические решения в тепловой диагностике букс подвижного состава и определить области применения расчетов на моделях для проектирования средств теплового контроля и подвижного состава.

В пятой главе приводятся результаты разработки и технического воплощения распределенной системы теплового контроля и мониторинга нагрева буксовых узлов.

Приводится структура распределенной системы, получившая производственное название АСК ПС и которая строится с выделением трех соответствующих ОАО «РЖД» иерархических уровней: 1-й — линейный; 2-й — дорожный; 3-й — центральный.

В состав технических средств, образующих 1-й уровень, входит разработанный с использованием проведенных исследований комплекс КТСМ-02, широко эксплуатируемый на сети дорог.

Прикладное программное обеспечение АСК ПС состоит из автоматизированных рабочих мест оператора линейного поста контроля (АРМ ЛПК) и центрального поста контроля (АРМ ЦПК).

В основе информационного обеспечения распределенной системы теплового контроля положена разработанная автором апостериорная модель распознавания классов состояния буксового узла, включающая в себя:

- обоснование выбора диагностических признаков;
- расчетно-апостериорный метод определения контрольных значений диагностических признаков.

Приведены результаты внедрения программно-технических средств распределенной системы теплового контроля и мониторинга нагрева буксовых узлов. Выполнен расчет экономического эффекта от внедрения аппаратуры КТСМ-02.

Оценки выполнены по данным эксплуатации на сети дорог ОАО «РЖД» за первое полугодие 2007-го и 2008-го гг.

Получены значения надежностных характеристик работы распределенной системы контроля и мониторинга АСК ПС. Полученные значения вероятности пропуска неисправной буксы достаточно малы, что менее чем «допускаемая» специалистами вероятность гибели человека (10^{-6}) в год в результате техногенных чрезвычайных ситуаций.

В заключении сформулированы основные научные результаты диссертации, выносимые на защиту. Приведены также рекомендации, которые являются основными составными частями мероприятий, решающих проблему повышения безопасности движения железнодорожного транспорта России и СНГ. Большая часть приведенных рекомендаций реализована на сети дорог.

2. Объем диссертационной работы соответствует требованиям, предъявляемым ВАК РФ к докторским диссертациям. Диссертация рационально структурирована, текст написан технически и лексически грамотно и аккуратно, по каждому из разделов имеются выводы. Нумерация разделов, рисунков и таблиц соответствует логическому построению работы.

3. Логика изложения текста диссертационной работы находится в полном соответствии с логикой исследований, выполненных соискателем. Графики, схемы и таблицы достаточно полно и наглядно иллюстрируют результаты выполненных научных исследований и полученных практических результатов. Перечень литературы, приведенный в диссертации и составляющий 182 источника, свидетельствует о достаточно полном объеме известной литературы, с которым ознакомился соискатель.

4. Автореферат и приведенный в нем список из 44-х печатных работ соискателя полностью отражают содержание диссертации. Из них более 20-ти работ опубликовано в источниках, входящих в «Перечень ВАК РФ». Апробация научных и практических результатов работы выполнялась на ряде значимых отраслевых, межвузовских и международных научно-технических конференций и семинаров, что является вполне достаточным для признания заслуг соискателя

перед научно-технической общественностью и железнодорожной отраслью народного хозяйства. Новизна технических решений защищена несколькими патентами РФ, что свидетельствует о высоком техническом уровне разработанных технических решений.

Замечания и вопросы по диссертации

1. В диссертации отсутствует список принятых условных сокращенных обозначений, что усложняет восприятие текста. Обычно в диссертационных работах этот список должен приводиться.

2. Из диссертации неясно, какие протоколы передачи данных и какие виды каналов используются или могут быть использованы для передачи диагностической информации с перегонных устройств КТСМ на станционные АРМ ЛПК и АРМ ЦПК.

3. Какие преимущества дает преобразование электрических сигналов с выхода приемников ИК-излучения в цифровой вид непосредственно в приемной капсуле (вариант КТСМ-02) в сравнении с аналоговой обработкой сигналов и их преобразованием в цифровой код перед их трансляцией на станционный АРМ (вариант КТСМ-01 и ДИСК-2)?

4. Имеются также замечания редакционного характера, которые были высказаны соискателю в рабочем порядке.

Заключение по диссертации

1. Приведенные замечания не снижают ценности работы и полученных выводов. Диссертация Миронова А. А. является самостоятельной, логичной, функционально законченной научной и практической работой, которая выполнена на высоком научном и техническом уровне.

2. Диссертационная работа обладает большой степенью научной новизны, имеет значительную практическую ценность и заслуживает высокой оценки. Значимость диссертационной работы для науки и практики заключается в создании основ теории функционирования буксовых узлов и обнаружении их неисправностей, что позволило рассчитать и создать надежно работающую аппаратуру, масштабы внедрения которой на сети железных дорог РФ и стран СНГ значительны.

3. На основании вышеизложенного считаю, что по объему, содержанию, научной ценности и практическому вкладу диссертационная работа Миронова Александра Анатольевича на тему: «Научные и технические основы бесконтактного теплового контроля букс подвижного железнодорожного состава» отвечает требованиям п. 8. «Положения о порядке присуждения ученых степеней» и представляет собой завершенную научно-исследовательскую квалификационную работу, в которой на основании выполненных автором исследований представлены научно обоснованные технические решения по разработке средств и технологии теплового бесконтактного контроля букс подвижного состава, внедрение которых вносит значительный вклад в повышение безопасности движения железнодорожного транспорта России и в общий прогресс науки и техники железнодорожной отрасли.

Считаю, что автор диссертационной работы, Миронов Александр Анатольевич, заслуживает присуждения ему ученой степени доктора технических наук по специальности 05.22.07 — Подвижной состав железных дорог, тяга поездов и электрификация. ■

*Официальный оппонент, профессор кафедры «Электроника»
Уральского государственного университета путей сообщения,
доктор технических наук, профессор Б. С. Сергеев*

АННОТАЦИИ

А. П. Буйносов

Влияние шероховатости посадочных поверхностей на надежность соединения «бандаж–обод» и ресурс колесных пар тягового подвижного состава

Аннотация

В статье показано, что оценка шероховатости посадочных поверхностей с помощью предлагаемого способа дает более точные и объективные результаты, что позволяет существенно повысить надежность и ресурс бандажей колесных пар, уменьшить количество случаев ослабления, сократить эксплуатационные расходы.

Ключевые слова: локомотив, колесная пара, бандаж, шероховатость, ресурс.

A. P. Buinosov

Influence of landing surfaces' roughness on «tyre-tread» junction reliability and on wheelpairs' resource of a traction rolling stock

Annotation

In the article the estimation of landing surfaces' roughness with the help of the offered method gives more accurate and objective results that lets to increase the reliability and resource of wheelpairs' treads, reduce the cases of slackening and cut the maintenance expenses.

Key words: locomotive, wheelpair, tyre, roughness, resource.

Э. Биллет, Э. Смет

Опыт использования электронных опросных листов в качестве стимула для совершенствования методики преподавания в высшей школе

Аннотация

Университет Карел де Гроте (Karel de Grote-Hogeschool), г. Антверпен, Бельгия

имеет многолетний опыт использования опросных листов для оценки отношения студентов к качеству преподавания дисциплин. Длительное время опросные листы существовали лишь в печатном варианте, оценка качества преподавания проводилась для каждой дисциплины. При этом количество полученных от студентов ответов часто оставалось неудовлетворительным. Для решения данной проблемы был осуществлен переход на электронные опросные листы, а оценка качества преподавания в настоящее время осуществляется только для одной трети всех дисциплин, преподаваемых в данном году. В следующем году оценке подлежит следующая треть дисциплин. Таким образом, за три года полностью осуществляется оценка качества преподавания всех дисциплин. При этом вновь вводимые дисциплины подлежат контролю качества преподавания вне очереди.

В результате введения электронных опросных листов и снижения количества контролируемых дисциплин в каждом году удалось увеличить количество полученных от студентов ответов и упростить процесс обработки заполненных опросных листов.

Для оценки качества преподавания дисциплин кроме оценки результатов опросов в университете один раз в году проводятся встречи администрации со студентами. В результате данной работы были проведены мероприятия по улучшению качества преподавания нескольких дисциплин.

Ключевые слова: электронные опросные листы, совершенствование методики преподавания, электронные средства обучения.

E. Billiet, E. Smet

E-questionnaires, a stimulus for improvement projects

Abstract

At the Karel de Grote University College, we have had many years of experi-

ence in using questionnaires to get feedback from our students. The use of these questionnaires is a part of our quality culture. The goal is to gather information about the education process, which is one of the steps of the Deming cycle. Years ago, when we first started using questionnaires, they were only available in a paper version, and the students had to fill out questionnaires for all the courses they took that year. The amount of responses was often disappointing. Students were not really happy about the fact that they had to fill out a lot of documents. We realized some changes had to be made in the process. Instead of asking for feedback for all of the courses every year, we made a selection and now only monitor one third of the courses per year. We have organized the feedback process in such a way that in a time frame of three years all courses are screened. If there is a new course or a problem linked to a specific course, we can increase the frequency for that particular course. Another motivation for students to fill in the questionnaires, was the fact that we used our electronic learning platform for it. This enabled us to make the process more user-friendly. Processing the questionnaires became easier as well. The questionnaires themselves represent only one side of the story. It is equally important to find out what exactly the students are referring to when they give a positive or negative evaluation. Once a year we organize a meeting with students where we discuss the information we got from the questionnaires. Several improvement projects are started up, based on the results of this meeting and the questionnaires. The electronic learning platform was one step on the way towards collecting and processing information. Now we want to take it one step further and intend to buy professional software for this purpose. A market study was realized.

Key words: e-questionnaires, improvement projects, electronic learning platform.

Р.Я. Сулейманов, Е.В. Пуговкин

Динамика управления тяговым приводом постоянного тока с электронно-импульсным регулированием в режиме стабилизации скорости

Аннотация

Рассмотрены вопросы синтеза системы управления тиристорным тяговым приводом для метрополитена. Тяговый привод имеет тяговый и тормозной режимы работы. Показаны передаточные функции якорной цепи, цепи возбуждения двигателя, инерционной массы поезда как объектов авторегулирования. Определены передаточные функции регуляторов, полученных на основе принципа компенсации регулятором постоянных времени объекта регулирования.

Ключевые слова: тяговый привод, авторегулирование, операционный усилитель, регулятор тока якоря, регулирование скорости, передаточная функция, тиристорный преобразователь, режим торможения.

R.Y. Suleimanov, E.V. Pugovkin

Dynamics of traction drive control of a direct current with electron-impulse regulation at speed stabilization

Annotation

There are investigated the issues of thyristor traction drive control system synthesis for underground. Traction drive has traction and braking mode. There are shown transfer functions of armature circuit, circuit of engine's drive, train's inertia mass as the objects of automatic control. There are detected regulators' transfer functions, got on the basis of compensation principle by regulator of constant to time regulation's object.

Key words: traction drive, automatic control, operational amplifier, regulator of armature current, speed regulation, transfer function, thyristor transformer, braking mode.

А. Н. Калабрудин, И. Н. Крещенко,
А. А. Санников

Мобильный робот

Аннотация

В статье приведены основные принципы проектирования мобильных роботов, в частности интеллектуальных мобильных роботов. Описан процесс разработки

действующей модели автономного мобильного робота с микропроцессорной системой управления, в частности построена математическая модель рационального поведения робота.

Ключевые слова: мобильные роботы, искусственный интеллект, микропроцессорная техника.

A. N. Kalaburdin, I. N. Kreshchenko,
A. A. Sannikov

Mobile robot

Annotation

In the article there are given the main principles of mobile robot design, particularly intelligent mobile robots. There is described the process of working model of autonomous mobile robot development with micro integrated system particularly there is designed a mathematical model of robot's rational behaviour.

Key words: mobile robots, artificial intelligence, microprocessor equipment.

A. Л. Казаков, А. М. Маслов

Имитационное моделирование при проектировании грузовых терминалов железнодорожного транспорта

Аннотация

В статье исследуется вопрос о применении для проектирования грузовых терминалов железнодорожного транспорта одного из методов системного анализа — метода имитационного моделирования. Приводится пример реализации данного подхода, в основу которого положены имитационные модели вагонопотока и работы грузовой железнодорожной станции. На основе проведенного исследования делается вывод о преимуществе предложенного подхода по сравнению традиционным и формулируются задачи, которые необходимо решить при его внедрении.

Ключевые слова: вагонопоток, грузовой терминал, грузовая станция, системный анализ, имитационное моделирование, проектирование станций.

A. L. Kazakov, A. M. Maslov

Simulation when designing railway transport freight terminals

Annotation

The article studies the issue of using one of systems analysis method, namely the simulation method, for designing railway transport freight terminals. The authors give an example of realizing this method, based on the simulation model of car traffic volume and railway station functioning. On the basis of the research they have come to the conclusion about this method advantages as compared to the traditional one and formulated the tasks, which should be solved when applying the method.

Key words: car traffic volume, freight terminal, freight station, systems analysis, simulation, stations design.

Д. Л. Худояров

Увеличение ресурса бандажей колесных пар с помощью наплавки

Аннотация

Статья посвящена проблеме повышения ресурса бандажей колесных пар локомотивов с помощью проведения наплавки гребней. Разработана методика расчета ресурса бандажей колесных пар при применении наплавки гребней. Выполнен сравнительный анализ долговечности бандажей колесных пар при применении наплавки и без нее.

Ключевые слова: колесная пара, бандаж, наплавка, гребень, измерения, ресурс.

D. L. Hudoyarov

Increase of wheel pairs' tires resources by means of weld deposition

Annotation

The article is devoted to the problem of resources increase of locomotives' wheel pairs' tires by means of flange weld deposition. The calculation principles of wheel pairs' tires resources when using flange weld deposition have been developed. The comparative analysis of wheel pairs' tires durabil-

ity with and without using flange weld deposition has been done.

Key words: wheel pair, tyre, weld deposition, flange, measurement, resource.

С. В. Сизый

Сетевая поддержка предприятий в градуированных организационных сетях

Аннотация

Работа посвящена разработке методики определения коэффициентов обособленности и сетевой устойчивости предприятий в структуре градуированной организационной сети. На основании определенных коэффициентов вводится понятие коэффициента сетевой поддержки, с помощью которого решается проблема выявления слабых звеньев организационной сети и дается критерий целесообразности и стабильности нахождения предприятия в структуре градуированной организационной сети.

Ключевые слова: организационная сеть, устойчивость предприятия, сетевая устойчивость, стабильность поставок ресурсов, сетевая поддержка, ранжирование предприятий.

S. V. Sizy

Enterprises' network support in graded organizational systems

Annotation

The article is devoted to principles development of determining the coefficients of isolated and network enterprises' stability in the graded organizational system structure. On the basis of defined coefficients the concept of network support coefficient, which helps solve the problem of discovering vulnerability in the organizational system has been introduced and the criteria of appropriateness and stability when the enterprise is in the graded organizational system structure have been given.

Key words: Organizational system, enterprise's stability, network stability, stability of resources supply, network support, enterprises' ranking.

Т. В. Кошкарлова

Основные вехи зарождения научно-технического прогресса как составной части исторического прогресса

Аннотация

В экономической литературе имеется множество концепций эффективности производства. Читателю предлагается одна из них.

Задача любого государства – стимулировать рост производства, потому что в условиях научно-технической революции обеспечить соответствие спроса и предложения, производства и потребления товаров можно лишь при определенных темпах роста. Современную экономику иногда называют «велосипедной» – остановка в развитии грозит падением. Пока раскручиваем педали, набираем скорость – все хорошо: экономика держит равновесие, экономический рост набирает темпы, а развитие в экономике – это научно-технический прогресс, качественное преобразование всех сторон жизни современного общества, обновление материально-технической базы, совершенствование общественных отношений, и в первую очередь экономических. Это глубокие перемены в содержании и характере труда, материальных и духовных условиях жизни людей. Научно-технический прогресс обеспечивает высокие темпы роста производительности труда, интенсификацию общественного производства и повышения его эффективности. Этого можно добиться посредством ускорения темпов обновления и замены устаревшей техники, прежде всего в отраслях, производящих высокопроизводительную технику, автоматические системы машин, робототехнику, гибкие производственные системы, позволяющие перейти к комплексной механизации работ и автоматизации технологических процессов. Допустим, мы перестали крутить педали, хотим снизить темп развития, экономика тут же потеряет равновесие и последуют другие проблемы.

Ключевые слова: инновационная деятельность; научно-технический прогресс; экономический рост; эффективность производства; производительность труда.

T.V. Koshkarova

Major milestones of scientific and technical advance origin as a constituent part of hisorical progress

Annotation

There are many conceptions of productive efficiency in the literature on Economics. The reader has been offered one of them.

The task of any state is to stimulate the increase of productive efficiency, as in scientific and technical revolution environment the compliance of demand and supply, goods production and consumption is possible only under the definite growth rate. The modern economics is sometimes called 'bicycle economics' – the stop could lead to the fall. While we are pedaling, picking up speed – everything is fine: the economics is establishing equilibrium, economic growth is achieving pace. And development in economics is scientific and technical advance, qualitative change of modern society life, renewal of material resources, and improvement of social relationships (the economic ones in the first place). These are fundamental changes in the labor content and pattern, in material and spiritual conditions of people's life. The scientific and technical advance provides high growth rates of labor productivity, social production intensification and increase of its efficiency. It can be reached by means of speeding up the rates of outmoded facilities renewal and change, first of all in the industries, producing highly-efficient equipment, machines' automated systems, robotics, flexible productive systems, which allow to transfer to all-round processes mechanization and technological processes automation. Let us suppose that we stopped pedaling and would like to reduce the growth rate. In this case the economics will at once lose its balance and other problems will appear.

Key words: Innovative activity, scientific and technical advance, economic growth, productive efficiency, labor productivity.

О. Н. Ларин, А. А. Кажаяев

Методы размещения сетевых узлов в автотранспортных системах

Аннотация

В статье приводятся методические рекомендации по определению мест размещения сетевых узлов в автотранспортных системах. Предлагаемые методы позволяют определить оптимальное расположение транзитных терминалов в автотранспортной системе по критерию минимального грузооборота. Методы размещения дорожных узлов ориентированы на снижение нагрузки на сеть автомобильных дорог транзитными потоками.

Ключевые слова: автотранспортная система, транспортная сеть, сетевые узлы, терминалы, транзитные потоки.

O. N. Larin, A. A. Kazhaev

The methods of network nodes location in motor transport systems.

Annotation

There are given methodological recommendations of network nodes location detection. The offered methods let to detect optimal location of transit terminals in motor transport system by minimum freight turnover. The methods of road nodes location directed to load reduction on highways network by transit flows.

Key words: motor transport system, transport network, network nodes, terminals, transit flows. ■

*Перевод Е. В. Еришовой,
А. В. Бочкаревой*

Уважаемые коллеги!

Информирую вас о требованиях, предъявляемых к оформлению статей.

При наборе используйте Word-2003 или Word-2007; шрифт (по всему тексту, в том числе в рисунках и таблицах) — тип Times, размер шрифта — 14, межстрочное расстояние — 1,5, абзацный отступ — 1,25 (1,27) см, поля — 2 см; расстановка переносов по всему тексту — автоматическая.

Набор формул: простые формулы и сочетания символов ($x^2 < y^2$; $E = mc^2$; $a^2 + b^2 = c^2$; Q_{i-1} ; Ψ_j) — только в текстовом режиме, сложные

$$\left(s^2 = \frac{1}{n-1} \left[\sum_{j=1}^e x_j^2 n_j - \frac{1}{n} \left(\sum_{j=1}^e x_j n_j \right)^2 \right] \right); \left(\frac{\sigma_a}{[n]} \right)$$

или S_i^m) — только в редакторе формул (встроен в Word).

Написание букв: русские (а, б, в, А, Б, В), греческие (Θ , Σ , Ω , Ψ , α , β , δ , ε , λ , π), а также цифры и функции (1, 2, 3; I, II, III; max, lg, sin и т. п.) пишутся только прямо; латинские (a , b , n , A , B , N и т. д.) — только курсивом. Исключение — курсив во вспомогательном тексте (слова «Таблица» и «Рис.», примечания в рисунках и ссылки в тексте на эти примечания).

Оформление текста: левый верхний край — инициалы, фамилия; заголовок — все буквы ПРОПИСНЫЕ, жирные, расположение — по центру набора; таблиц и рисунков: в таблицах размер шрифта — на полтора-два размера меньше, чем в основном тексте (11,5–12), расположение текста в «шапке» таблицы — по центру, в столбцах — по ширине; межстрочное расстояние — 1; слово «Таблица» — курсивное начертание, в правый край таблицы; название таблицы — начертание нормальное (прямое), расположение — по центру таблицы. В рисунках (графиках, диаграммах): размер подрисуночной подписи — 14, расположе-

ние — по центру набора, слово «Рис.» — курсив, название рисунка — нормальное начертание, описание рисунка (экспликация) — нормальное начертание, условные обозначения — курсивное начертание, их расшифровка — нормальное. Расположение таблиц и рисунков — строго после ссылки на них.

Кроме того, рисунки обязательно прилагаются к материалу (один рисунок — один файл; формат — *.jpg).

Ссылки на литературу в тексте пишутся в квадратных скобках ([1], [1, 2] или [3–5]); нумерация сквозная. Список литературы/источников оформляется по ГОСТ 7.0.5–2008.

В конце статьи обязательно ставится дата отсылки материала в редакцию.

Объем статьи — не более 14-ти страниц.

Название файла: Фамилия. Первое слово заголовка. Многоточие. Последнее слово заголовка (Сидоров. Синтез... электроприводом).

К материалу (статье) обязательно прилагаются (отдельным файлом): УДК, сведения об авторе, аннотация, ключевые слова (название файла: УДК 000. Сидоров. Синтез... электроприводом).

Материалы для очередного номера журнала «Вестник УрГУПС» принимаются до 30 числа первого месяца квартала (до 30-го января, 30-го апреля, до 30-го июля, до 30-го октября). Материалы, поступившие в редакцию после 30-го числа, будут опубликованы только в следующем номере.

Успешной работы!

*Л. Барышникова,
литературный и выпускающий редактор
журнала «Вестник УрГУПС»*



ИЗДАТЕЛЬСТВО УрГУПС

Предоставляет весь спектр
редакционно-издательских услуг

ДОПЕЧАТНАЯ ПОДГОТОВКА

- Редактирование текстов любой сложности
- Рецензирование
(с привлечением опытных рецензентов,
имеющих научную степень в соответствующей области науки)
- Корректурa
- Дизайн и верстка
- Препресс
(подготовка работы для сдачи в типографию)
- Сдача файлов и контроль прохождения
работы в типографии

ПЕЧАТНЫЕ, ПЕРЕПЛЕТНЫЕ РАБОТЫ

- Оперативная полноцветная, одноцветная
и многоцветная печать на цифровом оборудовании
- Широкоформатная печать на плоттере
- Несколько видов переплета
- Ламинирование

ВСЕГДА В ПРОДАЖЕ

- Научная и учебно-методическая литература,
выпущенная в издательстве УрГУПС.
Каталог литературы можно найти
на сайте университета (www.usurt.ru)
в разделе «Издательская деятельность»

По вопросам приобретения книг
и возможного сотрудничества обращаться:

620034, г. Екатеринбург, ул. Колмогорова, 66, главный учебный корпус, к. 193.

Телефон: (343) 245-43-90.

E-mail: AKoltyshev@rio.usurt.ru.

Сайт: www.usurt.ru.